

13

1012.01

6-7

Ein kurzer Auszug aus dem experimentellen Teil der vorliegenden Arbeit wurde bereits in dem zusammenfassenden Bericht von E. Fickler "Die Synthese von Kohlenwasserstoffen aus Kohlenoxyd und Wasserstoff" (Pittsburgh 1917)



Die zur Erzielung höchster Oktanzahlen notwendige Bleiempfindlichkeit ist am größten bei den Paraffinen, es folgen die Naphthene und dann die Aromaten. Das Verhalten der Olefine ist je nach ihrer Struktur verschieden. Aromaten mit gesättigten aliphatischen Seitenketten nähern sich in ihrem Verhalten den der Paraffine.

Von den beiden klopffesten Kohlenwasserstofftypen, den Isoparaffinen und den Aromaten, werden die letzteren außer als Nebenprodukt des Kokereiprozesses bei der Hochdruckhydrierung der Kohle gewonnen. Für die Herstellung genügender Mengen der für den Ottomotor in erster Linie wertvollen verzweigten Isoparaffine 1a) fehlte in Deutschland bis vor kurzem die notwendige Rohstoffbasis.

Wichtige Grundstoffe für die Erzeugung hochwertiger Fliegerbensins sind bekanntlich iso-Buten und iso-Butan. Das erstere kann durch Polymerisation 2) und darauffolgende Hydrierung, das letztere durch Alkylierung zum Beispiel mit n-Buten 3) zu dem als Fliegertreibstoff besonders begehrten Isooktan umgesetzt werden. Bei dem derzeit bekannten Verfahren zur Gewinnung flüssiger Treibstoffe auf Basis Kohle 3a) fallen iso-C<sub>4</sub>-Kohlenwasserstoffe nur als untergeordnete Nebenprodukte an. Ihr Anteil an den gesamten Reaktionsprodukten ist bei dem Verfahren der Hochdruckhydrierung der Kohle nach Burgess - I. G. Farbenindustrie A. S. 4) - je nach der Arbeitsweise verschieden, bei der Normaldrucksynthese x)

x) Eine eingehende Untersuchung der bei der Normaldrucksynthese an Kobaltkatalysatoren anfallenden unterhalb 100 auf dem Kohlenwasserstoffe wurde von H. Koch und F. Hilberich durchgeführt. Unter den gesättigten Kohlenwasserstoffen wurden in der C<sub>4</sub>-Fraktion 7,5% iso-Butan gefunden. In der C<sub>5</sub>-C<sub>6</sub>-Fraktion wurden durch Feindestillation neben dem vorherrschenden Normalparaffinen n-Pentan, n-Hexan und n-Heptan verschiedene einfach verzweigte Kohlenwasserstoffe, wie n-Äthylpentan, 2-Methylpentan, 3-Methylpentan, 2-Methylhexan, 3-Methylhexan usw. gefunden. Mehrfach verzweigte Paraffine waren nicht überlapp, denn nur in Spuren vorhanden. Die Menge der bei der Fischer-Tropsch-Synthese anfallenden verzweigten Kohlenwasserstoffe gibt folgende Verteilung in der Fraktion der Kohlenwasserstoffe bis Verzweigungsgrad (Molekulargewicht) 10, 15, 20, 25, 30, 35, 40, 45, 50, 55, 60, 65, 70, 75, 80, 85, 90, 95, 100: C<sub>4</sub> 7,5%, C<sub>5</sub> 15%, C<sub>6</sub> 15%, C<sub>7</sub> 15%, C<sub>8</sub> 15%, C<sub>9</sub> 15%, C<sub>10</sub> 15%, C<sub>11</sub> 15%, C<sub>12</sub> 15%, C<sub>13</sub> 15%, C<sub>14</sub> 15%, C<sub>15</sub> 15%, C<sub>16</sub> 15%, C<sub>17</sub> 15%, C<sub>18</sub> 15%, C<sub>19</sub> 15%, C<sub>20</sub> 15%, C<sub>21</sub> 15%, C<sub>22</sub> 15%, C<sub>23</sub> 15%, C<sub>24</sub> 15%, C<sub>25</sub> 15%, C<sub>26</sub> 15%, C<sub>27</sub> 15%, C<sub>28</sub> 15%, C<sub>29</sub> 15%, C<sub>30</sub> 15%, C<sub>31</sub> 15%, C<sub>32</sub> 15%, C<sub>33</sub> 15%, C<sub>34</sub> 15%, C<sub>35</sub> 15%, C<sub>36</sub> 15%, C<sub>37</sub> 15%, C<sub>38</sub> 15%, C<sub>39</sub> 15%, C<sub>40</sub> 15%, C<sub>41</sub> 15%, C<sub>42</sub> 15%, C<sub>43</sub> 15%, C<sub>44</sub> 15%, C<sub>45</sub> 15%, C<sub>46</sub> 15%, C<sub>47</sub> 15%, C<sub>48</sub> 15%, C<sub>49</sub> 15%, C<sub>50</sub> 15%, C<sub>51</sub> 15%, C<sub>52</sub> 15%, C<sub>53</sub> 15%, C<sub>54</sub> 15%, C<sub>55</sub> 15%, C<sub>56</sub> 15%, C<sub>57</sub> 15%, C<sub>58</sub> 15%, C<sub>59</sub> 15%, C<sub>60</sub> 15%, C<sub>61</sub> 15%, C<sub>62</sub> 15%, C<sub>63</sub> 15%, C<sub>64</sub> 15%, C<sub>65</sub> 15%, C<sub>66</sub> 15%, C<sub>67</sub> 15%, C<sub>68</sub> 15%, C<sub>69</sub> 15%, C<sub>70</sub> 15%, C<sub>71</sub> 15%, C<sub>72</sub> 15%, C<sub>73</sub> 15%, C<sub>74</sub> 15%, C<sub>75</sub> 15%, C<sub>76</sub> 15%, C<sub>77</sub> 15%, C<sub>78</sub> 15%, C<sub>79</sub> 15%, C<sub>80</sub> 15%, C<sub>81</sub> 15%, C<sub>82</sub> 15%, C<sub>83</sub> 15%, C<sub>84</sub> 15%, C<sub>85</sub> 15%, C<sub>86</sub> 15%, C<sub>87</sub> 15%, C<sub>88</sub> 15%, C<sub>89</sub> 15%, C<sub>90</sub> 15%, C<sub>91</sub> 15%, C<sub>92</sub> 15%, C<sub>93</sub> 15%, C<sub>94</sub> 15%, C<sub>95</sub> 15%, C<sub>96</sub> 15%, C<sub>97</sub> 15%, C<sub>98</sub> 15%, C<sub>99</sub> 15%, C<sub>100</sub> 15%.

nach Fischer-Tropsch<sup>5)</sup> und der Mitteldrucksynthese nach Fischer-Fischer<sup>6)</sup>, Verfahren, die von der Ruhrchemie A.G. in den großtechnischen Maßstab übertragen worden sind, betragen sie etwa 0,5 bis 1 %.

Von Methoden zur Herstellung von Isokohlenwasserstoffen sind, abgesehen von einigen organisch-präparativen Methoden und der Polymerisation des Olefins, die katalytische Isomerisierung oder auch Spaltung von Normalparaffinen in Gegenwart von Aluminiumhalogeniden anzuführen<sup>10)</sup>. Ferner kann das für die Herstellung motortechnisch wertvoller Treibstoffe wichtige Isobuten bekanntlich aus iso-Butylalkohol gewonnen werden, dessen Synthese aus Kohlenoxyd und Wasserstoff an alkalisierten Zinkkontakten möglich ist. Das Hauptprodukt dieses Verfahrens ist jedoch Methanol, während auf iso-Butylalkohol etwa 20-30 Gew. % der flüssigen Reaktionsprodukte entfallen<sup>11)</sup>.

Ein Verfahren auf Grundlage von Kohle oder ihrer Vergasungsprodukte, bei welchem für die Herstellung von hochwertigen Fliegetreibstoffen geeignete Isoparaffine als Hauptprodukt direkt anfallen, war bisher nicht bekannt. Die folgenden Untersuchungen befassen sich mit dem Problem eines derartigen Verfahrens. Ihr Ergebnis ist eine neue Synthese, welcher der Name "Isosynthese" gegeben wurde. Sie benötigt, wie die Synthesen der Normalparaffine, als Ausgangsstoffe Kohlenoxyd und Wasserstoff, als Katalysator aber im Gegensatz zu den bekannten Synthesen aus Elementen der Eisenreihe des periodischen Systems bestimmte Oxide, vornehmlich das Thoriumoxyd. Die notwendigen Temperaturen und Drücke liegen wesentlich höher als bei den bisherigen, auf Kohlenoxyd und Wasserstoff aufgebauten Kohlenwasserstoffsynthesen. Dementsprechend ist auch der Reaktionsablauf ein grundätzlich anderer.

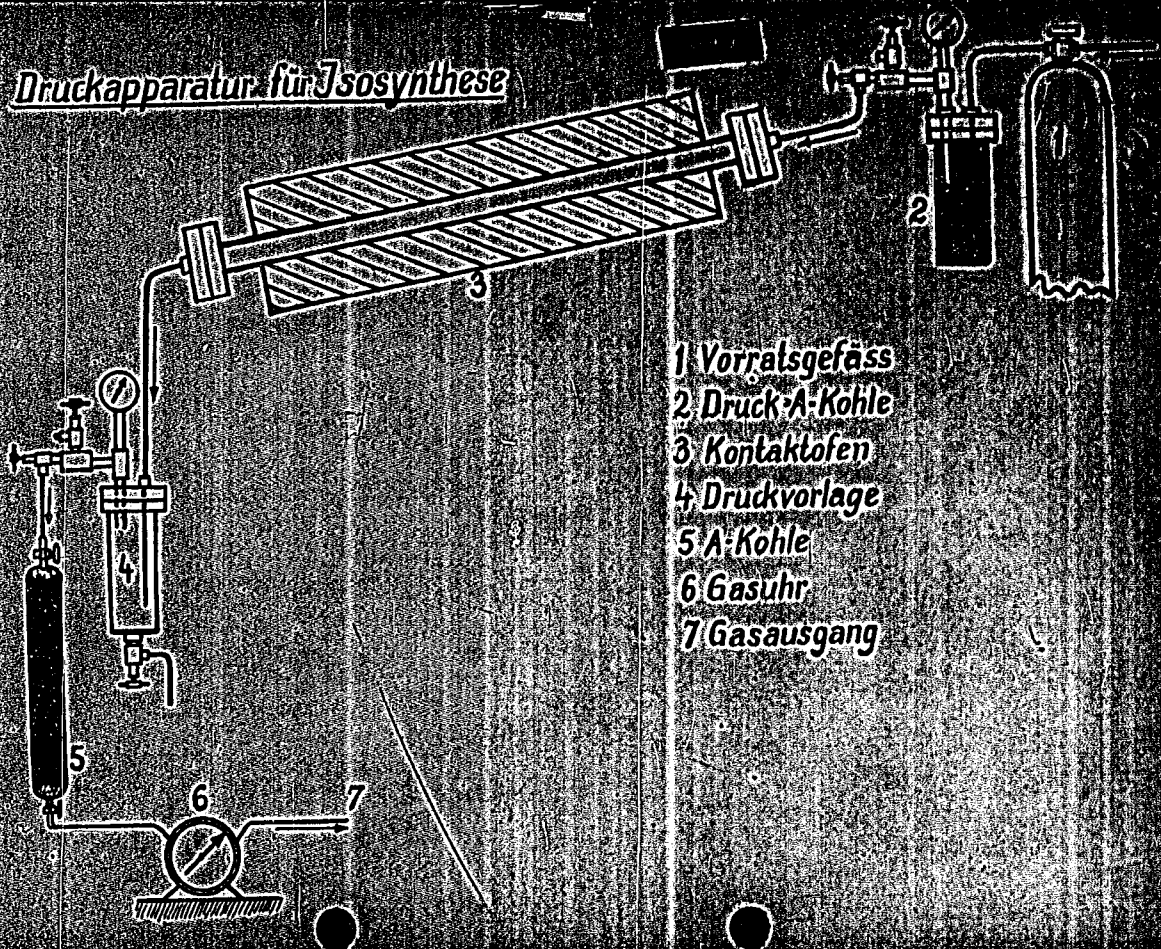
Experimenteller Teil.

I. Versuchsanordnung.

Die Anordnung für die Durchführung der Versuche bestand aus

- 1.) einen 1000 at Kompressor der Firma Andreas Hofer.
- 2.) einen Hochdruckspeichergefäß für Drücke bis 1000 at. Hierfür wurde ein Hochdruckrohr der Firma Krupp mit 275 mm lichter Weite und 3,5 m Länge verwendet, das beiderseits mit eingeschraubten Stopfen verschlossen wurde. Das Rohr wurde in der Institutswerkstatt zur Vermeidung der Bildung von Karbonylen mit einer Messingumkleidung versehen, die gleichzeitig die Abdichtung gegen die Stopfen übernahm.
- 3.) einer Batterie von 6 Stahlflaschen, die bei Drücken unterhalb 300 at zwischen dem Hochdruckspeichergefäß und dem Reaktionsapparat zur Erhöhung der Druckkonstanz geschaltet wurde,
- 4.) dem Reaktionsapparat. Es war ein in einem Metallblock, i. a. Aluminiumblock, ruhendes Druckrohr, das entweder mit Kupfer ausgekleidet war oder aus CO-beständigem Stahl bestand,
- 5.) einem Druckgefäß zur Kondensation des größten Teiles der flüssigen Reaktionsprodukte. Es wurde zur Vermeidung einer Verflüssigung der Kohlensäure auf einer Temperatur von etwas mehr als 31° C gehalten,
- 6.) einer Aktivkohle zur Herausnahme des Restes der flüssigen Reaktionsprodukte und des Gasols aus dem Endgas.

# Druckapparatur für Isosynthese



- 1 Vorratsgefäß
- 2 Druck-A-Kohle
- 3 Kontaktofen
- 4 Druckvorlage
- 5 A-Kohle
- 6 Gasuhr
- 7 Gasausgang

Die Kleinversuche im Laboratorium wurden im allgemeinen mit Gasdurchsätzen von 10-20 Litern je Stunde (bezogen auf Atmosphärendruck) ausgeführt, Versuche in etwas größerem Maßstab mit Gasdurchsätzen bis etwa 500 Liter je Stunde. Die Menge des eintretenden Gases wurde durch Messung der expandierten Endgase und der aus der Veränderung der Stickstoffwerte von Anfangs- und Endgas sich ergebenden Kontraktionswerte bestimmt.

Von den anfallenden Reaktionsprodukten, die aus dem Endgas durch Kühlung bzw. mit A-Kohle entfernt wurden, wurde die Zusammensetzung der Gasolkohlenwasserstoffe stets durch Tieftemperaturdestillation und die der flüssigen Kohlenwasserstoffe durch Feindestillation (siehe analytischer Abschnitt), i. a. der hydrierten Produkte, untersucht. Von charakteristischen Versuchen wurden von den einzelnen Fraktionen der flüssigen Kohlenwasserstoffe Brechungsindex, Dichte u. a. m. bestimmt. Die anfallenden Bensine wurden außerdem nach geeigneter Destillation und Einstellung des Dampfdruckes in rohem und hydrierten Zustand mit und ohne Zusatz von Methylterträthyl in einem I.C.-Prüfator nach der Motor-Methode auf ihre Klopfestigkeit untersucht.

II. Einiges Allgemeines über den Katalysator der Isosynthese.

Läßt man Wassergas, beispielsweise bei einem Druck von 30 at und 450° durch ein leeres, nicht legiertes Stahlrohr (lichte Weite 12 mm, erhitzte Länge 400 mm, Durchsatz 20 Liter je Stunde) streichen, dann werden Kohlenoxyd und Wasserstoff in der Hauptsache unter Bildung von Kohlenstoff, Kohlenäure und niederen Kohlenwasserstoffen, insbesondere von Methan, umgesetzt.

Tafel 1.

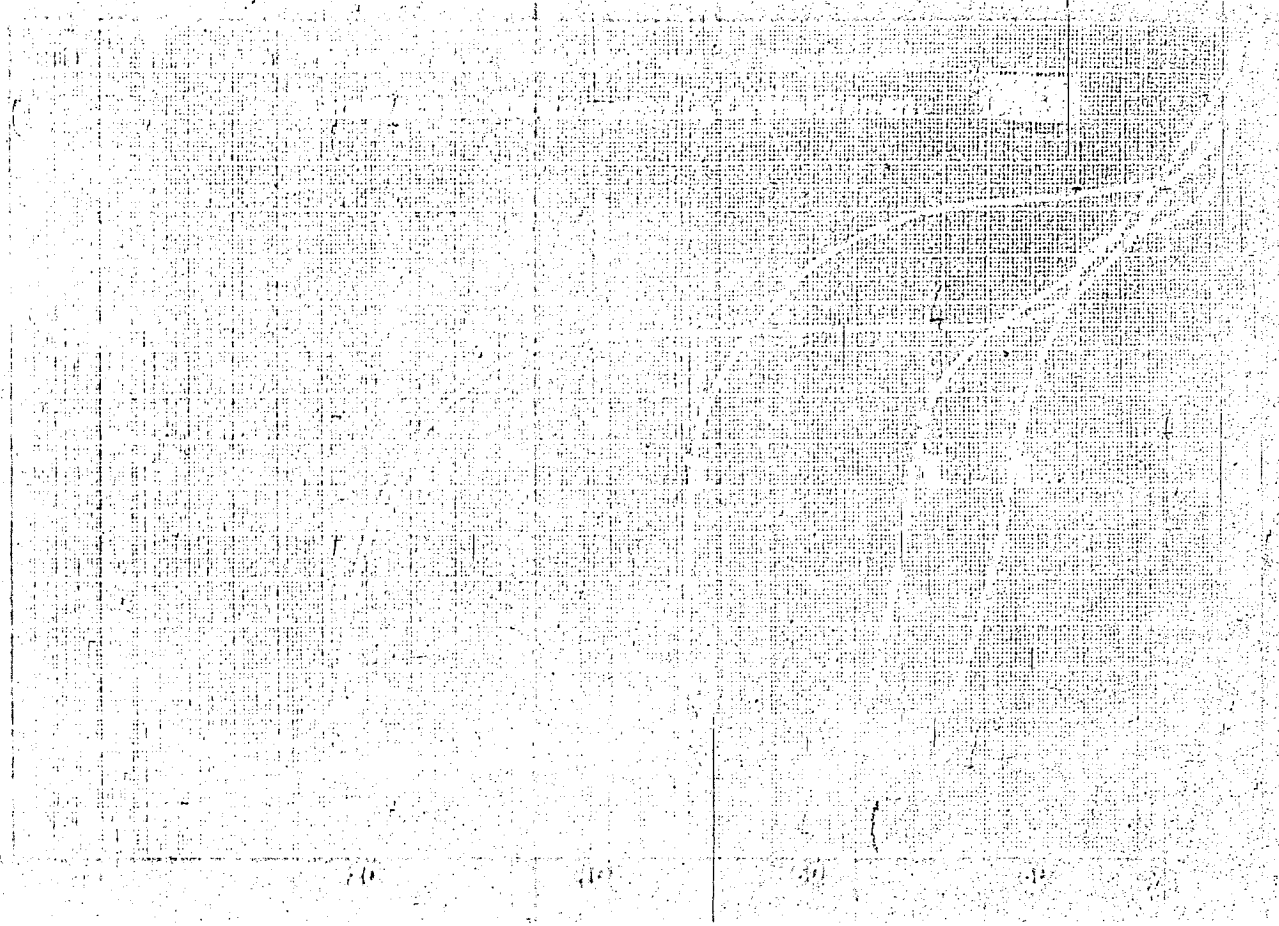
Umsetzung von Wassergas im leeren unlegierten Stahlrohr.

(450°, 30 at)

	CO <sub>2</sub>	aKW	O <sub>2</sub>	CO	H <sub>2</sub>	KV	CZ	H <sub>2</sub>
Anfangsgas	0,8	0,0	0,2	44,1	46,9	1,0	1,1	7,0
Reaktionsgas nach 1 Tag	34,4	0,7	0,1	6,4	13,1	31,2	1,23	14,1
do. nach 30 Tagen	32,8	0,5	0,2	9,1	23,3	22,6	1,23	11,8

Tafel 1 bringt Anfangs- und Endgaszusammensetzungen eines derartigen während 30 Tagen betriebenen Versuches. Sie zeigen, daß auch geringe Mengen an schweren Kohlenwasserstoffen und - wie sich aus der C-Zahl der gesättigten Kohlenwasserstoffe ergibt - an Homologen des Methans gebildet wurden. Bei einer Ausbeutebestimmung wurden je Liter Wassergas 8,5 g C<sub>3</sub>-Kohlenwasserstoffe, 7,4 g C<sub>4</sub>-Kohlenwasserstoffe und 2 g Benzol erhalten. Entsprechend der Verlegung des Rohres mit Kohlenstoff sinkt der Gesamtsatz während längerer Betriebsdauer allmählich ab.

Eine Tieftemperaturdestillation der C<sub>3</sub>-C<sub>4</sub>-Fraktion ergab die in Abbildung 1 wiedergegebene Siedekurve I. Die



Destillationen wurden mit Hilfe von im Milheimer Institut konstruierten Tieftemperaturkolonnen durchgeführt<sup>12)</sup>. Beim Siedepunkt des Isobutans ( $-11,8^{\circ}$ ) zeigte sich kein charakteristischer Haltepunkt. Unter den bei  $-10$  bis  $0^{\circ}$  übergehenden Anteilen befanden sich neben Normalbutan und Normalbuten geringfügige Mengen an Isobuten (dieses wurde aus den bei  $-10$  bis  $0^{\circ}$  bzw.  $0$  bis  $+10^{\circ}$  übergehenden Fraktionen mit 64 figer Schwefelsäure herausgenommen<sup>13a)</sup> und auch mit Quecksilbernitratlösung nachgewiesen<sup>13b)</sup>).

Bei Verwendung aktiver Katalysatoren der Eisengruppe des periodischen Systems, die bei  $180$  bis  $300^{\circ}$  gute Ausbeuten an unverzweigten Paraffinen liefern, entstehen bei höheren Temperaturen in der Hauptsache Kohlenstoff und Methan. Derartige Katalysatoren sind im Rahmen der vorliegenden Untersuchungen ungeeignet.

Werden Kohlenoxyd und Wasserstoff beispielsweise in einem mit Kupfer ausgekleideten Reaktionsrohr in Gegenwart eines Katalysators der Methanolsynthese umgesetzt, dann entstehen bei  $400$  bis  $450^{\circ}$  neben sauerstoffhaltigen Produkten geringe Mengen an Kohlenwasserstoffen. Kurve II der Abbildung 1 bringt den Sieverlauf einer an einem Kupfer-Zinkoxyd-Katalysator entstandenen  $C_3-C_4$ -Fraktion. Die Bildung nennenswerter Mengen an Isobutan wurde nicht beobachtet. Eine Bestimmung des Isobutens ergab  $0,2$  g je Norm Synthesegas.

Kurve III entspricht der  $C_3-C_4$ -Fraktion eines Kohlenwasserstoffgemisches, das an einem durch Fällung hergestellten Aluminiumoxydkatalysator (Wassergas als Synthesegas,  $150$  at,  $450^{\circ}$ ) entstanden ist. Das den bei  $-15$  bis  $-5^{\circ}$  übergehenden Anteilen entsprechende Kurvenstück deutet hier auf das Vorhandensein von Isobutan. Seine Menge, bezogen auf die übrigen Reaktionsprodukte, war aber auch bei diesem Katalysator klein.

Grundsätzlich andere Ergebnisse wurden bei Verwendung von Thoriumoxyd als Katalysator erhalten. Kurve IV der Abbildung zeigt, daß an diesem Katalysator das bei  $-11,8^{\circ}$  sie-

dende Isobutan ein Hauptreaktionsprodukt der Synthese darstellt. Auf dieser neuen Erkenntnis des besonderen Verhaltens von Thoriumoxyd als Katalysator der Umsetzung von Kohlenoxyd und Wasserstoff, wurde die "Isosynthese" aufgebaut. Sie liefert neben iso-Butan auch verzweigte flüssige Kohlenwasserstoffe, jedoch (im Gegensatz zu den bisherigen auf Kohlenoxyd und Wasserstoff sich aufbauenden Synthesen) fast keine unverzweigten Produkte.

Voraussetzung für eine befriedigende Durchführung der Synthese war die Ausschaltung von Wandreaktionen, die zu unerwünschten Nebenprodukten führen. Nicht ausgekleidete Rohre aus gewöhnlichem Eisen konnten entsprechend den Versuchen der Tafel 1 bei hohen Drucken weniger aus Gründen der Festigkeit als wegen der an ihrer Oberfläche auftretenden unerwünschten Umsetzungen von Kohlenoxyd und Wasserstoff nicht verwendet werden. Indifferent verhielt sich bei hohen Drucken gegenüber dem Synthesegas u. a. V-2-A-Extra-Stahl. Zur Prüfung der Stähle auf ihre Eignung als Material für die Reaktionsrohre wurden von ihnen Späne hergestellt und über diese bei 250-300 at und 450° Synthesegas geleitet. Hochchromlegierte Stähle ergeben keinen Umsatz, während niedrig legierte Stähle Kohlenoxyd und Wasserstoff mehr oder minder weitgehend zu Kohlendioxyd und Methan sowie zu Eisenkarbonyl und zu Kohlenstoff umsetzten.

Befriedigende Ergebnisse wurden auch bei Verwendung von mit Kupfer ausgekleideten Eisenrohren erzielt, dagegen eignete sich bei hohen Drucken insbesondere oberhalb 150 at Aluminium nicht als Material für die Auskleidung. Dieses wird bei Durchführung der Synthese bei hohen Drucken, durch Sauerstoff enthaltende Reaktionsprodukte zerstört.

Für die Herstellung der Thoriumkatalysatoren und ebenso für jene der anderen untersuchten Katalysatoren wurden die verschiedensten Methoden erprobt. Besonders geeignet erwiesen sich Katalysatoren, die durch Fällung aus verdünnten Salzlösungen hergestellt worden sind. Durch Variation der Fällungsbedingungen konnten sehr verschiedenartige Katalysatoren erzeugt werden. Dies zeigte sich schon äußerlich, beispielsweise am Schüttgewicht, das beim Thoriumoxyd je nach Art der Fällung und Vorbehandlung zwischen 0,7 und 2,3 lag.

Die Thoriumnormalkontakte wurden aus der Lösung der Nitrats mit Soda gefällt und zwar durch schnelles Eingießen der siedenden Sodalösung in die siedende Nitratlösung. Man gelangt so beispielsweise bei Anwendung einer Konzentration entsprechend 240 g Thoriumnitrat auf 2 Liter Wasser. 2 Liter Sodalösung (geringer Überschuß an Natriumkarbonat) nach dem Waschen des Niederschlags bis auf Alkalifreiheit und Trocknen desselben bei  $110^{\circ}$  zu einem harten körnigen Kontakt mit einem Schüttgewicht 1,3. Verwendet man für die Fällung konzentrierte Lösungen, dann erhält man Kontakte mit geringeren Schüttgewichten, beispielsweise bei der dreifachen Konzentration einen Kontakt mit einem Schüttgewicht 0,76 und einem erdigen bis weichen Korn. Führt man bei Verwendung der für den Normalkontakt angegebenen Konzentration die Fällung sehr langsam, beispielsweise im Laufe 1 Stunde durch, dann erhält man besonders schwere Kontakte mit gliebigem Bruch. Beim Füllen mit Natronlauge oder Ammoniak entstehen ähnliche Katalysatoren schon beim schnellen Füllen (Schüttgewicht 2,3). Das Schüttgewicht der Kontakte kann durch nachträgliches Sintern im Luftstrom erhöht werden. So konnte das Schüttgewicht des als Normalkontakt bezeichneten Katalysators durch Nachbehandeln im Luftstrom bei  $300^{\circ}$  von 1,3 auf 2,0 gebracht werden<sup>x)</sup>. Das matte, harte Korn bleibt hierbei erhalten.

Da ein bei  $110^{\circ}$  getrockneter Kontakt während der Synthese schrumpft, ist es zweckmäßig, auch um eine möglichst große Kontaktmenge in einem bestimmten Kontaktraum unterzubringen, die Sinterung vor Inbetriebnahme des Kontaktes bzw. vor seiner Einfüllung in den Synthesepapparat durchzuführen. Bis  $300^{\circ}$  ist eine Schrumpfung des Thoriumoxyds eine Folge der Abgabe von Wasser und Kohlensäure. Bei höheren Temperaturen wird weiteres von Oxyd festgehaltenes Wasser abgegeben, jedoch ohne daß es in Anbetracht des hohen Schmelzpunktes des Thoriumoxyds ( $3050^{\circ}$ ) zu einem weiten Zusammensintern der festen Substanz käme<sup>14)</sup>. Demant-

x) Aus wässerigen Thoriumlösungen fallen Alkalikarbonate unter Entwicklung von Kohlensäure basische Salze. Aus  $\text{ThO}_2 \cdot \text{CO}_2 \cdot 2 \text{H}_2\text{O}$  entsteht bei  $240^{\circ}$   $3 \text{ThO}_2 \cdot \text{ThO}_2 \cdot \text{CO}_2 \cdot \text{H}_2\text{O}$ . Dieses Salz geht bei  $300^{\circ}$  in  $4 \text{ThO}_2 \cdot \text{H}_2\text{O}$  und bei noch höheren Temperaturen, insbesondere oberhalb  $400^{\circ}$  in  $\text{ThO}_2$  über.

sprechend konnte auch nicht festgestellt werden, daß eine Vorbehandlung bei höheren Temperaturen zu einer Aktivitätsverminderung des Thoriumoxyds führen würde. Im Gegenteil, ein bei  $1000^{\circ}$  mit Luft vorbehandeltes Thoriumpräparat zeigte besonders hohe Aktivität als Katalysator der Umsetzung von Kohlenoxyd und Wasserstoff. Da ein derartiger Katalysator jedoch zu etwas verstärkter Methanbildung neigte, wurde von einer derartigen Vorbehandlung abgesehen und im allgemeinen bei  $300^{\circ}$  vorbehandelt.

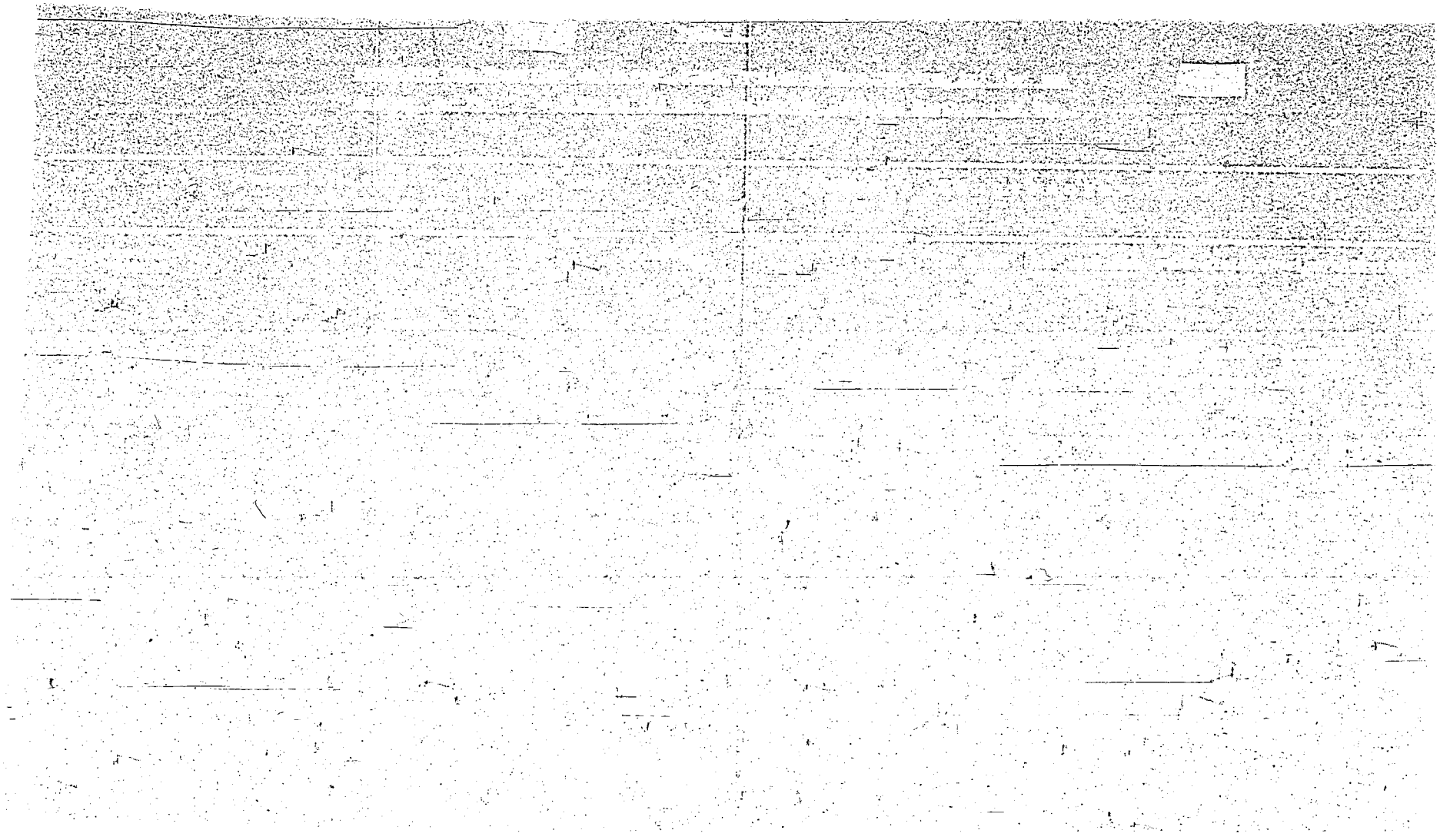
In Anbetracht der großen Bedeutung, die neben der chemischen Zusammensetzung der physikalischen Beschaffenheit der Katalysatoren <sup>zukunf</sup> und zwar nicht nur für die Höhe des Umsatzes, sondern auch für die Art der Reaktionsprodukte, mußten vergleichende Versuche immer mit Kontakten gleicher Lebensgeschichte durchgeführt werden. Von Kontakten verschiedener chemischer Zusammensetzung wurden die verschiedensten Fällungsarten erprobt und jeweils die besten den Untersuchungen zugrunde gelegt.

Die Lebensdauer der Thoriumkatalysatoren war unter den Bedingungen der Isosynthese eine sehr große. Katalysatoren, bei welchen nach längerer Betriebsdauer infolge einer Bildung von Kohlenstoff ein Steigen des inneren Widerstandes beobachtet wurde, konnten durch eine Luftbehandlung bei Synthesetemperatur wieder in den ursprünglichen Zustand versetzt werden. Das Thoriumoxyd läßt sich im Gegensatz zu anderen Oxyden, beispielsweise zu Aluminiumoxyd, in Anbetracht der Tatsache, daß es beim Erhitzen auf Rotglut seine Aktivität beibehält, gut mit Luft regenerieren.

Die Thoriumkatalysatoren sind im Gegensatz zu den Katalysatoren der Eisengruppe des periodischen Systems unempfindlich gegen Schwefelverbindungen. Mit Schwefelwasserstoff oder Schwefelkohlenstoff vorbehandelte Kontakte gaben ebenso wie mit Ammonsulfid gefällte normalen Umsatz.

Das Verhältnis, in welchem die beiden Synthesegas-komponenten verbraucht werden, liegt bei geradem Gasdurchgang (kein Kreislauf) im allgemeinen bei etwa  $1,2 \text{ CO} : 1 \text{ H}_2$ .

Verwendet man ein bezüglich seiner Zusammensetzung dem Umsatz entsprechendes Wassergas, dann gelangt man bei hohem Gasumsatz zu höheren Ausbeuten als bei Verwendung von normalem Wassergas. Bei Verwendung kohlenoxydreicherer Gase wächst die Tendenz zur Bildung von Kohlenstoff, während bei Verwendung wasserstoffreicherer Gase diejenige zur Bildung von gasförmigen Kohlenwasserstoffen größer wird.



### III. Versuche mit verschiedenen Einstoffkatalysatoren.

Tafel 2 bringt einen Überblick über die Verwendbarkeit verschiedener Metalloxyde (Einstoffkontakte) als Katalysatoren der Synthese von Kohlenwasserstoffen. Die der Tafel zugrunde liegenden Versuche wurden mit Wassergas bei 30 bzw. 150 bzw. 300 at und 450° durchgeführt. Die Menge des Katalysators betrug 25 cm (30 cm Schichtlänge), die des durchgesetzten Gases entsprach 10 Liter Endgas je Stunde.

Die erste Spalte der Tafel bringt eine Angabe über die Art des angewandten Katalysators, die zweite den Kohlenoxyd-Wasserstoffumsatz, der bei Drucken von 30 bzw. 150 bzw. 300 at erzielt wurde, aus der 3. Spalte ist der Gehalt der Endgase an Kohlenwasserstoffen zu ersehen und aus der 4. die mittlere C-Zahl der gasförmigen Kohlenwasserstoffe. Es wird ferner zunächst qualitativ angegeben, ob flüssige Kohlenwasserstoffe gebildet wurden oder nicht, und schließlich in Form einer kurzen Bemerkung das allgemeine Verhalten der Katalysatoren bei der Synthese.

#### Tafel 2.

Umsatz von Wassergas an verschiedenen oxydischen Katalysatoren bei 450° und Drucken von 30, 150 und 300 at (25 cm Katalysator, 10 Liter Wassergas je Stunde).

An der Spitze steht das Thoriumoxyd, dessen Herstellungsweise bereits besprochen wurde. Es liefert entsprechend der verhältnismäßig hohen C-Zahl der gasförmigen Kohlenwasserstoffe (2,5 - 2,8) höhere gasförmige und flüssige Kohlenwasserstoffe. Unter den Gasalkohlenwasserstoffen befinden sich große Mengen an iso-Butan.

Bei den bei 30 und 150 at mit Aluminiumoxydkatalysatoren durchgeführten Versuchen wurden die Kontakte durch Fällung des Hydroxyds aus Natriumaluminat mit Schwefelsäure bzw. Kohlendioxyd hergestellt. Die Kontakte erwiesen sich als sehr aktiv. Sie erzeugten aber (entsprechend der niedrigeren C-Zahl der Kohlenwasserstoffe von 1,4 - 1,5) in der Hauptsache Methan (und Kohlenstoff) neben geringeren Mengen

an Gasol und flüssigen Produkten. Das Gasol enthielt bei 30 at nur Spuren und bei 150 at geringe Mengen an iso-C<sub>4</sub>-Kohlenwasserstoffen. Der für den 300 at-Versuch verwendete Aluminiumoxydkontakt wurde entsprechend den Thoriumoxydkontakten aus verdünnter Aluminiumnitratlösung mit Soda gefällt und nach dem Waschen im Luftstrom bei 300° getrocknet. Dieser Kontakt erwies sich als wenig aktiv. Es entstand wesentlich weniger Methan als an den aus Aluminium hergestellten Kontakten, jedoch auch nur wenig flüssige und Gasol-Kohlenwasserstoffe (wenig iso-Butan).

Der Wolfram-Katalysator wurde aus Natriumwolframat durch Fällung mit Salpetersäure hergestellt. Er neigte stark zur Bildung von Methan und Kohlenstoff. Eine Bildung flüssiger Kohlenwasserstoffe wurde festgestellt.

Chrom wurde aus dem Nitrat mit Soda gefällt. Es zeigte geringe Aktivität und lieferte Spuren an öligen Produkten.

Titan und Beryllium erwiesen sich als inaktiv.

Zirkonoxyd und Ceroxyd wurden durch Fällung aus den Nitraten gewonnen. Sie liefern flüssige Kohlenwasserstoffe und iso-C<sub>4</sub>-Kohlenwasserstoffe enthaltendes Gasol. Die Aktivität dieser Kontakte ist aber geringer als diejenige der Thoriumkatalysatoren. Ähnliches gilt für das Uran, das aus Uranylnitrat mit Wasserstoffsuperoxyd gefällt worden ist.

Die Zinkkontakte wurden durch Fällung aus verdünnter Nitratlösung mit Soda hergestellt, und zwar im Falle des 300 at-Versuches durch Eingießen der Nitrat- in die Sodaauslösung (umgekehrte Fällung). Bei 30 at entstanden sehr wenig Kohlenwasserstoffe, bei 300 at etwas größere Mengen, jedoch in der Hauptsache Methan. An flüssigen Kohlenwasserstoffen wurden nur sehr geringe Mengen gebildet.

Mangan- und Magnesiumkontakte wurden ebenfalls durch Fällung aus den Nitraten hergestellt. Sie ergaben wenig gasförmige und Spuren an öligen Produkten.

An Lanthan entstanden keine Kohlenwasserstoffe.

Quantitative Angaben über die nach Tafel 2 für die Synthese von Kohlenwasserstoffen am besten geeigneten Einstoffkontakte enthält Tafel 3. Diese Versuche wurden bei einem Druck von 150 at und einer Temperatur von 450° durchgeführt.

Tafel 3.

Das Verhalten verschiedener Kontakte unter besonderer Berücksichtigung der iso-C<sub>4</sub>-Kohlenwasserstoffe.

Katalysator	Vol. % umgesetztes Gas	1-C <sub>4</sub> in g je Norm Reingas	% 1-C <sub>4</sub> der Gesamt C <sub>4</sub> -Prakt.	Öl + Benzin g je Norm Reingas
ThO <sub>2</sub>	46	16	88	40
ZrO <sub>2</sub>	32	9	82	-
CeO <sub>2</sub>	10	1,3	81	-
Al <sub>2</sub> O <sub>3</sub>	53	2,8	59	5

Am Thoriumoxyd wurden 46 Vol. % des Kohlenoxyd-Wasserstoffgemisches umgesetzt. Es entstanden je Norm des angewandten Gemisches 16 g iso-Butan<sup>x)</sup>. Von der gesamten C<sub>4</sub>-Fraktion waren 88 % iso-C<sub>4</sub>-Kohlenwasserstoffe. Weiterhin entstanden 40 g flüssige Kohlenwasserstoffe. Etwas weniger aktiv, aber für die Synthese von iso-Kohlenwasserstoffen auch geeignet, erwies sich das Zirkonoxyd. An diesem Katalysator wurden 32 % des Kohlenoxyd-Wasserstoffgemisches umgesetzt und 9 g iso-C<sub>4</sub>-Kohlenwasserstoffe gebildet. Auch hier bestanden 82 % der C<sub>4</sub>-Fraktion aus iso-Kohlenwasserstoffen. Als nächstes folgt Ceroxyd, das bereits einen wesentlich geringeren Umsatz brachte. Aus Natriumaluminat hergestelltes Aluminiumoxyd erwies sich, was den CO-Hg-Umsatz anbetrifft, als sehr aktiv, die Menge der gebildeten iso-C<sub>4</sub>-Kohlenwasserstoffe war aber gering. Auch die Menge der

<sup>x)</sup> Die Menge der entstehenden iso-C<sub>4</sub>-Kohlenwasserstoffe, die analytisch durch Tieftemperaturdestillation verhältnismäßig schnell quantitativ erfasst werden kann, bildete einen guten Hinweis für die allgemeine Eignung der Katalysatoren zur Bildung von verzweigten aliphatischen Kohlenwasserstoffen.

Gebildeten flüssigen Produkte war bei Verwendung von Aluminiumoxyd als Katalysator nur klein.

#### IV. Thoriumoxyd - Einstoffkatalysatoren.

##### a) Einfluß der Reaktionstemperatur.

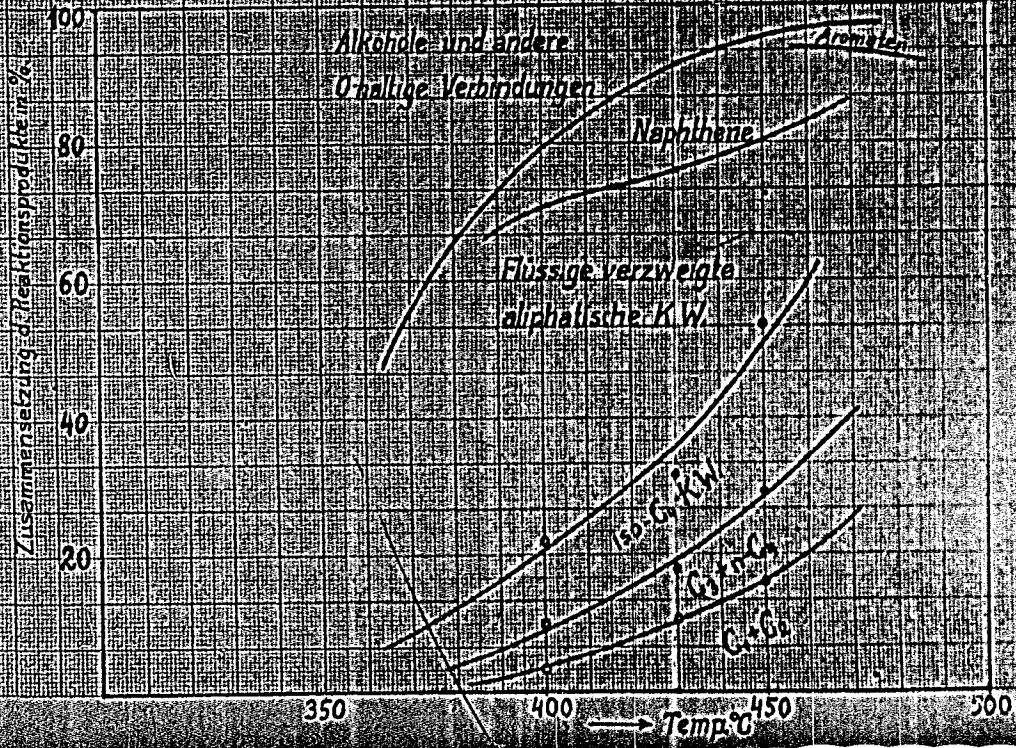
Abbildung 2 bringt ein schematisches Bild der Art der Reaktionsprodukte der Isosynthese bei Verwendung von Thoriumoxyd als Katalysator, bei einem Arbeitsdruck von 150 at und bei Verwendung von normalem Wassergas als Synthesegas. In Richtung der Abszisse sind Arbeitstemperaturen angegeben und in Richtung der Ordinate die durchschnittliche Zusammensetzung der Reaktionsprodukte in Prozenten.

Aus der Abbildung ist zu ersehen, daß unterhalb des Gebietes der eigentlichen Isosynthese, also bei Temperaturen unterhalb  $400^{\circ}$ , insbesondere unterhalb von  $375^{\circ}$ , die Bildung von Alkoholen vorherrscht, während bei Temperaturen oberhalb von  $475^{\circ}$ , insbesondere oberhalb von  $500^{\circ}$ , diejenigen von unerwünschten gasförmigen Kohlenwasserstoffen wie von Methan, Äthan und Propan in den Vordergrund der Umsetzungen tritt. Zwischen diesen beiden Grenzen liegt das Temperaturgebiet der Isosynthese. Hier werden beispielsweise bei  $450^{\circ}$ , einer Temperatur, bei der nur wenig sauerstoffhaltige Verbindungen entstehen, 16 % zu Methan und wenig  $C_2$ -Kohlenwasserstoffen, 13 % zu  $C_3$  und  $n-C_4$ -Kohlenwasserstoffen, in der Hauptsache Propan, 25 % zu  $iso-C_4$ -Kohlenwasserstoffen, in der Hauptsache  $iso$ -Butan und 46 % zu flüssigen Produkten, die zum größeren Teil aus verzweigten aliphatischen Kohlenwasserstoffen und zum kleineren aus Naphthenen und Aromaten bestehen, umgesetzt.

Tafel 4 bringt der Abbildung 2 entsprechende zahlenmäßige Unterlagen für Versuche bei  $400$  und  $450^{\circ}$ .

Abb. 2. Iso-Synthese (50:1)

Zusammensetzung der Reaktionsprodukte in Abhängigkeit von der Temperatur unter Verwendung eines  $\text{TiO}_2$ -Eisenkatalysators.



Tafel 4.

Isosynthese an einem ThO<sub>2</sub>-Einstoffkatalysator bei 400 bzw. 450° und 150 at.

Temp. °C	Ausbeute in g/Ncbm Reingas					fl. Produkte <sup>x)</sup>
	C <sub>1</sub>	C <sub>2</sub>	C <sub>3</sub>	n-C <sub>4</sub>	i-C <sub>4</sub>	
400	2,9	0,2	2,6	1,1	7,3	48,7
450	9,5	2,5	7,8	1,9	18,4	34,6

Im allgemeinen erwies sich eine in der Nähe von 450° liegende Temperatur für die Durchführung der Synthese am günstigsten. Die Temperaturgrenzen der Isosynthese werden vom Katalysator, vom Arbeitsdruck und in gewissen Grenzen und von der Aufenthaltsdauer der Gase im Reaktionsraum bestimmt.

b) Versuche bei verschiedenen Drucken.

Tafel 5 bringt Ausbeuten, die bei einer Temperatur von 450° und verschiedenen Drucken erhalten wurden. Der Gasdurchsatz entsprach je 28 g Thoriumoxyd 10 Liter Endgas. Die Ausbeuten beziehen sich auf 1 Ncbm CO-C<sub>2</sub>-Gemisch.

Tafel 5.

Versuche mit Thoriumoxyd als Katalysator bei verschiedenen Drucken. (450°)

Es wurden folgende Ergebnisse erzielt:

0 atü: Bei Atmosphärendruck wurde nur ein sehr geringer Umsatz des Synthesegases festgestellt. Er lag im allgemeinen unter 3 % des eingesetzten Kohlenoxyds bzw. Wasserstoffs. Die Bildung flüssiger Kohlenwasserstoffe wurde nicht beobachtet.

<sup>x)</sup> Die Untersuchung der flüssigen Reaktionsprodukte wird in einem besonderen Abschnitt behandelt.



6 stü: Es wurden rund 10 % des Kohlenoxyds und 8 % des Wasserstoffs umgesetzt und neben gasförmigen Kohlenwasserstoffen geringe Mengen an flüssigen Produkten gebildet.

30 stü: Unter Verwendung eines Wassergases, das Kohlenoxyd und Wasserstoff im Verhältnis 49:41 enthielt, wurden 22 % des Kohlenoxyds und 21 % des Wasserstoffs umgesetzt. Es wurden je Hoba 15,4 g flüssige Produkte, 5,2 g iso-C<sub>4</sub>-Kohlenwasserstoffe, 5,1 g C<sub>3</sub> + Normal-C<sub>4</sub>-Kohlenwasserstoffe und 4,0 g C<sub>1</sub> + C<sub>2</sub>-Kohlenwasserstoffe gebildet. Dimethylether wurde unter den Reaktionsprodukten nicht gefunden. 92 % der C<sub>4</sub>-Fraktion bestanden aus verzweigten Kohlenwasserstoffen. 70 % von diesen waren iso-Butan und 30 % iso-Buten. Die Gesamtausbeuten an flüssigen plus Gasolkohlenwasserstoffen betragen 26,1 g.

75 stü: Es wurden 31 % des Kohlenoxyds und 24 % des Wasserstoffs umgesetzt, und je Hoba 24,4 g flüssige Produkte gebildet.

150 stü: Der Kohlenoxydausatz betrug 46 %, der des Wasserstoffs 39 %. Es entstanden 36,3 g flüssige Kohlenwasserstoffe, 5,0 g Alkohole, die sich bei den flüssigen Kohlenwasserstoffen befinden und größtenteils aus iso-Butylalkohol bestanden, und 3,0 g Alkohole, die in Reaktionswasser waren und größtenteils aus Methanol bestanden, 16,4 g iso-C<sub>4</sub>-Kohlenwasserstoffe, 8,3 g C<sub>3</sub> + n-C<sub>4</sub>-Kohlenwasserstoffe und 10,2 g C<sub>1</sub> + C<sub>2</sub>-KW. 88 % der C<sub>4</sub>-Fraktion waren verzweigt und 24 % der iso-C<sub>4</sub>-Kohlenwasserstoffe ungesättigt. Die Gesamtausbeuten an flüssigen und Gasolkohlenwasserstoffen betragen 69,0 g/Hoba.

300 stü: Von 300 stü-Versuchen sind in Tafel 5 drei angeführt. Der Kontakt des Versuches 6 wurde normal gefällt, d.h. er wurde durch Eingießen der siedenden Sodälösung in die siedende Thorium-Nitratlösung hergestellt. Der Kontakt des Versuches 7 wurde in der Kälte gefällt, und derjenige des Versuches 8 durch Eingießen der siedenden Thoriumnitratlösung in die siedende Sodälösung (verkehrte Fällung). In allen 3 Fällen waren die Ergebnisse ähnliche. Der Kohlen-

oxydaumsatz lag bei 60 bis 65 %, der Wasserstoffumsatz bei 49 bis 57 %. An flüssigen Produkten wurden 59,7 bis 61,7 g erhalten, an iso-C<sub>4</sub>-Kohlenwasserstoffen 21,5 bis 25,7 g, an C<sub>3</sub> und n-C<sub>4</sub>-Kohlenwasserstoffen 13,2 bis 17,0 g, und an C<sub>1</sub> + C<sub>2</sub>-Kohlenwasserstoffen 10,5 bis 13,1 g. 84-90 % der C<sub>4</sub>-Fraktion waren verzweigt und (entsprechend dem erhöhten Druck) nur mehr 4-7 % der iso-C<sub>4</sub>-Kohlenwasserstoffe ungesättigter Natur. Die Gesamtausbeuten an flüssigen Produkten + Gasolkohlenwasserstoffen betrugen 96,8 bis 102,4 g je Nohm. Von den flüssigen Produkten bestanden im allgemeinen 12 bis 15 g aus Alkoholen, von denen ein Teil in Öl (iso-Butylalkohol) und ein Teil in Reaktionswasser (Methanol) sich befanden.

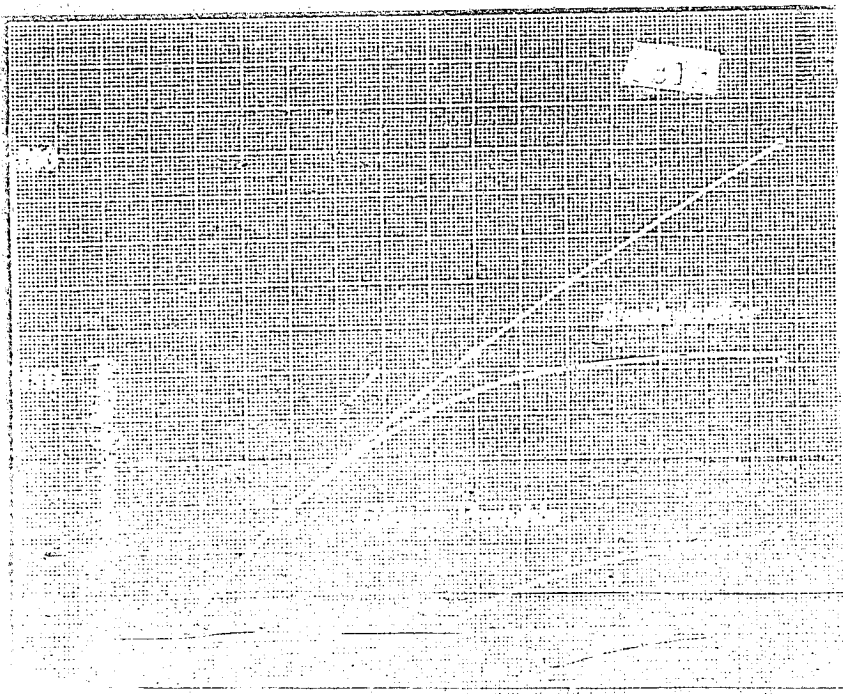
Die Menge der Alkohole war von Kontakt zu Kontakt nicht immer dieselbe. Sie nahm im allgemeinen mit sinkender Aktivität, sinkendem Schüttgewicht und steigendem Alter zu (im übrigen - worauf bereits hingewiesen wurde - mit steigendem Druck und sinkender Temperatur).

600 atü. Es wurden 83 % des Kohlenoxyds und 70 % des Wasserstoffs umgesetzt und je Nohm 53,0 g flüssige Produkte, 45,0 g iso-C<sub>4</sub>-Kohlenwasserstoffe, 22,7 g C<sub>3</sub> + n-C<sub>4</sub>-Kohlenwasserstoffe und 27,9 g C<sub>1</sub> + C<sub>2</sub>-Kohlenwasserstoffe gebildet. Außerdem entstanden 5,1 g Dimethyläther; 90 % der C<sub>4</sub>-Fraktionen waren verzweigt. Die iso-C<sub>4</sub>-Kohlenwasserstoffe bestanden zu 98 % aus iso-Butan. Die Gesamtausbeuten an flüssigen Produkten und Gasolkohlenwasserstoffen betrugen 120,7 g. In Öl wurden 5,3 g und im Reaktionswasser 3,1 g Alkohole gefunden.

1000 atü. Die Ergebnisse unterscheiden sich wesentlich von jenen der bei niedrigeren Drucken durchgeführten Versuche. Es wurden je Nohm rund 50 g Dimethyläther und 60-70 g C<sub>1</sub> + C<sub>2</sub>-Kohlenwasserstoffe gebildet. Die Menge der entstandenen flüssigen Produkte betrug 39 g, des iso-Butans 33 g und der C<sub>3</sub> + n-C<sub>4</sub>-Kohlenwasserstoffe 12 g.

Abbildung 3 bringt eine graphische Auswertung der bei den verschiedenen Drucken ausgeführten Versuche. Aus der Abbildung ist zu entnehmen, daß bezüglich der Bildung der flüssigen Produkte und Gasolkohlenwasserstoffe bei

31



Drucken zwischen 300 und 600 at optimale Verhältnisse herrschen. Bei niedrigeren Drucken ist der Kohlenoxyd-Wasserstoffumsatz noch verhältnismäßig gering und bei höheren Drucken tritt die Bildung von Methan und Dimethyläther in den Vordergrund der Umsetzungen. Drucke von 1000 at und darüber sind bei Verwendung eines Thoriumoxyd-Einstoffkatalysators, auch unter anderen Temperaturverhältnissen als bei den Versuchen der Abbildung, zu hoch. Bei derartigen Drucken führen Temperaturen unter  $450^{\circ}$  in steigendem Maße zur Bildung von Dimethyläther ( $400^{\circ}$ , 1000 at - 200 g./je Hoba!), während Temperaturen oberhalb  $450^{\circ}$  zu verstärkter Methanbildung Veranlassung geben. Mit steigenden Drucken steigen die je Volumeneinheit Synthesegas in einer Arbeitsstufe erzielten Ausbeuten, es rücken aber die Temperaturgrenzen zusammen, innerhalb welcher sich die Bildung smarstoffhaltiger organischer Verbindungen nicht mehr und die Bildung von Methan noch nicht störend bemerkbar machte.

Tafel 6 bringt die Gesamtausbeuten bei verschiedenen Drucken und die procentuale Aufteilung der Reaktionsprodukte auf flüssige Produkte, iso-C<sub>4</sub>-Kohlenwasserstoffe, C<sub>3</sub>- + nC<sub>4</sub>-Kohlenwasserstoffe, C<sub>1</sub> + C<sub>2</sub>-Kohlenwasserstoffe und Dimethyläther.

Tafel 6.

Ausbeuten bei verschiedenen Drucken in % der Gesamtreaktionsprodukte ( $450^{\circ}$ ).

Druck at	Gesamtausb. g/Hoba	Gew. % der Gesamtausbeute				
		fl. Prod.	1-C <sub>4</sub>	C <sub>3</sub> +nC <sub>4</sub>	C <sub>1</sub> +C <sub>2</sub>	Di.Ä.
30	30,1	52,5	17,3	16,9	13,3	0
150	79,2	56,0	20,7	10,4	12,9	0
300	109,1	56,5	20,6	12,4	10,5	-
600	153,7	34,5	29,3	14,7	18,2	5,3
1000	200	19,5	16,5	6,0	33,5	24,5

Die Gesamtausbeuten stiegen von 30,1 g je Kohn bei 30 at mit steigendem Druck ziemlich gleichmäßig auf 200 g bei 1000 at. Die prozentuale Aufteilung der Reaktionsprodukte war hingegen innerhalb eines verhältnismäßig weiten Druckbereiches eine ähnliche.

c) Einfluß von Druck und Reaktionsdauer.

Die Tatsache, daß mit steigendem Druck der Umsatz des Synthesegases und damit die Ausbeuten an Kohlenwasserstoffen ansteigen, könnte dahingehend gedeutet werden, daß die mit erhöhtem Druck verbundene erhöhte Aufenthaltsdauer der Gase im Kontaktraum in der Hauptsache für das Ansteigen des Umsatzes verantwortlich ist. Ob dies der Fall ist, oder ob hoher Druck als solcher für einen hohen Umsatz notwendig ist, sollte durch zwei Versuchsreihen geklärt werden, eine, bei welcher unter Verwendung eines Thoriumoxyd-Kinstoffkatalysators bei gleichbleibendem Druck von 150 at die Aufenthaltsdauer des Gases, durch Herabsetzung des Durchsatzes in Verhältnis 1:2:4, variiert wurde und eine zweite, bei welcher die Aufenthaltszeiten bei gleichem Gasdurchsatz, durch Erhöhung des Arbeitsdruckes von 150 auf 300 bzw. 600 at, gesteigert wurden. Die Ergebnisse der beiden Versuchsreihen sind in Tafel 7 zusammengestellt. Die Versuchsnummern 1, 2 und 3 beziehen sich auf die erste der angeführten Versuchsreihen, die Versuchsnummern 4, 5 und 6 auf die zweite.

Tafel 7.

Versuche bei verschiedener Aufenthaltsdauer der Synthesegase im Reaktionsraum.

Nr.	Druck	Edgas Lit/Std.	Kontr. %	Anf. Gas Lit/Std.	durchschn. Auf-enthaltensdauer	CO-Umsatz %
1	150	10	25	13,4	normal	46
2	150	5	28	6,95	1,96-fach	53
3	150	2,5	30	3,57	3,85-fach	58
4	150	10	29	14,1	normal	46
5	300	10	37	15,9	1,74-fach <sup>x)</sup>	65
6	600	10	51	20,4	2,87-fach <sup>x)</sup>	83

<sup>x)</sup> unter Berücksichtigung der Abweichungen des pv-Wertes bei hohen Drucken.

317

Durch Herabsetzung der Endgasmenge der ersten Versuchsreihe von 10 auf 5 bzw. 2,5 Ltr./Std. stiegen die Kontraktionswerte von 25 auf 28 bzw. 30 %. Die hieraus errechenbaren Anfangsmengen betragen 15,4 bzw. 6,95 bzw. 3,57 Ltr./Std. Die aus dem Durchschnitt der stündlich durch den Kontaktraum streichenden Anfangs- und Endgasmenen sich ergebenden Aufenthaltszeiten verhalten sich wie 1:1,96:5,85. Die entsprechenden Kohlenoxydumsätze betragen 46 bzw. 53 bzw. 58 %. Bei der zweiten Versuchsreihe, bei welcher zur Erhöhung der Aufenthaltsdauer der Druck gesteigert wurde, wurde in allen drei Fällen mit 10 Liter Endgas je Std. gearbeitet. Die Kontraktionen betragen hier 29 bzw. 37 bzw. 51 %, die entsprechenden Anfangsmengen 14,1 bzw. 15,9 bzw. 20,4 Ltr./Std. Die Aufenthaltszeiten verhielten sich wie 1:1,7:2,8. Die Kohlenoxydumsätze betragen 46 % bzw. 65 % bzw. 83 %.

Ein Vergleich der Versuche zeigt, daß bei konstantem Druck von 150 at der Umsatz durch Erhöhung der Aufenthaltsdauer in gewissen Grenzen erhöht werden konnte, daß aber bei höheren Drucken, beispielsweise bei 600 at, trotz kürzerer Aufenthaltsdauer der Gase im Kontaktraum (vgl. beispielsweise Versuch 3 und 6) der Kohlenoxydumsatz wesentlich größer war als bei niedrigeren Drucken. Gewichtsmäßig wurde bei 600 at acht mal mehr Kohlenoxyd umgesetzt als bei 150 at. Die bei Erhöhung des Synthesedrucks beobachtete Erhöhung des Gesamtumsatzes ist somit wesentlich größer als dies aus der Erhöhung der Aufenthaltsdauer der Gase im Kontaktraum hergeleitet werden kann.

Obwohl innerhalb eines weiten Druckbereiches die Art der Reaktionsprodukte eine ähnliche ist (vgl. Tafel 6), kann das zur Erzielung hoher CO-H<sub>2</sub>-Umsätze notwendige Arbeiten bei hohen Synthesedrucken nicht durch ein Arbeiten bei niedrigen Drucken und entsprechend erhöhten Aufenthaltszeiten der Synthesegase im Kontaktraum ersetzt werden.

Dem entspricht auch die, wahrscheinlich auf Gleichgewichtsverhältnissen einer Primärreaktion begründete Tatsache, daß bei Atmosphärendruck auch bei noch so geringen Gasdurchsätzen (beispielsweise bei Herabsetzung des Gasdurchsatzes auf 1/30 des üblichen) fast kein CO-H<sub>2</sub>-Umsatz beobachtet werden konnte.

d) Über die Durchführung der Synthese in Stufen und im Kreislauf.

Zunächst wurden 2 Synthesöfen "einstufig" betrieben. Es wurde mit einem normalen  $\text{ThO}_2$ -Katalysator, bei einem Druck von 150 at und einer Temperatur von  $450^\circ$  gearbeitet. Das Synthesegas enthielt 43,1% Kohlenoxyd und 48,6% Wasserstoff. Die während einer längeren Betriebsperiode je Stunde und  $\frac{1}{6}$   $\text{ThO}_2$  durchgesetzte Synthesegasmenge betrug bei Ofen I 11,4 Liter, bei Ofen II 19,7 Liter. Die beiden Synthesöfen arbeiteten nicht vollständig gleich. Die Kontraktionen betrugen 28 bzw. 27%, der CO-Umsatz 55 bzw. 50%, das  $\text{CO}_2/\text{H}_2$ -Verbrauchsverhältnis 1,29:1 bzw. 1,20:1. Die Menge des neben den Kohlenwasserstoffen gebildeten Kohlendioxyds zu der des Reaktionswassers verhielt sich in Molen wie 3,42:1 bzw. 3,77:1. Ein Vergleich der beiden Versuche mit Versuch 1 der Tafel 7 zeigt, daß die bei den Versuchen der Tafel 8a verwendeten Katalysatoren etwas aktiver waren. In übrigen waren die Verhältnisse dieselben.

Tafel 8a.

Stufenversuche ( $\text{ThO}_2$ -Katalysator,  $\text{CO/H}_2=43,1/48,6$ , 150 at,  $450^\circ$ ).

Synthesöfen	Auf. Gas litr./St. je $\frac{1}{6}$ $\text{ThO}_2$	Kontr. %	CO- Ums. %	$\text{CO/H}_2$ Verb.- Verh.	g/Mole		$\text{CO}_2/\text{H}_2\text{O}$ (Mole)
					$\text{CO}_2$	$\text{H}_2\text{O}$	
I	11,4	28	55	1,29:1	206	24,6	3,42:1
II	19,7	27	50	1,20:1	197	21,0	3,77:1
I+II	6,0	45	75	1,05:1	265	44,0	3,77:1

Tafel 8b.

Stufenversuche (ThO<sub>2</sub>-Katalysator, CO:H<sub>2</sub>=43,1:48,6;  
150<sup>o</sup> at., 450<sup>o</sup>)

Synthese- ofen	Gesamt- K.V. Ausbeute	Gew. % der Gesamtausbeute fl. Prod.	1-C <sub>4</sub> C <sub>3</sub> +nC <sub>4</sub> C <sub>1</sub> +C <sub>2</sub>		
			1-C <sub>4</sub>	C <sub>3</sub> +nC <sub>4</sub>	C <sub>1</sub> +C <sub>2</sub>
I	72,9	45,2	25,8	14,5	14,5
II	67,9	49,8	27,8	11,2	11,2
I+II	140,8	47,5	26,8	12,8	12,8

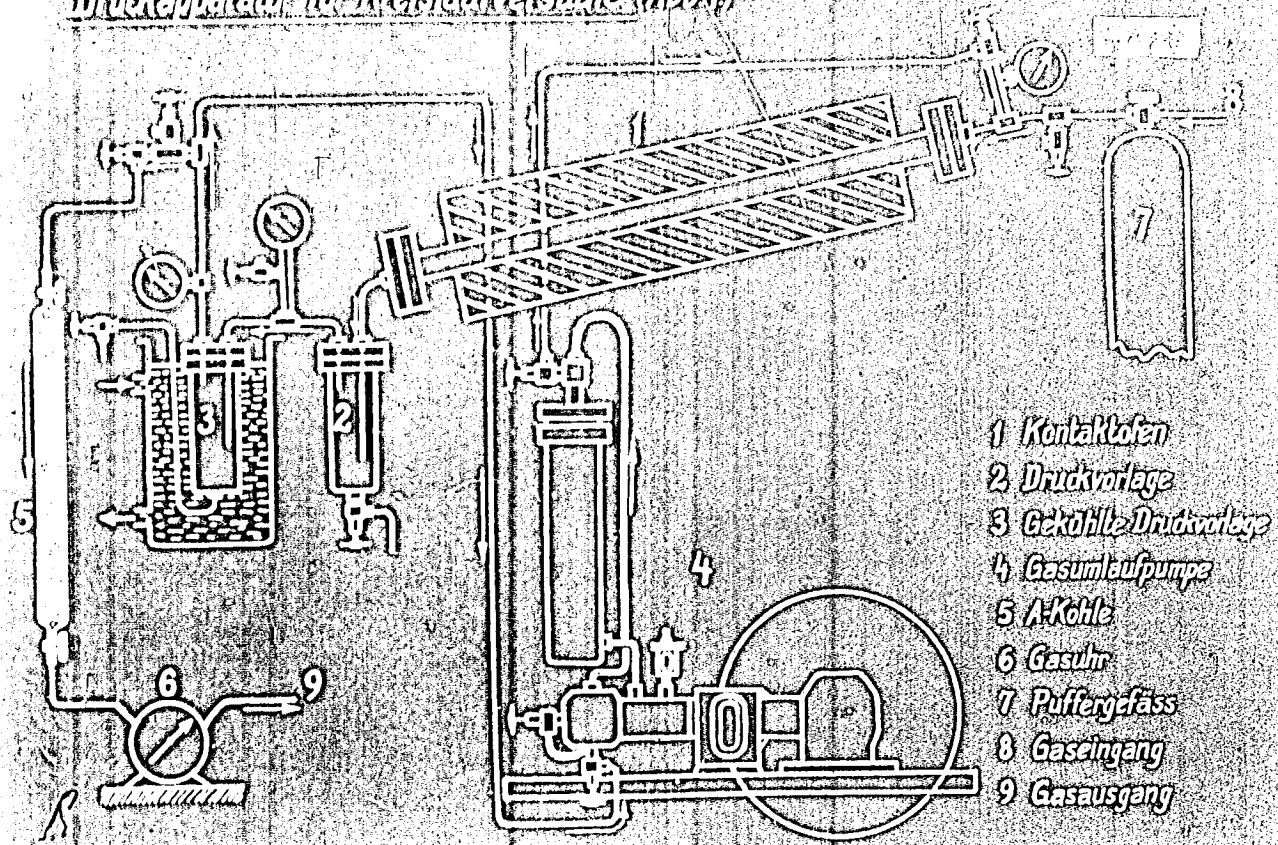
Bei dem dritten Versuch der Tafel 8a wurden die Syntheseröfen I und II hintereinander geschaltet. Da die in Ofen I eintretende Gasmenge nicht erhöht wurde, sank die insgesamt 39,26 g ThO<sub>2</sub> durchgesetzte Synthesegasmenge auf die Hälfte und zwar auf 6,0 Liter je Stunde ab. Zwischen Ofen I und Ofen II wurden beim Synthesedruck von 150 at und bei einer Temperatur von -25° C die verflüssigbaren Erzeugnisse abgeschieden. Die insgesamt in Ofen I und II erzielte Kontraktion betrug nunmehr 45 % und der CO-Umsatz 75 %. Vergleicht man diesen "Zweistufenversuch" mit Versuch 2 der Tafel 7, bei welchem der Gasdurchsatz je Kontaktmenge ungefähr der gleiche war, dann ist festzustellen, daß bei dem Zweistufenversuch mit intermediärer Herausnahme von Reaktionsprodukten der Umsatz ein wesentlich höherer ist als bei dem Einstufenversuch mit gleicher durchschnittlicher Gasbelastung des Kontaktes. Entsprechend der Tatsache, daß das in die 2. Synthesestufe eintretende Gas CO und H<sub>2</sub> nicht mehr in Verhältnis 43,1:48,6 sondern in Verhältnis 24,7:40,9 enthält, also wasserstoffreicher ist, ist das CO/H<sub>2</sub> Verbrauchsverhältnis der Gesamt Mischung nach der Wasserstoffseite und das Verhältnis der Bildung von Kohlendioxyd zu Wasser nach der Wasserseite verschoben.

Tafel 5b bringt die Kohlenwasserstoffausbeuten der beiden einstufigen und des zweistufigen Versuches der Tafel 8a. Die Gesamtausbeuten betragen 72,9 bzw. 67,9 bzw. 111,3 g, der Anteil der flüssigen Kohlenwasserstoffe in Gew. % 45,2 bzw. 49,8 bzw. 55,6 %, derjenige der iso-C<sub>4</sub>-Kohlenwasserstoffe 25,8 bzw. 27,8 bzw. 32,4 %. Entsprechend dem erhöhten Wasserstoffverbrauch des zweistufigen Verfahrens war bei diesem auch der Anteil der anfallenden gasförmigen Kohlenwasserstoffe etwas größer als bei der einstufigen Arbeitsweise. Vergleicht man die Ergebnisse der Tafel 5b mit jenen der Tafel 6, dann erkennt man, daß bei der zweistufigen Durchführung der Synthese bei 150 at, ungefähr dieselben Gesamtausbeuten erreicht werden, wie bei dem einstufigen Verfahren bei 300 at, bei ungefähr gleicher durchschnittlicher Aufenthaltsdauer der Gase im Kontaktraum. Hierbei wurde allerdings bei 300 at je Zeiteinheit und Einheit der Kontaktmenge gewichtsmäßig die doppelte Synthesegasmenge durchgesetzt als bei 150 at.

Bei einem weiteren bei 150 at durchgeführten Zweistufenversuch, bei welchem ein CO-reicheres Synthesegas (48,6 % CO und 41,7 % H<sub>2</sub>) Verwendung fand und in den zwei Stufen nicht bei der gleichen Temperatur (1. Stufe: 430° C, 2. Stufe: 470° C) gearbeitet wurde, wodurch der Umsatz gleichmäßiger auf beide Öfen verteilt werden konnte, wurden insgesamt 125,7 g Kohlenwasserstoffe (57,6 % fl. Produkte 26,8 % iso-C<sub>4</sub>-KW) erhalten.

Neben den "Stufenversuchen" wurden auch sogenannte "Kreislaufversuche" durchgeführt, bei welchen die Synthesegase entsprechend der in Abb. 4 gebrachten schematischen Zeichnung oftmals über denselben Kontakt geleitet wurden unter jedermaliger Herausnahme der flüssigen Reaktionsprodukte und eines Teiles des Gases durch Kühlung des umlaufenden Gases auf ca. -25° C. Vor dem Syntheseeofen strömte dem Kreislauf stets frisches Synthesegas zu und hinter der Kondensationsanlage wurde ein Teilstrom als Endgas abgenommen. Die Menge des abströmenden Gases entsprach der bei Normalversuchen gebräuchlichen Menge von rund 10 Liter je 25 g ThO<sub>2</sub> und Stunde. Das Umsetzungsverhältnis, d.h. die

# Druckmaschine für Gaslaufversuche (Abb. 4)



- 1 Kontaklofen
- 2 Druckvorlage
- 3 Gekühlte Druckvorlage
- 4 Gasumlaufpumpe
- 5 A-Kohle
- 6 Gasuhr
- 7 Puffergefäß
- 8 Gaseingang
- 9 Gasausgang

Menge des frisch zuströmenden Synthesegases zur Menge des im Kreislauf strömenden Gases betrug 1:6. Die Tafeln 9a und 9b bringen Ergebnisse eines derartigen bei 30 at durchgeführten Versuches, sowie eines Vergleichsversuches, bei welchem im gleichen Kontaktapparat ohne Umpumpen des Synthesegases gearbeitet wurde. Bei geradem Durchgang des Gases betrug die Kontraktion 20,5 %, der CO-Umsatz 40 % und das CO-H<sub>2</sub>-Verbrauchsverhältnis 1,14:1. Beim Kreislaufverfahren betrug die Kontraktion 29 %, der CO-Umsatz 32,4 % und das CO-H<sub>2</sub>-Verbrauchsverhältnis 0,67:1, d.h. beim Kreislaufverfahren ist der CO-Verbrauch geringer und der H<sub>2</sub>-Verbrauch und der Verflüssigungsgrad größer als bei der normalen Durchführung der Synthese in 1. Stufe. Dem entsprach der größere Anfall an Reaktionswasser beim Kreislaufverfahren, bei dem 1 Mol H<sub>2</sub>O je 0,44 Mole CO<sub>2</sub> entstanden gegenüber 1 Mol H<sub>2</sub>O je 3,74 Mole CO<sub>2</sub> bei der Synthese ohne Kreislauf. Die Gesamtbeuten an Kohlenwasserstoffen (siehe Tafel 9b) sind ohne und mit Umpumpen in etwa dieselben, der Anteil an höheren Kohlenwasserstoffen ist aber bei dem Kreislaufversuch ein höherer.

Tafel 9a.

Kreislaufversuch (ZnO<sub>2</sub>-Katalysator, CO:H<sub>2</sub>=3,348,0: 30 at, 475°).

Umpumpen	anf. Ges. Itr/Std. 20% ZnO <sub>2</sub>	Kontr. %	CO Umsatz %	CO:H <sub>2</sub> Verb.-Verf.	g/Mole CO <sub>2</sub>	H <sub>2</sub> O	CO <sub>2</sub> , H <sub>2</sub> O (in Molen)
ohne	11,4	20,5	40	1,14:1	162	17,8	3,74:1
mit	12,4	29	32,4	0,67:1	75	67,4	0,44:1

Tafel 9b.

Kreislaufversuch (ZnO<sub>2</sub>-Katalysator, CO:H<sub>2</sub>=3,348,1: 30 at, 475°).

Umpumpen	Gesamt-KV Beute	Ges. % der Gesamtbeute	1-C <sub>2</sub>	C <sub>3</sub> H <sub>8</sub>	C <sub>4</sub> H <sub>10</sub>
ohne	51,9	22	18,5	25,1	34,5
mit	52,6	35,8	26,2	19,2	18,8

Während somit die Stufenversuche mit Zwischenherausnahme von Reaktionsprodukten die Möglichkeit einer weitgehenden CO-Aufarbeitung bei mäßigen Drucken bieten, gibt das Kreislaufverfahren die Möglichkeit in die Hand, das Aufarbeitungsverhältnis von Kohlenoxyd und Wasserstoff in verhältnismäßig weiten Grenzen zu variieren.

### Versuche mit Mehrstoffkatalysatoren.

Den Versuchen mit Mehrstoffkatalysatoren lagen vornehmlich zwei Gesichtspunkte zu Grunde. Einerseits sollte untersucht werden, welche Zusätze geeignet sind, die katalytischen Fähigkeiten des Thoriums in gewünschter Richtung, nämlich in Richtung einer erhöhten Bildung verzweigter Kohlenwasserstoffe, weiter zu verbessern und andererseits sollte versucht werden, das Thoriumoxyd, an dessen Wirksamkeit keiner der übrigen untersuchten Einstoffkontakte herankommt, durch geeignete Kombinationskontakte teilweise oder auch ganz zu ersetzen.

Für die Verbesserung der Ansbeuten an höheren Kohlenwasserstoffen bei der Synthese an Thoriumkatalysatoren kam beispielsweise ein Zusatz von Alkali infrage, von dem schon sehr kleine Mengen bei der Mitteldrucksynthese an Eisenkatalysatoren einen wesentlichen Einfluß auf den Ablauf der Umsetzungen haben. Sie hemmen bei dieser Synthese die Hydrierung der intermediär entstehenden  $\text{CH}_2$ -Radikale und damit die Bildung von nicht erwünschten Methan und von niederen Homologen desselben und begünstigen die Polymerisation zu langen Ketten. Im Rahmen der Synthese von Alkoholen aus Kohlenoxyd und Wasserstoff drängt ein Zusatz von Alkali zum Kontakt in ähnlicher Weise die Bildung von Methanol zu Gunsten einer Bildung von höheren Alkoholen, insbesondere von *iso*-Butylalkohol, zurück.

Untersuchenswert erschien ferner die Wirkung eines Zusatzes von Phosphorsäure, die bekanntlich unter bestimmten Bedingungen in der Lage ist, ungesättigte Kohlenwasserstoffe wie Propen oder *n*-Buten zu höheren verzweigten Koh-



lenwasserstoffen, vorzugsweise zu ihren Dimeren, umzusetzen.

Im Zusammenhang mit der Möglichkeit, daß die Kohlenwasserstoffe der Isosynthese über intermediär entstehende Alkohole und Dimethyläther gebildet werden, wobei das Thoriumoxyd sowohl die Bildung der sauerstoffhaltigen Verbindungen wie auch ihre Entwässerung und die Weiterumsetzung der entstehenden ungesättigten Kohlenwasserstoffe zu gesättigten Produkten mit gleicher oder höherer Kohlenstoffzahl bewerkstelligt, wurden dem Thoriumoxyd einerseits Stoffe zugesetzt, welche die Alkoholbildung begünstigen, und andererseits solche, welche die Fähigkeit des Thoriumoxyds, aus Alkoholen Wasser abzuspalten, verstärken könnten, und schließlich wurden Kontakte erprobt, welche durch Kombination von alkoholbildenden und wasserabspaltend wirkenden Katalysatoren (beispielsweise Zinkoxyd-Aluminiumoxyd) hergestellt wurden.

Es wurde ferner die Wirkung eines Zusatzes verschiedener anderer Stoffe auf das Verhalten der Katalysatoren der Isosynthese untersucht, so der Zusatz von Cer zum Thorium und der Ersatz des Thoriums durch aufgeschlossenen und wieder gefällten Monarsitend, der Zusatz von Kupfer, der Zusatz kleiner und kleinster Mengen von Eisen, der Zusatz von Erdalkalien, wie Magnesium, ferner Mengen u. v. m.

Manche der angeführten Zusätze brachten negative Ergebnisse, andere keine wesentlichen Veränderungen des Ablaufs der Umsetzungen, wieder andere aber brachten eine in mancher Beziehung besonders günstige Beeinflussung des Reaktionsverlaufes.

Im folgenden wird das Verhalten einer Reihe von Kombinationskontakten besprochen, und zwar:

- 1.) Thoriumoxyd + Alkali
- 2.) Thoriumoxyd + Phosphorsäure
- 3.) Thoriumoxyd + Aluminiumoxyd
- 4.) Thoriumoxyd + Aluminiumoxyd + Alkali
- 5.) Thoriumoxyd + Zinkoxyd
- 6.) Zinkoxyd + Aluminiumoxyd
- 7.) Thoriumoxyd + Zinkoxyd + Aluminiumoxyd
- 8.) Aluminiumoxyd + Chromoxyd

- 9.) Thoriumoxyd + Chromoxyd
- 10.) Thoriumoxyd + Eisen
- 11.) Thoriumoxyd + Kupfer
- 12.) Thoriumoxyd + Aluminiumoxyd + Kieselgur

1.) Thoriumoxyd + Alkali.

Das Thorium wurde aus einer verdünnten Lösung des Nitrats mit Soda gefällt und der Niederschlag nach dem Filtrieren auf einer Nutsche bis zur Alkalifreiheit gewaschen (Normalkontakt). Das so erhaltene Thoriumkarbonat wurde in einer Schale mit Wasser aufgeschlemmt und unter Rühren mit bestimmten Mengen von im Wasser gelöstem Kaliumkarbonat versetzt, hierauf zur Trocknung eingedampft und dann bei  $110^{\circ}$  getrocknet.

Es wurden zunächst Vergleichsversuche bei Drucken von 30 at und verschiedenen Temperaturen mit Kontakten ohne Alkali und solchen mit Kaliumkarbonatgehalten von 0,5 %, 1 %, 5 % und 25 % durchgeführt. Der Gasdurchsatz betrug in allen Fällen 10 Liter Endgas je Stunde und 28 g Kohlenwasserstoff.

Abb. 5 bringt den Einfluß des Alkaligehaltes auf den Umsatz des Synthesegases bei 450, 475 und  $500^{\circ}$ . Die drei Kurven zeigen, daß steigender Alkalisatz die Aktivität der  $\text{ThO}_2$ -Kontakte erhöht. Diese Wirkung macht sich bei niederen Temperaturen stärker bemerkbar als bei hohen. So fiel der Gasumsatz, bei Steigerung des Alkaligehaltes von 1 auf 5 %, bei  $450^{\circ}$  von 13 auf fast 0 % und bei  $475^{\circ}$  von 20 auf 3 %, bei  $500^{\circ}$  hingegen nur von 28 auf 22 %. Entsprechend fiel auch die Ausbeute an Reaktionsprodukten und zwar die an niedrig siedenden und gasförmigen Kohlenwasserstoffen schneller als die an höheren Kohlenwasserstoffen.

Bei Zugabe geringerer Mengen von Alkali kann die Synthese (wegen der Herabsetzung der Aktivität des Thoriumkontaktes) bei verhältnismäßig hohen Temperaturen durchgeführt werden, ohne daß unter diesen Bedingungen eine weitgehende Umsetzung von Kohlenoxyd und Wasserstoff zu Methan eintritt. Man kann dann in einem Temperaturgebiet arbeiten, in welchem die Synthese vorwiegend zu cyclischen Kohlen-



wasserstoffen führt. So wurden mit einem Thoriumoxydkatalysator, der 1 % Kaliumkarbonat enthielt, bei einem Druck von 50 at und 500° flüssige Kohlenwasserstoffe erhalten, die zu 42 % aus Naphthenen und 8 % aus Aromaten, vorzugsweise Toluol, bestanden. Außerdem wurden 3 % Phenole festgestellt.

Tafel 10 bringt einen Versuch (Versuch 2), bei welchem unter für die Isosynthese günstigen Druck- und Temperaturbedingungen mit einem Thoriumkatalysator gearbeitet wurde, der eine geringe Menge an Alkali, die den Umsatz noch nicht merklich herabsetzte (0,6 %  $K_2CO_3$  bez. auf  $ThO_2$ ), enthielt. Versuch 1 ist ein Vergleichsversuch mit einem alkalifreien Thoriumkatalysator.

Der CO-Umsatz betrug in beiden Fällen 62 %. Die Menge der flüssigen Kohlenwasserstoffe stieg durch Zusatz des Alkalis von 42 auf 65 g, die der höheren Alkohole (größtenteils iso-Butylalkohol) von 9 auf 21 g/Nebe. Gleichzeitig fiel die Ausbeute an niederen Kohlenwasserstoffen ( $C_1 - C_4$ ) und an Methanol.

Tafel 10.

Synthese an einem schwach alkalisierten  $ThO_2$ -Katalysator (0,6 %  $K_2CO_3$ , 300 at, 450°, 10 Mr. Bodg./20 g  $ThO_2$ ).

$K_2CO_3$ %	CO-Ums. %	Ausbeute in g/Nebe. CO-H <sub>2</sub> -Gemisch							
		21.KV in Öl	Alkohole H <sub>2</sub> O	1-C <sub>4</sub>	n-C <sub>4</sub>	C <sub>3</sub>	C <sub>2</sub>	C <sub>1</sub>	
0	62	42	9	11	25	3	11	4	11
0,6	62	65	21	5	12	1	8	1	6

Während größere Alkalimengen lähmend auf die Aktivität des Thoriumkatalysators wirken, bringen geringe Alkalimengen eine Begünstigung der Bildung höhermolekularer Verbindungen.

2.) Thoriumoxyd + Phosphorsäure.

Thorium und Phosphorsäure in Form von Thoriumphosphat sind als Katalysator einer Kohlenwasserstoffsynthese völlig inaktiv. Ein durch Fällung mit Soda hergestellter, bei 300° getrockneter und gepulverter Thoriumoxydkatalysator, der nachträglich mit Phosphorsäure (100 g ThO<sub>2</sub> mit 27 ccn 89 %iger H<sub>3</sub>PO<sub>4</sub> in der Kälte angepastes und dann bei 250° im Trockenschrank gesintert) imprägniert wurde, zeigte sich hingegen für eine Umsetzung von Kohlenoxyd und Wasserstoff zu Kohlenwasserstoffen brauchbar.

Tafel 11 zeigt Anfangs- und Endgasanalysen von zwei bei 400° und 150° at mit der gleichen ThO<sub>2</sub>-Menge durchgeführten Versuchen. Bei Versuch 1 wurde ein mit Phosphorsäure imprägnierter ThO<sub>2</sub>-Katalysator und bei Versuch 2 zum Vergleich ein ThO<sub>2</sub>-Normalkatalysator verwendet.

Tafel 11.

Untersuchungen über den Einfluß eines Zusatzes von Phosphorsäure auf das katalytische Verhalten eines ThO<sub>2</sub>-Katalysators  
Anfangs- und Endgasanalysen (400°, 150° at).

	CO <sub>2</sub>	aKV	O <sub>2</sub>	CO	H <sub>2</sub>	KV	CZ	H <sub>2</sub>
Anf. Gas	3,0	0,0	0,2	48,0	41,6	-	-	7,2
Endg. 1	11,6	1,3	0,2	40,4	35,1	2,5	1,3	8,9
Endg. 2	14,1	1,0	0,0	38,1	36,3	0,7	2,0	9,8

Bei Versuch 1 betrug die Kontraktion 19 % und wurden je Kubm neben 8,5 g iso-C<sub>4</sub>-Kohlenwasserstoffen 17,4 g flüssige Kohlenwasserstoffe gebildet, während bei Versuch 2 bei einer Kontraktion von 27 % 7,3 g iso-C<sub>4</sub>-Kohlenwasserstoffe und 48,7 g flüssige Kohlenwasserstoffe entstanden. Die Endgasanalyse des Versuchs 1 zeigt bei gegenüber Versuch 2 etwas verringertem Umsatz verstärkte Tendenz zur Bildung gasförmiger Kohlenwasserstoffe mit niedriger C-Zahl (2,5 % KV mit C-Zahl 1,3 gegen 0,7 % KV mit C-Zahl 2,0).

Der Zusatz von Phosphorsäure zum  $\text{ThO}_2$ -Kontakt brachte im Rahmen der Isosynthese eine Verringerung des  $\text{CO-H}_2$ -Umsatzes und der Ausbeuten an flüssigen Kohlenwasserstoffen bei gleichzeitig verstärkter Methanbildung.

### 3.) Thoriumoxyd + Aluminiumoxyd.

Es wurden drei grundlegend verschiedene Arten von Versuchen durchgeführt:

a) Die  $\text{ThO}_2\text{-Al}_2\text{O}_3$ -Katalysatoren wurden durch gemeinsame Fällung hergestellt.

b) Der  $\text{Al}_2\text{O}_3$ -Katalysator wurde für sich hergestellt und hinter den  $\text{ThO}_2$ -Katalysator geschaltet.

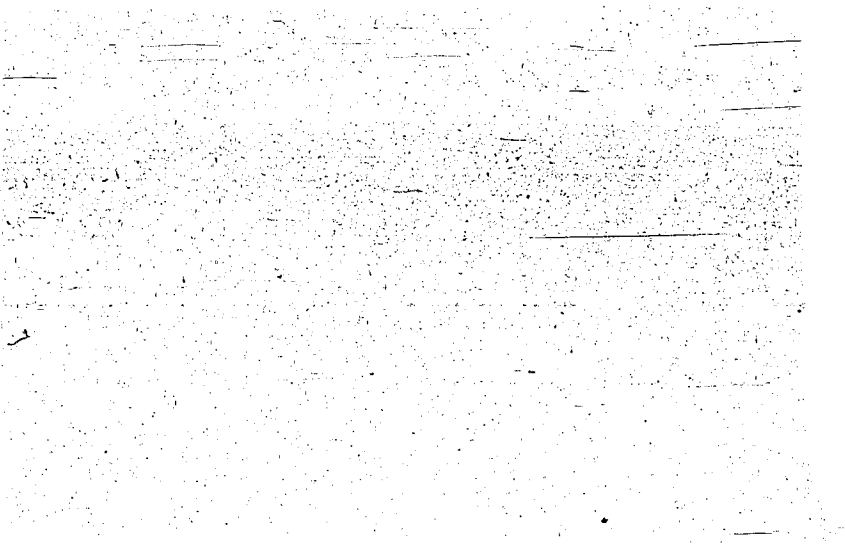
c) Thorium und Aluminium wurden getrennt gefällt und die frisch gewaschenen noch feuchten Niederschläge innig gemischt und getrocknet.

#### a) Durch gemeinsame Fällung hergestellte Mischkatalysatoren

Es wurden Versuche mit 0, 5, 10, 20 und 40 %  $\text{Al}_2\text{O}_3$  bez. auf  $\text{ThO}_2$  durchgeführt.

Die Herstellung eines Katalysators mit beispielsweise 20 %  $\text{Al}_2\text{O}_3$  gestaltete sich folgendermaßen: 240 g Thoriumnitrat und 169 g Aluminiumnitrat wurden in 2 Liter destilliertem Wasser gelöst, zum Sieden erhitzt und dazu eine siedende Lösung von 167 g Soda in 2 Liter Wasser langsam gegossen. Nach der Fällung wurde nochmals kurz zum Sieden erhitzt, filtriert und 15 mal mit je 400 ccm siedendem destilliertem Wasser gewaschen. Der Niederschlag wurde bei  $110^\circ$  getrocknet und anschließend bei  $300^\circ$  im Luftstrom vorbehandelt.

Der Gasdurchsatz betrug, wie bei den  $\text{Al}_2\text{O}_3$ -freien Katalysatoren, 10 Liter Reaktionsgas je Stunde und 28 g Thoriumoxyd. Das Aluminiumoxyd wurde somit zusätzlich angewandt.



Die Tafeln 12 - 14 bringen Ergebnisse folgender Versuche:

Tafel 12: Versuche mit Katalysatoren, welche 0 bzw. 10 bzw. 20 %  $\text{Al}_2\text{O}_3$  bez. auf  $\text{ThO}_2$  enthalten, bei einem Synthesedruck von 300 at und einer Synthesetemperatur von  $450^\circ$ .

Tafel 13: Der Tafel 12 entsprechende, jedoch bei einer Temperatur von  $475^\circ$  durchgeführte Versuche.

Tafel 14: Versuche bei 300 at und 425 bzw. 450 bzw.  $475^\circ$  mit Katalysatoren, die neben Thorinoxid 40 %  $\text{Al}_2\text{O}_3$  enthielten.

Das Ergebnis der Versuche der Tafel 12 ist das folgende:

Steigender  $\text{Al}_2\text{O}_3$ -Zusatz beeinflusst den Kohlenoxydumsatz nicht wesentlich, er erhöht aber den Wasserstoffverbrauch. Damit zusammenhängend steigen mit steigendem  $\text{Al}_2\text{O}_3$ -Zusatz die Ausbeuten an Methan und an  $\text{C}_4$ -Kohlenwasserstoffen auf Kosten der Ausbeuten an flüssigen Kohlenwasserstoffen und an in diesen gelösten Alkoholen. Mit steigendem  $\text{Al}_2\text{O}_3$ -Zusatz sinkt ferner die Menge der anfallenden  $\text{C}_2$ - und  $\text{C}_3$ -Kohlenwasserstoffe ab, während die Mengen der in Reaktionswasser gelösten Alkohole, die größtenteils aus Methanol bestehen, in etwa dieselben bleiben. Unabhängig vom  $\text{Al}_2\text{O}_3$ -Gehalt der Katalysatoren blieb auch der Gehalt der  $\text{C}_4$ -Fraktion an iso-Kohlenwasserstoffen. Das schlussmäßige Ergebnis der Versuchsreihe war in wesentlichen das folgende: An einem  $\text{Al}_2\text{O}_3$ -freien  $\text{ThO}_2$ -Normalkatalysator wurden je Liter  $\text{CO-H}_2$ -Gemisch (1:1) 42,2 g flüssige Kohlenwasserstoffe, 8,6 g Alkohole in Öl (größtenteils iso-Butylalkohol), 22,7 g iso- $\text{C}_4$ -Kohlenwasserstoffe, 10,9 g  $\text{C}_3$ -Kohlenwasserstoffe und 11,1 g Methan erhalten, während unter sonst gleichen Bedingungen an einem entsprechenden Katalysator mit 20 %  $\text{Al}_2\text{O}_3$  nur 21,0 g flüssige Kohlenwasserstoffe und 1,2 g Alkohole in Öl, jedoch 47,2 g iso- $\text{C}_4$ -Kohlenwasserstoffe, 4,8 g  $\text{C}_3$ -Kohlenwasserstoffe und 26,9 g Methan entstanden sind.

Die bei 475° durchgeführten, in übrigen der Tafel 12 entsprechenden Versuche bringt Tafel 13. Auch hier stieg mit steigendem  $Al_2O_3$ -Zusatz die Menge der entstandenen  $iso-C_4$ -Kohlenwasserstoffe und auch des Methans bei gleichzeitigen Absinken der Ausbeuten an flüssigen Kohlenwasserstoffen. Die Menge der in den flüssigen Kohlenwasserstoffen gelösten Alkohole ist bei 475° geringer als bei 450°. Die Maximalausbeute an  $iso-C_4$ -Kohlenwasserstoffen betrug bei Zusatz von 20 %  $Al_2O_3$  54,8 g je Norm  $CO-H_2$ -Gemisch (1:1). 92 % hiervon waren  $iso$ -Butan und 8 %  $iso$ -Buten. Entsprechend dem erhöhten Anfall an gasförmigen Reaktionsprodukten erreichte das  $CO-H_2$ -Verbrauchsverhältnis, das bei 450° annähernd 1,2:1 betrug, den Wert 1:1.

Tafel 14 bringt eine Versuchsreihe, bei welcher  $ThO_2$ -Kontakte mit 40 %  $Al_2O_3$  Verwendung fanden. (Diese Kontakte wurden im Vergleich zu jenen der Tafeln 12 und 13 aus etwas verdünnteren Lösungen gefällt). Die in der Tafel zusammengestellten Ausbeutebestimmungen wurden bei Temperaturen von 425, 450 und 475° durchgeführt. Mit steigender Temperatur stieg wieder die Menge der entstandenen gasförmigen Produkte, insbesondere der  $iso-C_4$ -Kohlenwasserstoffe und fiel die Menge der anfallenden flüssigen Kohlenwasserstoffe und Alkohole.

Besonders bemerkenswert ist die mit Sinken der Temperatur beobachtete Zunahme des Gehaltes der Reaktionsprodukte an ungesättigten Verbindungen. Die  $iso-C_4$ -Fraktion enthielt bei 475° 6 %, bei 450° 18 % und bei 425° 46 %  $iso$ -Buten.

Im übrigen brachte die Erhöhung des  $Al_2O_3$ -Gehaltes der Katalysatoren von 20 auf 40 % keine weitere Erhöhung der Ausbeuten an  $iso-C_4$ -Kohlenwasserstoffen. Die bezüglich dieser Kohlenwasserstoffe optimalen Ergebnisse wurden mit dem 20 %  $Al_2O_3$  enthaltenden Katalysator erreicht.

Eine letzte, mit gemeinsam gefällten  $ThO_2-Al_2O_3$ -Katalysatoren durchgeführte Versuchsreihe bringt Tafel 15. Hier

1. The first part of the document discusses the importance of maintaining accurate records of all transactions. It emphasizes that proper record-keeping is essential for ensuring the integrity and transparency of financial reporting. This section also highlights the role of internal controls in preventing errors and fraud.

2. The second part of the document focuses on the implementation of robust internal control systems. It outlines key components such as segregation of duties, authorization procedures, and regular monitoring. The text stresses that these controls are not only necessary for compliance but also for the overall health and sustainability of the organization.

3. The third part of the document addresses the challenges associated with maintaining accurate records in a complex and rapidly changing business environment. It discusses the importance of staying up-to-date with regulatory requirements and the need for continuous improvement in record-keeping practices.

4. The fourth part of the document provides practical advice on how to effectively manage records. It suggests using technology to streamline the process and ensure data accuracy. Additionally, it emphasizes the importance of training staff and fostering a culture of accountability and transparency.

5. The fifth part of the document concludes by reiterating the significance of accurate record-keeping for long-term success. It encourages organizations to view record-keeping as a strategic investment that can provide valuable insights and support decision-making.

6. The sixth part of the document discusses the importance of regular audits and reviews. It explains that these activities are crucial for identifying weaknesses in the internal control system and for ensuring that all transactions are properly recorded and reported. The text also highlights the role of external auditors in providing an independent assessment of the organization's financial statements.

7. The seventh part of the document focuses on the importance of clear communication and collaboration between different departments. It emphasizes that accurate record-keeping requires a high level of coordination and information sharing across the organization. This section also discusses the importance of maintaining clear lines of communication and reporting.

8. The eighth part of the document provides a summary of the key points discussed in the previous sections. It reiterates the importance of accurate record-keeping and the need for a strong internal control system. The text also provides a call to action, encouraging organizations to take the necessary steps to improve their record-keeping practices.

9. The ninth part of the document discusses the importance of staying up-to-date with the latest developments in record-keeping technology and practices. It emphasizes that the business environment is constantly evolving, and organizations must adapt their record-keeping practices accordingly. This section also discusses the importance of ongoing training and education for staff.

10. The tenth part of the document concludes by providing a final summary and a call to action. It encourages organizations to embrace a culture of accuracy, transparency, and continuous improvement in their record-keeping practices. The text also provides a final message of encouragement and support for organizations striving for excellence in their financial reporting.

wurde mit Katalysatoren gearbeitet, die bezüglich Thoriumoxyd 20 %  $Al_2O_3$  enthielten, bei  $450^\circ$  und bei Drucken von 300, 600 und 1000 at.

Mit steigendem Arbeitsdruck stieg der Kohlenoxydausatz von 64 auf 85 %, die Menge der entstandenen flüssigen Kohlenwasserstoffe von 21 auf 27 g je Norm  $CO-H_2$ -Gemisch und diejenige der im Wasser enthaltenen Alkohole von 11,8 auf 17,5 g. In der übrigen Phase befanden sich nur geringfügige Mengen an Alkoholen. Das Hauptreaktionsprodukt war iso-Butan. Von den Kohlenwasserstoffen der iso- $C_4$ -Fraktion wurden bei 300 at 47,2 g, bei 600 at 58,7 g und bei 1000 at 54,5 g je Norm erhalten. Nebenher entstanden bei 600 at 7,2 g und bei 1000 at 22,1 g Dimethyläther. Die bezüglich der Kohlenwasserstoffbildung optimalen Druckbedingungen lagen somit im Bereiche von 300-600 at.

b) Thoriumoxyd und Aluminiumoxyd in zwei getrennten, hintereinander geschalteten Schichten.

Bei den unter a) zusammengestellten Versuchen wurde gefunden, daß steigende  $Al_2O_3$ -Gehalte der  $ThO_2$ -Katalysatoren steigende iso- $C_4$ -KW-Ausbeuten bringen. Es sollte untersucht werden, ob dies auch der Fall ist, wenn das Aluminiumoxyd in einer getrennten, direkt hinter das Thoriumoxyd geschalteten Schicht zur Anwendung gelangt. Beide Kontakte wurden durch Füllung mit Soda hergestellt. Die Arbeitsdrücke betragen (wie bei den Versuchen der Tafeln 12-14) 300 at, die Arbeitstemperaturen  $450^\circ$ , die Menge des Aluminiumoxyds bes. auf  $ThO_2$  29 %.

Das Ergebnis eines derartigen Versuches bringt Tafel 16. Vergleicht man diesen Versuch mit jenen der Tafeln 12-14, dann ergibt sich, daß die Wirkung von Aluminiumoxyd, das hinter dem Thoriumoxydkatalysator geschaltet wird, sich wesentlich von derjenigen unterscheidet, die Aluminiumoxyd als Bestandteil eines  $ThO_2-Al_2O_3$ -Zweistoffkatalysators zeitigt. Die Ergebnisse des Zwischichtversuches entsprechen mehr jenen der  $Al_2O_3$ -freien  $ThO_2$ -Katalysatoren, als jenen der Mischkatalysatoren. Dies gilt besonders für die Bildung der flüssigen Kohlenwasserstoffe und des iso-Butans, allerdings nicht für die Alkohole (die im nachgeschalteten Aluminiumoxyd zum Teil weiter umgesetzt



werden) und nicht für das in Gegenwart von Aluminiumoxyd zusätzlich gebildete Methan.

c) Versuche mit durch getrennte Fällung hergestellten Mischkontakten.

Bei diesen Versuchen wurde das Thorium aus der Nitratlösung mit Soda gefällt, während das Aluminiumoxyd aus einer Aluminiumlösung über eine Fällung mit Schwefelsäure gewonnen wurde. Die beiden Niederschläge wurden nach dem Waschen in bestimmten Mengenverhältnissen vereint, innig gemischt und dann getrocknet. Die Herstellung eines Thoriumoxydkontaktes mit 20 % Aluminiumoxyd gestaltete sich beispielsweise folgendermaßen:

240 g Thoriumnitrat, gelöst in 2 Liter destilliertem Wasser, wurden zum Sieden erhitzt und mit 95 g Soda, ebenfalls gelöst in 2 Liter Wasser, in der Siedehitze gefällt. Der Niederschlag wurde nach dem Filtrieren 15 mal mit 400ccm siedendem Wasser gewaschen. Getrennt hiervon wurden 169 g Aluminiumnitrat in 1 Liter Wasser gelöst und in der Siedehitze mit 77 g Natriumhydroxyd in 500 ccm Wasser versetzt, wobei das zunächst ausgefallene Aluminiumhydroxyd bis auf eine geringfügige Trübung in Lösung ging. Die Lösung des Natriumaluminats wurde in der Siedehitze mit 17,2 ccm konzentrierter Schwefelsäure in 350 ccm destilliertem Wasser versetzt und hierbei das Aluminiumhydroxyd wieder ausgefällt. Der Aluminiumniederschlag wurde durch 12 maliges Aufschlämmen und Dekantieren mit je 1 Liter Wasser gewaschen, hierauf auf der Nutsche abgesaugt und weitere 3 mal mit je 400 ccm siedendem Wasser gewaschen. Der Thorium- und der Aluminiumniederschlag wurden mit heißem Wasser aufgeschlämmt, miteinander verrührt und auf dem Wasserbad unter ständigem Rühren eingedampft. Dann wurde bei  $110^{\circ}$  und anschließend im Luftstrom bei  $300^{\circ}$  getrocknet.

Tafel 17 zeigt, daß ein derartiger Kontakt bei  $450-475^{\circ}$  und  $300$  at besonders hohe Ausbeuten an iso-Butan und

zur geringe Alkoholmengen liefert. Während bei  $400^{\circ}$  noch 9 g Alkohole und 40 g Dimethyläther neben 19 g flüssigen Kohlenwasserstoffen und 17 g iso-C<sub>4</sub>-Kohlenwasserstoffen gebildet wurden, entstanden bei  $475^{\circ}$  nur mehr geringfügige Mengen an Alkohol (0,5 g/Nobm) und kein Dimethyläther, aber 69 g iso-C<sub>4</sub>-Kohlenwasserstoffe und 25,9 g flüssige Kohlenwasserstoffe. Die Gesamtausbeuten an flüssigen und Gasol-Kohlenwasserstoffen betragen bei diesem Versuch 112,7 g/Nobm CO-H<sub>2</sub>-Gemisch (die Zusammensetzung des Reaktionsgases dieses Versuches war die folgende: 37,7 % CO<sub>2</sub>, 0,7 % aKW, 0,1 % O<sub>2</sub>, 18,2 % CO, 17,3 % H<sub>2</sub>, 12,1 % KW (C-Zahl 2,4) und 14,9 % N<sub>2</sub>).

Ein mit dem gleichen Kontakt bei 600 et durchgeführter Versuch ergab bei 82 %igem Umsatz von Kohlenoxyd und Wasserstoff je Nobm angewandten CO-H<sub>2</sub>-Gemisches 56,4 g flüssige Kohlenwasserstoffe und 61,3 g iso-C<sub>4</sub>-Kohlenwasserstoffe, neben 6,6 g n-C<sub>4</sub>-, 5,5 g C<sub>3</sub>-, 5,4 g C<sub>2</sub>-Kohlenwasserstoffen und 17,4 g Methan und geringen Mengen an Alkoholen.

#### d) Zusammenfassung der Versuche mit verschiedenen hergestellten ThO<sub>2</sub>-Al<sub>2</sub>O<sub>3</sub>-Katalysatoren.

In Gegensatz zu reinem Aluminiumoxyd (siehe Abschnitt "Einstoffkatalysatoren"), das für die Synthese von iso-Kohlenstoffen sich nur sehr wenig eignet, kommt dem Aluminiumoxyd als Zusatz zum Thoriumoxyd, besonders wenn auf maximale iso-Butausbeuten hingearbeitet wird, besondere Bedeutung zu. Versuche, bei welchen dem Thoriumoxyd 20 % Aluminiumoxyd zugesetzt worden sind, brachten die besten Ergebnisse. Es war nicht notwendig, Thorium und Aluminium gemeinsam zu fällen, die besten Ergebnisse (höchste iso-C<sub>4</sub>-Ausbeuten) wurden mit Kontakten erzielt, bei welchen Thorium und Aluminium getrennt gefällt und erst nach der Anwaschung innig gemischt wurden. Die günstige Wirkung des Al<sub>2</sub>O<sub>3</sub>-Zusatzes zeigte sich nicht, wenn Thoriumoxyd und Aluminiumoxyd in hintereinander geschalteten Schichten zur Anwendung gelangten.



Eine zusammenfassende Gegenüberstellung der wichtigsten Ergebnisse der mit auf verschiedene Weise hergestellten  $\text{ThO}_2\text{-Al}_2\text{O}_3$ -Katalysatoren durchgeführten Versuche bringt Tafel 18.

Tafel 18.

Zusammenfassende Gegenüberstellung der  $\text{ThO}_2\text{-Al}_2\text{O}_3$ -Versuche (300 at).

Kontakt	Temp. °C	fl.KW. +Gasol g/Noelm	i-C <sub>4</sub> g/Noelm	fl.KW. g/Noelm	Alk. g/Noelm
$\text{ThO}_2$ - ohne $\text{Al}_2\text{O}_3$	450	79,0	22,7	42,2	19,3
" " "	475	92,2	27,3	39,6	9,6
$\text{ThO}_2+20\%\text{Al}_2\text{O}_3$ gem.gef.	450	79,1	47,7	21,0	13,0
" " " " "	475	93,7	54,8	17,6	4,0
$\text{ThO}_2+20\%\text{Al}_2\text{O}_3$ getr.gef.	450	112,2	60,5	34,1	3,3
" " " " "	475	112,7	69,0	25,9	0,5
$\text{ThO}_2+29\%\text{Al}_2\text{O}_3$ Schichten	450	100,7	27,0	48,0	4,9

#### 4.) Thoriumoxyd + Aluminiumoxyd + Alkali.

Beobachtungen, die bei Verwendung von  $\text{ThO}_2\text{-Al}_2\text{O}_3$ -Katalysatoren gemacht wurden, bei denen das Aluminiumoxyd nach der Fällung nicht völlig von Alkali befreit worden war, ließen eine genaue Untersuchung der Wirkungsweise von  $\text{ThO}_2\text{-Al}_2\text{O}_3$ -Alkali-Katalysatoren wünschenswert erscheinen. Das Alkali wurde bei diesen Versuchen im allgemeinen nicht dem frisch gefällten Thorium, sondern wie oben aus Aluminium getrennt hergestellten und zunächst durch Waschen von Alkali völlig befreiten Al-Niederschlag zugesetzt.

Tafel 19 bringt Versuche mit 1 % und mit 3 % Kaliumkarbonat bez. auf das Aluminiumoxyd und zum Vergleich einen

Versuch mit einem alkalifreien  $\text{ThO}_2\text{-Al}_2\text{O}_3$ -Katalysator (3 %  $\text{K}_2\text{CO}_3$  bzw.  $\text{Al}_2\text{O}_3$  entspricht einer Menge von 0,6 % bez. auf  $\text{ThO}_2$ , wie sie bei dem Versuch 2 der Tafel 10 angewandt wurde). Der CO-Umsatz betrug 75 % bei 0 %  $\text{K}_2\text{CO}_3$ , 72 % bei 1 %  $\text{K}_2\text{CO}_3$  und 78 % bei 3 %  $\text{K}_2\text{CO}_3$ . Die Menge der entstandenen flüssigen Kohlenwasserstoffe war bei Zusatz von 0 und von 1 %  $\text{K}_2\text{CO}_3$  bei diesen Versuchen ungefähr die gleiche. Bei stärkerer Alkalisierung des Aluminiumoxyds fiel sie ab (von 34,1 bzw. 34,9 g auf 25,4 g je Norm). Alkohole wurden in allen Fällen nur in geringfügigen Mengen gebildet. Bei Zusatz von 3 % Alkali waren unter den Reaktionsprodukten praktisch keine Alkohole mehr festzustellen. Auch entstanden keine  $\text{C}_3$ -Kohlenwasserstoffe. Die Bildung der iso- $\text{C}_4$ -Kohlenwasserstoffe wird in Gegenwart des Alkalis begünstigt. Ihre Menge steigt von 60,5 g bei 0 %  $\text{K}_2\text{CO}_3$  auf 67,4 g bei 1 %  $\text{K}_2\text{CO}_3$  bzw. auf 84,6 g je Norm bei 3 %  $\text{K}_2\text{CO}_3$ .

Die Reaktion wird in Gegenwart der Alkali enthaltenen  $\text{ThO}_2\text{-Al}_2\text{O}_3$ -Kontakte besonders ausgeprägt in Richtung einer Bildung von iso- $\text{C}_4$ -Kohlenwasserstoffen gelenkt. Nebenher entstanden noch größere Mengen (30-50 % der flüssigen Reaktionsprodukte) an iso-Pentan (2 Methyl-Butan), so daß bei Versuch 3 je Norm CO- $\text{H}_2$ -Gemisch annähernd 100 g iso- $\text{C}_4$ - und iso- $\text{C}_5$ -Kohlenwasserstoffe gebildet wurden.

Tafel 20 bringt eine Zusammenstellung, aus der die Wirkungsweise der 3 Komponenten Thoriumoxyd, Aluminiumoxyd-Alkali hervorgeht. Das Aluminiumoxyd wurde (siehe Kapitel Thoriumoxyd-Aluminiumoxyd) in allen Fällen aus Aluminat getrennt gefällt. Das Synthesegas enthielt 49 % Kohlenoxyd und 41 % Wasserstoff.

Aluminiumoxyd und ähnlich auch alkalisiertes Aluminiumoxyd geben für sich (Versuch 1 und 2) unbefriedigenden Umsatz (der Gasdurchsatz entsprach in allen Fällen 10 Liter Endgas je 25 ccm Kontaktraum und Stunde). Es wurden bei diesen Versuchen 24 bzw. 25 % Kohlenoxydumsatz, 14 bzw. 24 g/Norm flüssige Kohlenwasserstoffe und 10 bzw. 2 g iso- $\text{C}_4$ -Kohlenwasserstoffe erhalten. Alkali als Zusatz zum Thoriumoxyd bringt eine erhöhte Bildung flüssiger auf Kosten der

gasförmigen Reaktionsprodukte (Versuch 4). Aluminiumoxyd als Zusatz zum Thoriumoxyd (Versuch 5) wirkt sich entgegengesetzt aus, es bringt eine Verminderung der Ausbeuten an flüssigen Produkten und eine Erhöhung der Ausbeuten an iso-Butan und auch an Methan. Zusatz von alkalisierendem Aluminiumhydroxyd zum frisch gefällten Thoriumniederschlag (Versuch 6) bringt besonders hohe iso-C<sub>4</sub>-Ausbeuten (85 g/Kobm), während ein Vergleichsversuch (7), bei welchem dieselbe Alkalimenge vor Zugabe des Aluminiumhydroxyds dem frisch gewaschenen Thoriumniederschlag zugesetzt wurde, wieder eine Erhöhung der Ausbeuten an flüssigen Kohlenwasserstoffen auf Kosten der gasförmigen bringt.

Tafel 20.

Die katalytische Wirkung von ThO<sub>2</sub>, Al<sub>2</sub>O<sub>3</sub> und Alkali(450°, 100 stl).

Nr.	Katalysator	CO-Ums. %	Ausbeuten in g je Kobm		CO-H <sub>2</sub> -Gem.					
			fl. KW	Alk. im Öl H <sub>2</sub>	i-C <sub>4</sub>	n-C <sub>4</sub>	C <sub>3</sub>	C <sub>2</sub>	C <sub>1</sub>	
1	Al <sub>2</sub> O <sub>3</sub> (aus Aluminat)	24	14	0,7	-	10	6	4	0	9
2	Al <sub>2</sub> O <sub>3</sub> + 3% K <sub>2</sub> CO <sub>3</sub>	25	24	<1	<1	2	1	0	8	14
3	ThO <sub>2</sub>	62	42	9	11	23	3	11	4	11
4	ThO <sub>2</sub> + 0,6% K <sub>2</sub> CO <sub>3</sub>	62	65	21	5	12	1	8	1	6
5	ThO <sub>2</sub> + 20% Al <sub>2</sub> O <sub>3</sub>	73	34	1	2	61	9	9	10	15
6	ThO <sub>2</sub> + (20% Al <sub>2</sub> O <sub>3</sub> + 3% K <sub>2</sub> CO <sub>3</sub> , bez. auf Al <sub>2</sub> O <sub>3</sub> )	78	25	0	0	85	10	0	7	22
7	ThO <sub>2</sub> + 0,6% K <sub>2</sub> CO <sub>3</sub> (bez. auf ThO <sub>2</sub> ) + 20% Al <sub>2</sub> O <sub>3</sub>	70	42	2	4	51	7	18	6	12

5.) Thoriumoxyd + Zinkoxyd.

Die ThO<sub>2</sub>-ZnO-Kontakte wurden in allgemeinen durch gemeinsame Fällung mit Soda hergestellt. Die Art der Fällung, insbesondere ob die Soda- in die Nitratlösung (normale Fäll-

lung) oder die Nitrat- in die Sodalösung (verkehrte Fällung) gegossen wird, ist für die Wirksamkeit dieser Katalysatoren von Bedeutung. Die verkehrte Fällungsart führte zu besonders hohen Ausbeuten an flüssigen Kohlenwasserstoffen.

Der Gasdurchsatz betrug auch bei den  $\text{ThO}_2\text{-ZnO}$ -Katalysatoren 10 Liter Endgas je 28 g Thoriumoxyd. Bei  $\text{ThO}_2$ -freien Katalysatoren wurde die Menge von 10 Liter Endgas/Std. auf das Kontaktvolumen von 15 ccm bezogen.

Tafel 21 enthält eine Zusammenstellung von Versuchen, die mit  $\text{ThO}_2\text{-ZnO}$ -Katalysatoren durchgeführt worden sind. An der Spitze steht ein durch verkehrte Fällung gewonnener reiner  $\text{ZnO}$ -Kontakt. Er liefert bei 300 et und  $450^\circ$  weder flüssige Kohlenwasserstoffe noch nennenswerte Mengen an  $\text{iso-C}_4$ -Kohlenwasserstoffen, sondern fast ausschließlich Alkohole und Methan.

Der letzte Versuch der Tafel, bei dem Thoriumoxyd und Zinkoxyd in Verhältnis 3:1 angewandt wurden, brachten die höchsten Ausbeuten an flüssigen Kohlenwasserstoffen, nämlich 78,7 g je Kcbm neben 19,3 g  $\text{iso-C}_4$ -Kohlenwasserstoffen. Die Herstellung des bei diesem Versuch verwendeten Katalysators geschah folgendermaßen:

120 g Thoriumnitrat ( $\text{Th}(\text{NO}_3)_4 \cdot 4 \text{H}_2\text{O}$ ) und 74 g Zinknitrat ( $\text{Zn}(\text{NO}_3)_2 \cdot 6 \text{H}_2\text{O}$ ) wurden in 2 Liter destilliertem Wasser gelöst und die Lösung zum Sieden erhitzt. Dann wurden 86 g Natriumkarbonat, gelöst in 1 Liter destilliertem Wasser, in der Siedhitze unter Rühren zulaufen gelassen. Nach dem Abmischen wurde 15 mal mit 400 ccm Wasser gewaschen und dann bei  $110^\circ$  getrocknet. Das Schüttgewicht des Katalysators betrug bei 2-4 mm Korngröße 0,75 und nach der Trocknung in Luftstrom bei  $300^\circ$  1,15.

Mit einem zweiten, nach den gleichen Vorschriften hergestellten Katalysator wurden bei 75 %igen  $\text{CO}$ - und 69 %igen  $\text{H}_2$ -Umsatz 67,7 g flüssige Kohlenwasserstoffe, 9,1 g Alkohole in Öl, 3,3 g Alkohole in Wasser, 24,0 g  $\text{iso-C}_4$ -Kohlenwasserstoffe, 2,6 g  $n\text{-C}_4$ -Kohlenwasserstoffe, 16,3 g  $\text{C}_3$ -Kohlenwasserstoffe, 7,1 g  $\text{C}_2$ -Kohlenwasserstoffe und 14,0 g Methan erhalten.

1. The first part of the document discusses the importance of maintaining accurate records of all transactions. It emphasizes that proper record-keeping is essential for ensuring the integrity and reliability of financial data. This section also highlights the role of internal controls in preventing errors and fraud.

2. The second part of the document focuses on the implementation of robust internal control systems. It outlines the key components of an effective internal control framework, including the establishment of clear policies and procedures, the assignment of responsibilities, and the regular monitoring and evaluation of control activities. The document stresses that a strong internal control system is crucial for safeguarding assets and ensuring the accuracy of financial reporting.

3. The third part of the document addresses the importance of transparency and communication in financial reporting. It discusses the need for clear and concise disclosure of financial information to stakeholders, including investors, creditors, and regulatory authorities. The document also emphasizes the role of management in providing timely and accurate information to support decision-making and maintain trust in the organization's financial statements.

4. The fourth part of the document discusses the importance of staying up-to-date with changes in accounting standards and regulations. It highlights the need for ongoing education and training for accounting professionals to ensure they are equipped with the latest knowledge and skills. The document also emphasizes the importance of seeking professional advice and consulting with experts to ensure compliance with all applicable laws and regulations.

5. The fifth and final part of the document provides a summary of the key points discussed and offers recommendations for further action. It reiterates the importance of maintaining accurate records, implementing strong internal controls, ensuring transparency and communication, and staying up-to-date with changes in accounting standards and regulations. The document concludes by emphasizing that a commitment to high standards of financial reporting and internal control is essential for the long-term success and sustainability of any organization.

Mit einem Kontakt, der aus einer verdünnteren Lösung hergestellt worden ist, beispielsweise durch Lösen der 86 g Soda in 2 Liter, anstelle von 1 Liter Wasser, wurden bei 77 %igen CO- und 73 %igen H<sub>2</sub>-Umsatz 45,5 g flüssige Kohlenwasserstoffe, 7,5 g Alkohole im Öl, 4,3 g Alkohole im Wasser, 33,5 g iso-C<sub>4</sub>-Kohlenwasserstoffe, 25,7 g C<sub>5</sub>-Kohlenwasserstoffe, 13,4 g C<sub>2</sub>-Kohlenwasserstoffe und 14,0 g Methan erhalten. Aus verdünnteren Lösungen gefällte Kontakte gaben mehr gasförmige, aus konzentrierteren mehr flüssige Kohlenwasserstoffe.

Berüghlich der Konstanz der Aktivität hat sich gezeigt, daß diese um so größer ist, je mehr flüssige Kohlenwasserstoffe bei der Synthese gebildet werden.

Die Versuche 2-8 der Tafel 21 geben Hinweise für den Einfluß der Fällungsart, des CO-H<sub>2</sub>-Gehaltes des Synthesegases, der Reaktionstemperatur und des Druckes.

Die höchsten Ausbeuten an flüssigen + iso-C<sub>4</sub>-Kohlenwasserstoffen (100 g) brachte der bereits erwähnte durch verkehrte Fällung hergestellte Kontakt bei einem Druck von 300 at und bei einer Temperatur von 450°. Der hohe ThO<sub>2</sub>-Gehalt des Kontaktes ist zur Vermeidung einer bevorzugten Alkoholbildung notwendig.

Bemerkenswert erscheint an den Zinkoxyd enthaltenden Thoriumkatalysatoren neben der erhöhten Tendenz zur Bildung flüssiger Reaktionsprodukte die Tatsache, daß diese Katalysatoren keinerlei Neigung zur Kohlenstoffbildung zeigten. Ihre Farbe blieb auch nach längerem Betrieb weiß bis hellgrau.

#### 6.) Zinkoxyd + Aluminiumoxyd.

Unter den Einstoffkatalysatoren erwies sich das Thoriumoxyd als wirksamster Katalysator für die Synthese verzweigter Kohlenwasserstoffe (siehe Tafel 2 und 3). Aluminiumoxyd und Zinkoxyd, als Einstoffkatalysatoren, waren für die Isosynthese ungeeignet. Diese beiden Oxyde waren aber geeignet als Zusatz zum Thoriumoxyd dessen Wirksamkeit zu

104

steigern und zwar im ersten Falle in Richtung eines erhöhten Bildung von gasförmigen Kohlenwasserstoffen, namentlich von iso-Butan, und im zweiten Falle in Richtung einer erhöhten Bildung flüssiger Produkte.

Auf der Suche nach einer Möglichkeit zur Ersetzung des Thoriums wurde gefunden, daß ein Zweistoffkontakt, bestehend aus Aluminiumoxyd und Zinkoxyd, in der Lage ist, die Bildung von höheren Kohlenwasserstoffen und auch von iso-Butan zu katalysieren. Die Herstellung eines Zinkoxyd-Aluminiumoxydkatalysators, der beispielsweise Zinkoxyd und Aluminiumoxyd im Verhältnis 1 Mol:1 Mol enthielt, geschah folgendermaßen:

187,5 g  $\text{Al}(\text{NO}_3)_3 \cdot 9 \text{H}_2\text{O}$  + 74,5 g  $\text{Zn}(\text{NO}_3)_2 \cdot 6 \text{H}_2\text{O}$  wurden in 2 Liter Wasser zum Sieden erhitzt und in die ebenfalls siedende Lösung von 117 g  $\text{Na}_2\text{CO}_3$  in 2 Liter Wasser unter Umrühren (mit Rührwerk) eingegossen. Nach der Fällung wurde nochmals zum Sieden erhitzt, abgenutscht und auf der Nutsche 13 mal mit je 400 ccm siedendem Wasser gewaschen. Der Niederschlag wurde zunächst bei  $110^\circ$  getrocknet und dann 3 Stunden im Luftstrom bei  $300^\circ$  nachbehandelt. Die Auswaage betrug rd. 48 g, das Schüttgewicht bei 2-4 mm Korngröße 0,84.

Der stündliche Gasdurchsatz, der bei den Versuchen mit  $\text{ThO}_2$  enthaltenden Katalysatoren stets auf das Thoriumoxyd bezogen wurde und im allgemeinen 10 Liter Endgas je 28 g  $\text{ThO}_2$  und Stunde betrug, wurde bei den  $\text{ThO}_2$ -freien Katalysatoren auf das Kontaktvolumen bezogen. Er betrug dann 10 Liter Endgas je 15 ccm Kontakt und Stunde.

In Tafel 22 sind 5 Versuche mit  $\text{ZnO-Al}_2\text{O}_3$ -Katalysatoren zusammengestellt und zwar 3 Versuche, die bei 150 at mit einem Synthesegas mit 49 %  $\text{CO}$  und 41 %  $\text{H}_2$  und zwei, die bei 300 at mit einem Synthesegas, das Kohlenoxyd und Wasserstoff im Verhältnis 41:49 enthielten, durchgeführt wurden. Hohe Drücke führen zu hohen  $\text{CO-H}_2$ -Umsätzen. Wie die Versuche 4 und 5 zeigen, ist zur Vermeidung einer bevorzugten Bildung von Alkoholen aber notwendig, mit Kontakten mit hohem  $\text{Al}_2\text{O}_3$ -Gehalt zu arbeiten. Im übrigen ist, ähnlich wie bei den  $\text{ThO}_2$ -Kontakten, bei niedrigen Temperaturen die Tendenz

[The text in this section is extremely faint and illegible due to heavy noise and low contrast. It appears to be a list or series of entries, but the specific content cannot be discerned.]

zur Bildung von Alkoholen größer als bei höheren (Versuche 1 und 2).

Guten Umsatz brachte Versuch 5, bei welchem mit einem Kontakt, der 44 % ZnO und 56 % Al<sub>2</sub>O<sub>3</sub> enthielt, bei 300 at und 450° 34,5 g flüssige Kohlenwasserstoffe, 24,0 g iso-C<sub>4</sub>-Kohlenwasserstoffe, 8,5 g Restgasol, 9,4 g C<sub>2</sub>-Kohlenwasserstoffe und 19,2 g Methan je Norm CO-H<sub>2</sub>-Gemisch erhalten wurden. Ähnlich wie bei Versuchen mit ThO<sub>2</sub>-Katalysatoren wurde auch hier die Bildung von Dimethyläther nachgewiesen.

Die Ausbeuten der Versuche 4 und 5 könnten bei Verwendung eines Synthesegases, das die beiden Komponenten im Verbrauchsverhältnis enthält, noch etwas erhöht werden. Die ZnO-Al<sub>2</sub>O<sub>3</sub>-Katalysatoren brachten somit Ausbeuten in g/Norm, die jenen, welche an ThO<sub>2</sub>-Einstoffkatalysatoren erhalten wurden, nahe kamen.

Bezüglich der Raum-Zeitausbeuten erweisen sich die ThO<sub>2</sub>-enthaltenden Katalysatoren jedoch wesentlich überlegen. So wurden an einem ThO<sub>2</sub>-Al<sub>2</sub>O<sub>3</sub> (5:1)-Katalysator je 1000 ccm Kontaktvolumen und Stunde 600 Liter Synthesegas durchgesetzt bzw. 380 Liter Kohlenoxyd und Wasserstoff umgesetzt und 30 g flüssige Kohlenwasserstoffe + Gasol gebildet, während an dem ZnO-Al<sub>2</sub>O<sub>3</sub>-Katalysator (Tafel 22 Versuch 5) je 1000 ccm Kontaktvolumen und Stunde 340 Liter Synthesegas durchgesetzt, 173 Liter Kohlenoxyd und Wasserstoff umgesetzt und 11,6 g flüssige Kohlenwasserstoffe und Gasol gebildet wurden.

Ein Vergleich der Versuche 2 und 3 (150 at) zeigt, daß eine Herabsetzung des stündlichen Gasdurchsatzes auf die Hälfte zu einer Erhöhung der Ausbeuten führt. Eine derartige Verfahrensweise führt aber zu einer weiteren Herabsetzung der Raum-Zeitausbeute.

In Anlehnung an die ThO<sub>2</sub>-Al<sub>2</sub>O<sub>3</sub>-Versuche wurden auch ZnO-Al<sub>2</sub>O<sub>3</sub>-Kontakte durch getrennte Fällung der Komponenten und Mischung der frisch gefällten und gewaschenen Nieder-

84

schläge hergestellt. Das Schüttgewicht eines derartigen Kontaktes war aber klein. Ein Kontakt, der aus 1 Mol ZnO und 1 Mol Al<sub>2</sub>O<sub>3</sub> besteht, hatte bei einer derartigen Herstellungsweise (beide Komponenten mit Soda gefällt) ein Schüttgewicht von 0,32 (anstelle von 0,84). Bei Verwendung derartiger Katalysatoren würde die Raum-Zeitsausbeute wesentlich absinken.

Gelangten Zinkoxyd und Aluminiumoxyd nicht als Mischkontakt, sondern in zwei hintereinander geschalteten Schichten zur Verwendung, wobei das Aluminiumoxyd hinter das Zinkoxyd geschaltet wurde, dann war die Wirkung einer derartigen Kontaktkombination (ähnlich wie bei den ThO<sub>2</sub>-Al<sub>2</sub>O<sub>3</sub>-Katalysatoren) eine völlig andere. Es entstanden dann ähnlich wie bei einem reinen ZnO-Kontakt von den Kohlenwasserstoffen in der Hauptsache nur Methan.

### 7.) Thoriumoxyd + Zinkoxyd + Aluminiumoxyd.

Thorium und Zink werden aus den Nitraten, das Aluminium aus Aluminat gefällt. Die drei Komponenten werden in verschiedenen Mengenverhältnissen angewandt. Es wurde bei einem Druck von 300 at und einer Synthesetemperatur von 450° gearbeitet.

Ein Katalysator, der ThO<sub>2</sub>, ZnO und Al<sub>2</sub>O<sub>3</sub> in Verhältnis 2:1:0,4 enthielt, brachte je Norm CO-H<sub>2</sub> Gemisch (Synthesegas mit 51 % CO und 39 % H<sub>2</sub>) folgende Ausbeuten:

- 59,2 g flüssige Kohlenwasserstoffe
- 31,7 g iso-C<sub>4</sub>-Kohlenwasserstoffe
- 4,6 g n-C<sub>4</sub>-Kohlenwasserstoffe
- 15,4 g C<sub>3</sub>-Kohlenwasserstoffe
- 10,0 g C<sub>2</sub>-Kohlenwasserstoffe
- 8,4 g C<sub>1</sub>-Kohlenwasserstoffe
- 6,6 g Alkohole in Öl
- 3,3 g Alkohole in Wasser

Die Ergebnisse sind den an Al<sub>2</sub>O<sub>3</sub>-freien ThO<sub>2</sub>-ZnO-Katalysatoren erzielten ähnlich. Im Vergleich zu dem ZnO-freien Katalysator ist die erhöhte Tendenz zur Bildung von Alkoholen bemerkenswert.

8.) Aluminiumoxyd + Chromoxyd.

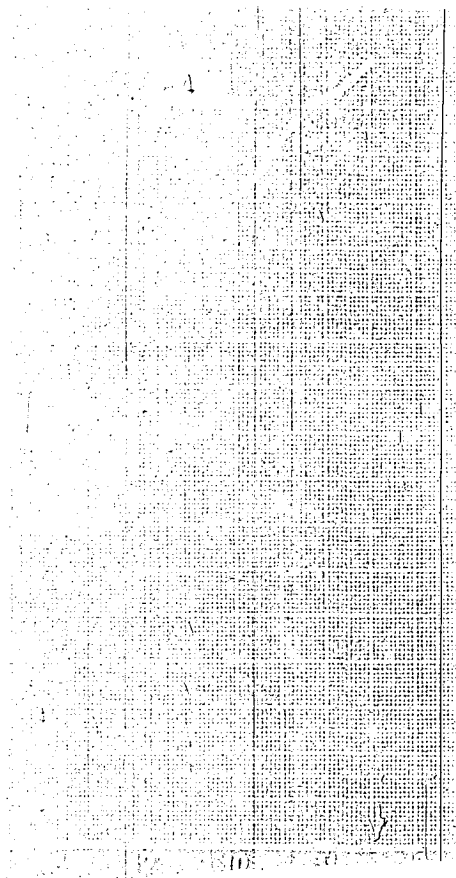
Ein Aluminiumoxyd-Chromoxydkatalysator wurde bei 30 at und Temperaturen bis 500° auf seine Wirksamkeit untersucht. Die Temperatur konnte wegen der verhältnismäßig geringen Aktivität und dementsprechend auch verhältnismäßig geringen Neigung des Katalysators zur Kohlenstoffbildung bis 500° gesteigert werden. Die absoluten Ausbeuten an flüssigen Kohlenwasserstoffen waren bei diesem Versuch klein. Sie betragen 5-10 g je obm Synthesegas. Trotzdem erscheint ein mit einem derartigen Katalysator ausgeführter Versuch erwähnenswert. Er lieferte nämlich an flüssigen Kohlenwasserstoffen fast ausschließlich Aromaten (im Gegensatz zu den flüssigen Reaktionsprodukten, die an anderen Katalysatoren erhalten wurden, und deren Zusammensetzung im analytischen Teil dieser Arbeit eingehend behandelt wird).

Der Brechungsindex des am  $Al_2O_3-Cr_2O_3$ -Kontakt erhaltenen Gesamtproduktes lag bei  $n_D^{20} = 1,48 - 1,50$ . Abbildung 6 bringt eine Siedeanalyse der an diesem Kontakt erhaltenen flüssigen Kohlenwasserstoffe. Die Siedekurve der flüssigen Reaktionsprodukte zeigt die Haltepunkte des Benzols, Toluols, Xylols und andeutungsweise auch des Mesitylens. Die einzelnen Fraktionen hatten folgende Brechungsindizes: Fraktion bis 79°  $n_D^{20} = 1,4090$ , Fraktion 79-83°  $n_D^{20} = 1,4795$ , Fraktion 83-109°  $n_D^{20} = 1,4619$ , Fraktion 109-113°  $n_D^{20} = 1,4929$ , Fraktion 113-137°  $n_D^{20} = 1,489$ , Fraktion 137-147°  $n_D^{20} = 1,4960$ , Fraktion über 147°  $n_D^{20} = 1,4994$ .

Der verwendete Kontakt enthielt neben Aluminiumoxyd 10 % Chromoxyd. Ähnliche Ergebnisse wurden aber auch mit verschiedenen anderen Katalysatoren, beispielsweise auch auf Grundlage Aluminiumoxyd-Molybdänoxyd erhalten.

9.) Thoriumoxyd + Chromoxyd.

Es wurde auch die Kombination Thoriumoxyd-Chromoxyd untersucht. Der Kontakt wurde durch gemeinsame Fällung mit Soda aus den Nitraten und darauffolgende Trocknung bei 300° hergestellt. Es wurde bei 300 at und 450° gearbeitet. Das Anfangsgas enthielt 51,6 % Kohlenoxyd und 39,1 % Wasserstoff.



Je Nach  $\text{CO-H}_2$ -Gemisch wurden bei 69 %igem  $\text{CO}$  und 64 %igem  $\text{H}_2$ -Umsatz erhalten:

- 46,8 g flüssige Kohlenwasserstoffe
- 34,2 g iso- $\text{C}_4$ -Kohlenwasserstoffe
- 3,0 g n- $\text{C}_4$ -Kohlenwasserstoffe
- 18,3 g  $\text{C}_3$ -Kohlenwasserstoffe
- 11,2 g  $\text{C}_2$ -Kohlenwasserstoffe
- 11,9 g  $\text{C}_1$ -Kohlenwasserstoffe
- 6,8 g Alkohole in Öl
- 2,0 g Alkohole in Wasser

Im Vergleich zu chromfreien  $\text{ThO}_2$ -Katalysatoren waren die Isobutanansbeuten höher, im Vergleich zu  $\text{ThO}_2\text{-Al}_2\text{O}_3$ -Katalysatoren waren dieselben aber wesentlich niedriger. Im Vergleich zu diesem ist bei dem chromhaltigen Kontakt die Tendenz zur Bildung von flüssigen Kohlenwasserstoffen mit verhältnismäßig hohem Alkoholgehalt (12,6 %) größer.

#### 10.) Thorium + Eisen.

Wie aus dem Abschnitt II der vorliegenden Arbeit "Einiges Allgemeines über den Katalysator der Isosynthese" hervorgeht, ist Eisen als Katalysator dieser Synthese ungeeignet. Bei niedrigen Temperaturen katalysiert es die Bildung im wesentlichen geradkettiger Kohlenwasserstoffe, während es unter den Temperatur und Druckbedingungen der Isosynthese im wesentlichen eine Bildung von Methan und Kohlenstoff verursacht.

Im folgenden wurde untersucht, wie sich geringe Fe-Zusätze zum Thoriumoxyd auswirken. Thorium und Eisen wurden zu diesem Zweck gemeinsam mit Soda gefällt und im übrigen der Katalysator wie ein normaler  $\text{ThO}_2$ -Katalysator hergestellt.

Tafel 13 bringt Versuche mit  $\text{ThO}_2 + \text{O}$  bzw. 0,25 und 1,25 % Eisen. Mit von 0 auf 1,25 % steigendem Eisengehalt sinken die Ausbeuten an flüssigen Kohlenwasserstoff von 42,2 auf 18,5 g/Nach  $\text{CO} + \text{H}_2$  und diejenigen der Alkohole von

1. The first part of the document discusses the importance of maintaining accurate records of all transactions. It emphasizes that proper record-keeping is essential for ensuring the integrity and transparency of the financial system. This section also highlights the role of auditors in verifying the accuracy of these records.

2. The second part of the document focuses on the implementation of internal controls. It outlines various measures that can be taken to prevent fraud and errors, such as segregation of duties, regular reconciliations, and the use of automated systems. The document stresses that a strong internal control system is crucial for the success of any organization.

3. The third part of the document addresses the issue of financial reporting. It discusses the requirements for preparing financial statements in accordance with applicable accounting standards. It also emphasizes the importance of providing clear and concise disclosures to stakeholders, as this helps them make informed decisions about the organization's financial health.

4. The fourth part of the document discusses the role of management in ensuring compliance with financial regulations. It highlights the need for management to establish a culture of integrity and ethical behavior within the organization. Management should also ensure that all employees are aware of their responsibilities and the consequences of non-compliance.

5. The fifth part of the document discusses the importance of ongoing monitoring and evaluation of the financial system. It emphasizes that the financial system should be regularly reviewed and updated to reflect changes in the business environment and regulatory requirements. This helps to ensure that the system remains effective and efficient over time.

19,3 auf 9,6 g. Die Menge an C<sub>3</sub>- und C<sub>4</sub>-Kohlenwasserstoffen bleibt dieselbe, während die Menge an C<sub>1</sub>+C<sub>2</sub>-Kohlenwasserstoffen (in der Hauptsache Methan) von 15,3 über 20,7 auf 68,0 g ansteigt.

Auch ein kleiner Eisengehalt des Katalysators ist somit für die Umsetzungen schädlich. U.a. ist daher zweckmäßig, dafür Sorge zu tragen, daß Eisen-carbonyle, die sich bei den Temperaturbedingungen der Isosynthese an Katalysator sersetzen, nicht mit dem Synthesegas in den Kontaktraum getragen werden.

11.) Thoriumoxyd + Kupfer.

Die Wirkung von Kupfer wurde aus verschiedenen Gründen untersucht, zunächst, weil es als Material für die Auskleidung der Reaktionsrohre Verwendung fand, weiterhin, weil es bei der Kohlenwasserstoffsynthese an Eisenkatalysatoren die Aktivität dieses Katalysators günstig beeinflusst und auch bei der Methanolsynthese in der Lage ist, eine wichtige Rolle zu spielen, und schließlich, weil daran gedacht wurde, ein Kupferzusatz würde auf ungesättigte Primärprodukte hydrierend und damit stabilisierend einwirken.

Die Kupferauskleidung der Reaktionsrohre verhält sich bei der Synthese, wie bereits im Kapitel "Einiges Allgemeines über den Katalysator der Isosynthese" dargelegt wurde, inaktiv.

Versuche, bei welchen dem Thoriumoxyd 1/4 % Kupfer zugesetzt wurden und die bei 75 at und Temperaturen von 450 und 475° betrieben wurden, brachten keine wesentlich anderen Ergebnisse, wie Versuche mit kupferfreiem Katalysator. Versuche mit Katalysatoren, die Thoriumoxyd und Kupfer im Verhältnis 1:1 enthielten (30 at, 450 und 475°), brachten Kohlenwasserstoffgemische mit niedriger C-Zahl, ferner erhöhte Neigung zur Bildung von wässrigen Reaktionsprodukten und von Kohlenstoff.

12.) Thoriumoxyd + Aluminiumoxyd + Kieselgur.

ThO<sub>2</sub>-Al<sub>2</sub>O<sub>3</sub>-Katalysatoren verhielten sich, wie in dem entsprechenden Kapitel dargelegt wurde, besonders günstig. Die Wirkungsweise von Kieselgur wurde daher in Kombination mit Thoriumoxyd + Aluminiumoxyd geprüft. Die Versuche wurden

bei 300 at durchgeführt. Der Katalysator enthielt, bez. auf das angewandte Thoriumoxyd, 20 % Aluminiumoxyd und 10 % Kieselgur. Er wurde durch getrennte Fällung von Thorium und Aluminium und Einbringung des Kieselgur in das noch feuchte Gemisch der Niederschläge hergestellt. Der Kieselgur enthaltende Kontakt zeigte außerordentlich starke Neigung zur Bildung von Methan. Bei der für kieselgurfreie Katalysatoren üblichen Reaktionstemperatur von 450° konnte aus diesem Grunde nicht gearbeitet werden. Bei 425° betrug bei einem Durchsatz von 10 Liter Endgas je 38 g Thoriumoxyd der CO-Umsatz 56 %, der H<sub>2</sub>-Umsatz 57 % (Anfangsgas mit 51 % CO und 39 % H<sub>2</sub>).

Es wurden je 1 cbm CO-H<sub>2</sub>-Gemisch erhalten:

24,6 g flüssige Kohlenwasserstoffe

17,6 g iso-C<sub>4</sub>-Kohlenwasserstoffe

8,6 g n-C<sub>4</sub>-Kohlenwasserstoffe

5,4 g C<sub>3</sub>-Kohlenwasserstoffe

6,4 g C<sub>2</sub>-Kohlenwasserstoffe

42,7 g C<sub>1</sub>-Kohlenwasserstoffe

0,3 g Alkohole im Öl

3,0 g Alkohole im Wasser

Die Versuchsergebnisse zeigen neben der auch noch bei 425° besonders hohen Methanbildung, eine im Vergleich zu kieselgurfreien Katalysatoren außerordentliche Bildung von n-C<sub>4</sub>-Kohlenwasserstoffen (1/3 der Gesamt-C<sub>4</sub>-KW).

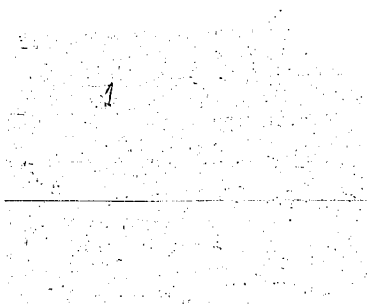
### Umsetzungen mit Dimethyläther.

Mehrfach wurde darauf hingewiesen, daß bei der Isosynthese als Nebenprodukt Dimethyläther entsteht. Bei Drucken unterhalb 300 at wurden im allgemeinen nur geringe Mengen gefunden. Bei höheren Drucken jedoch wuchs seine Menge schnell an, um unter Umständen bei 1000 at als ein Hauptprodukt der Synthese aufzutreten. Durch Temperaturerhöhung oder bei Verwendung besonders aktiver Katalysatoren konnte die Dimethylätherbildung zurückgedrängt werden. Es entstanden dann größere Mengen an Kohlenwasserstoffen.

Da die Vermutung auftrat, der Dimethyläther könnte ein Zwischenprodukt der Synthese darstellen, wurde untersucht, was für Produkte beim Überleiten von Dimethyläther über Thoriumoxyd und andere im Rahmen der Isosynthese angewandte Katalysatoren entstehen.

Zunächst wurden Dimethyläther und Stickstoff in Verhältniss 1:5 bei Atmosphärendruck und verschiedenen Temperaturen über den Thorium-Normalkatalysator geleitet. Bei 450° (Tafel 14 Versuch 1) wurden 90 % des Dimethyläthers umgesetzt, 25 % des umgesetzten Kohlenstoffs fielen als Kohlendioxyd an, 15 % als Methan, nebst geringen Mengen an Homologen desselben (C-Zahl 1,15) und 17,5 % als Methanol. Der Rest von 42,5 % wurde nicht erfaßt. Er bestand aus Kohlenstoff und Polymerisationsprodukten, die am Katalysator verblieben. iso-C<sub>4</sub>-Kohlenwasserstoffe wurden nicht gefunden.

Bei Versuch 2 der Tafel 14 wurde das Dimethyläther-Stickstoff-Gemisch wieder bei 450°, jedoch bei einem Druck von 30 at über den ThO<sub>2</sub>-Katalysator geleitet. Bei einem über 21 Std. sich erstreckenden Dauer-versuch wurden insgesamt 75 % des Dimethyläthers umgesetzt, hiervon auf Grund einer Kohlenstoffbilanz 1,9 % zu Kohlendioxyd, 45,8 % Kohlendioxyd, 9,5 % zu Methan und Homologen (C-Zahl 1,5), 3,8 % zu ungesättigten Kohlenwasserstoffen und 4,1 % zu flüssigen Kohlenwasserstoffen. Methanol entstand nicht. Die Differenz zwischen dem umgesetzten und dem das Reaktionsrohr verlassenden Produkt betrug 34,9 %. Bei einem durch 21 Std. betriebenen Versuch wurden insgesamt 300 ccm iso-C<sub>4</sub>-Kohlen-





wasserstoffe gebildet.

Eine Beobachtung des Reaktionsverlaufes nach verschiedenen Zeiten ergab, daß die katalytische Wirkung des  $\text{ThO}_2$ -Katalysators bei diesen Umsetzungen schnell nachließ. Der Dimethylätherumsatz betrug nach einer Versuchsdauer von

2 Std. ....	87 %
21 Std. ....	61 %
27 Std. ....	48 %
44 Std. ....	33 %

Die während des durch 21 Stunden durchgeführten Versuches 2 der Tafel 24 gebildeten  $300 \text{ cm}^3$  iso- $\text{C}_4$ -Kohlenwasserstoffe wurden während der ersten Versuchsstunden gebildet. Später konnte weder iso-Buten (durch Destillation) noch iso-Buten (gelber Niederschlag mit Quecksilbernitrat) nachgewiesen werden. Auch die C-Zahl der Kohlenwasserstoffe sank mit der Versuchsdauer ab.

Anders verliefen die Umsetzungen, wenn anstelle von Stickstoff-Wasserstoff als Trägergas (der Wasserstoff bzw. beiden vorhergehenden Versuchen der Stickstoff wurde beim Durchleiten durch flüssigen Dimethyläther unter Druck bei bestimmten Temperaturen mit Dimethyläther gesättigt) verwendet wurde. Hier betrug der Dimethylätherumsatz bei einem bei  $450^\circ$  und 30 at durchgeführten Versuch (Versuch 3 der Tafel 24) nach

2 Std. ....	88 %
22 Std. ....	90 %
48 Std. ....	79 %
96 Std. ....	86 %

In Gegenwart von Wasserstoff behielt somit der Thoriumkatalysator seine Wirksamkeit.

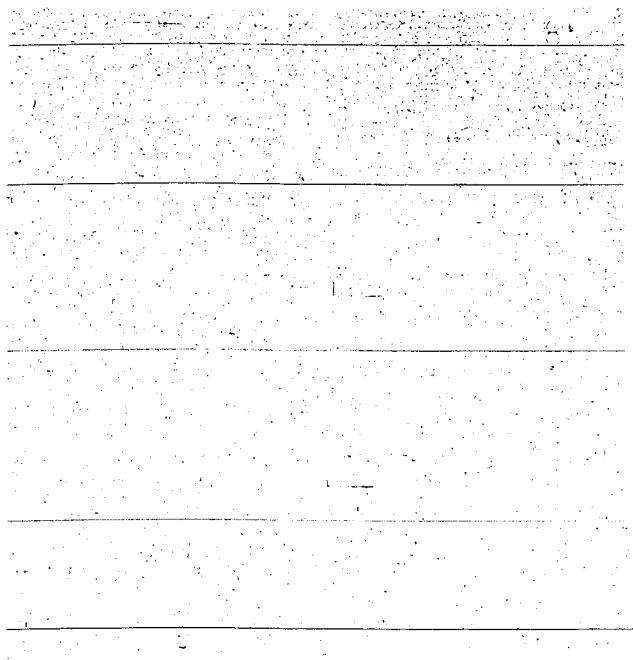
Im Durchschnitt eines während 29,5 Stunden durchgeführten quantitativen Versuches betrug der Dimethylätherumsatz  $80,4 \%$  und bei einem entsprechenden bei 150 at durchgeführten Versuch (Versuch 4) im Durchschnitt von 25 Stunden  $91,8 \%$ . Bei 30 at wurden  $11,5 \%$  des ungesetzten Kohlenstoffes zu iso- $\text{C}_4$ -Kohlenwasserstoffen umgesetzt und  $33 \%$  zu flüssigen Kohlenwasserstoffen, bei 150 at  $24,4 \%$  zu iso- $\text{C}_4$ -Kohlen-

wasserstoffen und 17,5 % zu flüssigen Kohlenwasserstoffen. Der sogen. Verlust (C-Bildung) betrug bei diesen Versuchen nurmehr 4,8 bzw. 5,3 %. Die Menge der anfallenden iso-Kohlenwasserstoffe blieb bei diesen Versuchen während der ganzen Versuchsdauer konstant.

Ähnlich wie die Versuche mit Kohlenoxyd und Wasserstoff als Ausgangsstoffe wurden auch die Umsetzungen von Dimethyläther und Wasserstoff an verschiedenen Katalysatoren untersucht. Die Ergebnisse waren ähnliche. An Zirkonoxyd wurden bei 150 at und 450° 19,3 % des Dimethyläthers zu iso-C<sub>4</sub>-Kohlenwasserstoffen umgesetzt, an Ceroxyd 6,5 %, während beispielsweise Zinkoxyd oder Aluminiumoxyd keine iso-C<sub>4</sub>-Kohlenwasserstoffe lieferten.

Wurde anstelle von Dimethyläther Äthyläther in Gemisch mit Wasserstoff über einen ThO<sub>2</sub>-Katalysator umgesetzt (Versuch 5), dann entstanden O<sub>2</sub>-, O<sub>3</sub>- und auch flüssige Kohlenwasserstoffe, aber weder iso-Butan noch iso-Buten.

Während somit Dimethyläther in Gegenwart eines Überschusses an Wasserstoff bei der katalytischen Zersetzung unter Druck zu Produkten umgesetzt wurde, die auch im Rahmen der Isosynthese erhalten worden sind, ist dies bei der Zersetzung des Äthyläthers nicht der Fall.



der  $C_2-C_3$ -Fraktionen durchgeführt. Die hierbei anfallenden Mengen an  $iso-C_2$ -Kohlenwasserstoffen sind im experimentellen Teil stets insgesamt  $CO_2$ -basisch angeführt.

Die flüssigen Kohlenwasserstoffe wie auch das Reaktionswasser wurden bei jeder Ausbeutebestimmung auf ihren Gehalt an sauerstoffhaltigen organischen Verbindungen untersucht; da es sich bei den bisherigen Versuchen gezeigt hat, daß bei bezüglich der  $CO_2$ -Reaktion günstiger Zusammensetzung des Gases die Zusammensetzung der flüssigen Kohlenwasserstoffe nicht einem breiten Bereich schwankt, konnte darauf verzichtet werden in dem einzelnen Fall Feindestillationen der flüssigen Kohlenwasserstoffe. Bestimmungen wurden jeweils bei besonders charakteristischen Versuchen angeführt. Diese mußten dann zur Berechnung der notwendigen Mengen an flüssigen Reaktionsprodukt in dem vergrößerten Maßstab durchgeführt werden. Die Zusammensetzung der flüssigen Reaktionsprodukte wird im vorliegenden Abschnitt an Hand einiger Beispiele besprochen.

## 1. Allgemeines

### 1.1) Gasanalyse.

Die einzelnen Gase wurden nicht im Orsatapparat, sondern mit getrennten Pipetten bestimmt. War kein Dimethyläther vorhanden, dann wurde nach Herausnahme der Kohlensäure die sog. schweren Kohlenwasserstoffe in allgemeinen mit rauchender Schwefelsäure entfernt. Diese Methode bringt, wenn stets gleiche Reaktionsbedingungen, insbesondere gleiche Einwirkungszeiten angewandt wurden, brauchbare Vergleichswerte, wobei man die Tatsache in Kauf nimmt, dass nicht nur ungesättigte oder aromatische Kohlenwasserstoffe aus den Gasen entfernt werden, sondern das bei Anwesenheit verzweigter Kohlenwasserstoffe auch beispielsweise Alkylierungsreaktionen stattfinden. Sollten die Gasanalysewerte irgendwelchen Berechnungen zugrunde gelegt werden, dann wurden die Gasoline mit Gaschilbernitratlösung, u.U. nach vorheriger Entfernung des Isobutans mit 64%iger Schwefelsäure, bestimmt. Sauerstoff und Kohlendioxid wurden in üblicher Weise mit Pyrogallolösung bzw. mit ammoniakalischer Kupferchloridlösung aus den Gasen entfernt. Der Wasserstoff wurde über Kupferoxyd (als Sauerstoffspender) bei 250° verbrannt, die Kohlenwasserstoffe in einem zweiten Ofen in Gemisch mit Sauerstoff bei heller Rotglut über Kupferoxyd-Kiesstein als Katalysator. Aus Kontraktionen bei der Verbrennung und entstandener Kohlensäuremengen wurden die Menge der gesättigten Kohlenwasserstoffe und ihre durchschnittliche C-Zahl bestimmt. Der Stickstoff entspricht den Restgas nach völliger Entfernung des von der Verbrennung herrührenden Sauerstoffs. Für die Bestimmung der bei der Synthese eingetretenen Kontraktionen der Gase wurden stets von Anfangs- und Endgas noch besondere Stickstoffbestimmungen durchgeführt, bei denen nach Entfernung der Kohlensäure das Gas mit Sauerstoff verbrannt wurde. Für die Bilanzen, für deren Aufstellung genaue Kontraktionswerte unerlässlich sind, wurden die Ergebnisse dieser "Stickstoffbestimmungen" zugrunde gelegt und die Gesamtanalysen auf diese Stickstoffwerte umgerechnet.

### 2.1) Bestimmung des Dimethyläthers.

Bei einer Reihe von Versuchen enthielt das Endgas Dimethyläther (N<sub>2</sub> - 24,5°). Dieser geht bei der Gasanalyse, wenn keine besondere Maßnahmen ergriffen werden, zum Teil in die Kalilauge, zum Teil in die Schwefelsäure und täuscht hier falsche CO<sub>2</sub>-

und s.KV-werte vor. Dimethyläther ist verhältnismässig leicht löslich in Wasser (1 Liter H<sub>2</sub>O löst in einer Dimethylätheratmosphäre bei 18° 57 Liter Äther), wenn aber nur wenig Dimethyläther in Gas ist, dann stellt sich zwischen Gasphase und Lösung ein Gleichgewicht ein, das dazu führt, das die für die Absorption benutzten und mit Wasser oder gesättigter Kochsalzlösung gefüllten Pipetten zur Erreichung der nötigen Genauigkeit immer frisch gefüllt werden müssen. wesentlich besser nimmt konz. H<sub>2</sub>SO<sub>4</sub> den Äther auf<sup>15</sup>) (das 600-fache ihres Volums), ihre Verwendung scheidet jedoch aus, wenn gleichzeitig Chlorine und versawigte Kohlenwasserstoffe bestimmt werden müssen.

Es wurde folgendermassen verfahren: Wenn grössere Mengen an Dimethyläther vorhanden, dann wurde das Kohlendioxyd unter Verwendung von Quecksilber als Sperrflüssigkeit mit Hilfe von Natronkalk aus dem Gas entfernt und hierauf der Dimethyläther in Pipetten, die mit Kochsalzlösung gefüllt waren, gefüllt. Diese Dimethyläthermengen (einige Tenthel Vol. und weniger) wurden ersetzt, dann geschah dies getrennt von der gewöhnlichen Analyse. Die getrennte Dimethylätherbestimmung geschah folgendermassen: Eine grössere Menge wurde direkt in einem Reaktionsgefäss durch das mit konz. Schwefelsäure gefüllte Messgefäss und gasförmig durch ein mit konz. Schwefelsäure gefülltes Rohr in ein mit konz. Schwefelsäure gefülltes Messgefäss geleitet, das mit konz. Schwefelsäure gefüllt war. Die Kohlendioxydmenge wurde durch die Schwefelsäure mit einer weissen Trübung (Schwefelkohlenstoff) bestimmt (siehe Methode S. 127). Die verbleibende Kohlendioxydmenge wurde durch die Schwefelsäure bestimmt.

Eine dritte Methode, die in Zusammenhang mit Ausbeutebestimmungen angewandt wurde, bestand darin, daß der Dimethyläther gemeinsam mit den Gasalkohlenwasserstoffen hinter dem Synthesofen, nach Herausnahme des Kohlendioxyds mit Natronkalk, ausgefroren wurde, und aus den Vorlagen bei dem darauf folgenden Verdampfen unter Verzicht auf die Zwischenschaltung eines Gasometers über einen Natronkalkturm, zur Entfernung der letzten  $\text{CO}_2$ -Mengen, direkt in das Destillierkübchen der Tieftemperaturkolonne einkondensiert wurde. Bei der darauf folgenden Feindestillation wurden die Dimethyläther enthaltenden Fraktionen in evakuierten, geeichten und mit Manometern versehenen Kolben aufgefangen. Zur Kontrolle wurde der Dimethyläthergehalt der einzelnen Fraktionen noch gasanalytisch durch Absorption mit Kochsalzlösung bestimmt. Der größte Teil des Dimethyläthers ging in der Nähe seines Siedepunktes über und wurde in einer zwischen  $\text{C}_3$  und Isobutan liegenden Zwischenfraktion aufgefangen.

3.) Untersuchung des Gasols.

Für die Untersuchung der als "Gasol" bezeichneten  $\text{C}_3$ - $\text{C}_4$ -K-Fraktionen wurden bei jeder Ausbeutebestimmung 2-20 Liter der von der Kondensation in den Druckvorlagen (siehe Versuchsanordnung) stammenden und der aus den aktiven Kohlen durch "Abblasen" erhaltenen Kohlenwasserstoffe (nach Entfernung von etwa vorhandener Kohlensäure mit Kalilauge und von Wasserdampf mit Chlorcalcium) in das mit Kohlensäure-Aceton gekühlte und gewogene Kübchen einer Tieftemperaturkolonne einkondensiert. Um die letzten Reste überdestillieren zu können, wurde etwas n-Pentan zugesetzt. Die Kolonne 16) bestand aus einer 1 m langen Glasspirale (6 m Rohrlänge) mit gut versilbertem und evakuierten Isoliermantelraum. Die Destillationsgeschwindigkeit betrug im allgemeinen 25 cm Gas je Minute und während des Übergangs von einem Haltepunkt zum anderen die Hälfte. Die Fraktion bis  $-27^\circ$  wurde als  $\text{C}_3$ -Fraktion bezeichnet ( $\text{C}_1$ - und  $\text{C}_2$ -Kohlenwasserstoffe verließen beim Einkondensieren und Aufheizen als "Vorlauf" den Kopf der Kolonne und wurden durch normale Gasanalyse und C-Zahlbestimmung untersucht). Die Fraktion  $-27$  bis  $-7^\circ$  ist die Isobutan-Fraktion, die Fraktionen  $-7$  bis  $+10^\circ$  die Rest- $\text{C}_4$ -Fraktion. Von den drei Fraktionen wurden die C-Zahl und der Gehalt an ungesättigten Bestandteilen bestimmt. Letzteres geschah in der  $\text{C}_3$ -Fraktion mit  $\text{Hg}$ -Nitrat-Lösung 17); während in der Isobutan-

Fraktion und in der Rest- $C_4$ -Fraktion zunächst das iso-Buten mit 64%iger Schwefelsäure und der Rest der Olefine mit Hg-Nitrat bestimmt wurden. Charakteristisch für den qualitativen Nachweis von iso-Buten ist bekanntlich auch der bei der Umsetzung mit Hg-Nitrat entstehende gelbe Niederschlag.

Nach der Destillation wurde das Kölbchen zurückgewogen. Es enthielt ausser dem zugesetzten n-Pentan  $C_5$ -Kohlenwasserstoffe des Reaktionsproduktes, die besonders bestimmt wurden.

#### 4.) Destillation der flüssigen Kohlenwasserstoffe.

Die wegen des meist hohen Isopentangehalts stets in Kühlschränken aufbewahrten flüssigen Kohlenwasserstoffe wurden zunächst an einer grösseren Füllkörperkolonne mit evakuiertem Isoliermantel durch Destillation bis  $20^{\circ}C$  vom gelösten Gasol befreit. Für die Feindestillation wurde von dem stabilisierten Produkt eine Teilprobe von meist einigen Litern in einem Drehautoklav in Gegenwart eines vorher reduzierten Ni-Fällungskatalysators bei  $H_2$ -Druck von 500 at und Temperaturen von  $100-150^{\circ}$  hydriert. Hierbei wurde auf eine Identifizierung der einzelnen ungesättigten Kohlenwasserstoffe zugunsten einer besseren Trennwirkung verzichtet. Anschliessend wurde das gesättigte Produkt, falls noch wasserlösliche Alkohole anwesend waren, mehrmals mit Eiswasser und in manchen Fällen zur Entfernung der restlichen Alkohole auch mit konz. Salzsäure gewaschen, dann mit Chlorcalcium und schliesslich mit Natrium getrocknet.

Für die Destillation der flüssigen Produkte standen in allgemeinen drei Kolonnen zur Verfügung:

a.) Eine Füllkörperkolonne aus Glas mit evakuiertem und versilbertem Isoliermantel und einer lichten Seite des Füllkörperrohres von 35 mm und einer Länge desselben von 1,6 m. Das Verhältnis von Rücklauf zur Abnahme betrug etwa 40:1, bei einer Abnahme von einem Tropfen je 2 Sekunden. Die Kolonne wurde für Einsätze von 2 bis 5 Ltr. verwendet.

X Wurden nach der Hydrierung die flüssigen Kohlenwasserstoffe unter Wasserstoffdruck erkalten gelassen, dann wurde die Beobachtung gemacht, dass die flüssigen Produkte stets kleine Mengen an Nickelcarbonyl gelöst enthalten, die nur sehr schwer quantitativ abzutrennen sind und die beispielsweise bei der Untersuchung der Klopffestigkeit des Benzins störend wirken können. Kleinste Mengen von im technischen Wasserstoff vorhandenen Kohlenoxyd waren der Anlass zu der Bildung des Carbonyls. Die konnte vermieden werden, wenn man den Wasserstoff nach beendeter Hydrierung bei etwa  $100^{\circ}$  durch entsprechende Kühlvorlagen abströmen und das flüssige Produkt ohne Wasserstoffdruck erkalten liess.

5) Eine Kolonne mit einem 30 cm langen rotierenden Band, wie sie bereits von Koch, Hilberath und Veinrotter<sup>18)</sup> beschrieben worden ist. Hier betrug der Einsatz an flüssigen Kohlenwasserstoffen 10 bis 50 ccm. Diese Kolonne wurde in allgemeinen für eine zweite Fraktionierung von Teilfraktionen größerer Destillationen verwendet.

6) Eine Kolonne wie unter 2., nur mit einem 1 m langen rotierenden Band. Die Trennwirkung betrug bei fast vollständigem Rücklauf 36 theoretische Böden. Hier wurde alle 40 Sekunden ein Tropfen abgenommen bei einem Rücklaufverhältnis von 40:1. Der Einsatz betrug 30 - 500 ccm.

### 5.) Bestimmung der ungesättigten flüssigen Kohlenwasserstoffe.

Die Erzeugnisse der Icosynthese enthielten je nach den Synthesbedingungen weniger als 10 bis mehr als 60 % ungesättigte Bestandteile. Für ihren Nachweis wurden vom Gesamtprodukt wie auch von einzelnen Fraktionen, für deren Herstellung besondere Feindestillationen nicht hydrierter Produkte durchgeführt wurden, die Jodzahlen bestimmt. Als Bestimmungsmethode wurde die Jodzahlmethode von Kaufmann und Grosse-Oettinghaus<sup>19)</sup> angewandt. Sie hat sich wie Koch und Hilberath<sup>20)</sup> bei vergleichenden Untersuchungen feststellen lassen, wegen ihrer geringen Neigung zu Substitutionsfehlern bei verzweigten Kohlenwasserstoffen besonders im Rahmen der Untersuchung von Mineralölprodukten bewährt.

### 6.) Bestimmung der Aromaten.

Für die Bestimmung der Aromaten wurde von einer Verwendung von Schwefelsäure abgesehen, um Fehler, die durch Alkylierungs- und andere Reaktionen auftreten, zu vermeiden.

Der Aromatengehalt wurde nach v. Grosse und Vecker<sup>21)</sup> bestimmt. Die Methode beruht auf der Tatsache, daß die spez. Dispersion  $n_D^{20}/d$  10000 bei Aromaten 190 und bei Naphthenen und Paraffinen im Benzolbereich unabhängig von ihrer Konstitution rund 99 beträgt. Der Oligingehalt muß berücksichtigt werden. Es ergibt sich die folgende Beziehung:

$$\text{Gew. Arom.} = \frac{\Delta \text{Brechzahl} - (e \cdot 16 \cdot \text{Brechzahl}) - 99 \cdot 100}{\Delta \text{Brechzahl} - 99}$$

$$\Delta \text{Arom.} = 99$$

Hierbei bedeutet  $\Delta$  Gemisch die oben gekennzeichnete Dispersion des untersuchten Gemisches und  $\Delta$  Aromaten die Dispersion des im Rahmen der untersuchten Fraktion in Frage kommenden aromatischen Kohlenwasserstoffes.

Für die Untersuchung auf Aromaten wurde das Rohprodukt der Isosynthese mit Hilfe einer Glasspiralkolonne 21a) (Länge der Spirale 1 m, des Rohres 6 m) folgendermassen zerlegt:

1. bis 65°,
2. 65 - 95° (Benzolfraktion),
3. 95 - 125° (Toluolfraktion),
4. 125 - 150° (Xylolfraktion),
5. 150 - 175° (C<sub>9</sub>-C<sub>10</sub>) und
6. 175 - 200° (C<sub>10</sub>-C<sub>11</sub>).

Die zugehörigen  $\Delta$  Aromatenwerte sind bekannt und liegen zwischen 190,2 bei Benzol und 171 bei der C<sub>10</sub>-C<sub>11</sub>-Fraktion. Die Dispersionen der einzelnen Fraktionen wurden mit dem Abbrekfraktometer bestimmt.

Bei einzelnen Versuchen (siehe exp. Teil: Al<sub>2</sub>O<sub>3</sub>-Cr<sub>2</sub>O<sub>3</sub>-Katalysator, 500°) bestanden die gebildeten flüssigen Kohlenwasserstoffe in der Hauptsache aus Aromaten. In diesen Fällen konnten die in dem Benzolbereich siedenden Anteile durch Destillation getrennt und direkt identifiziert werden.

Ein in relativ grösseren Mengen vorkommender aromatischer Kohlenwasserstoff war bei zahlreichen Versuchen das bei 165° siedende Hexamethylbenzol. Es wurde durch Umkristallisieren aus Benzol bzw. Alkohol in reiner Form gewonnen, und durch

### B. Bestimmung von Säuren, Estern, Alkoholen, Aldehyden, Ketonen und Phenolen:

Säuren und Ester waren unter den Produkten der Isosynthese nur in sehr geringen Mengen nachzuweisen. Alkohole und zwar Methanol und Isobutylalkohol traten u.U., wenn auch nicht unter den für die Kohlenwasserstoffbildung optimalen Bedingungen der Synthese, in grösseren Mengen auf. Phenole wurden nur in einem Fall (an einem alkalisierten Kontakt bei 500°) erhalten.

Von den Reaktionsprodukten wurden, ausser in üblicher Weise Säure- und Estersuchen bestimmt. Die Untersuchung auf Alkohole geschah durch Bestimmung der Acetylierungszahl<sup>22)</sup>, unter Zugrundelegung eines erfahrungsgemäss angenommenen mittleren Molekulargewichtes der Alkohole. Quantitative Bestimmungen der Zusammensetzung der Alkohole erfolgten durch Extraktion der infrage kommenden wasserlöslichen Alkohole und Feinfraktionierung der wässrigen Lösungen in einer speziellen Kolonne mit rotierendem Band, nach Anreicherung der unter 100° siedenden Anteile durch Verdampfung. Die Kolonne unterschied sich von der auf S. 59 unter 2. beschriebenen durch den Kopf, der es gestattete, das azeotrope Gemisch, das nach dem Kondensieren zwei Phasen bildet, in gleichem Verhältnis abzunehmen wie es dampfartig vorhanden war. In gleicher Weise wurden auch die in Reaktionswasser enthaltenen Alkohole bestimmt. (Isobutylalkohol lieferte ein Wasser als binares azeotropes Gemisch bei 91,9°).

Auf die Anwesenheit von Aldehyden wurden mit ammoniakalischer Silberlösung geprüft. Die Reaktion war nur bei Verweilen bei einem gleichzeitige grösseren Mengen an Alkoholen aufzutreten, gewiss, von dem Ketonen war das Aceton in geringen Mengen vorhanden. Es wurde als Methylhydrat durch Fällung mit einer ammoniakalischen Lösung von  $\gamma$ -Nitrophenylhydrantin in 10%iger Lösung gefällt, der Niederschlag an einem Glas in verdünnter Ammoniak-Lösung mit destilliertem Wasser gewaschen und bei 100° getrocknet und abgewogen.

Die bei einem Versuch erhaltenen Phenole wurden durch Schmelzen mit Natriumhydroxid im geschlossenen Koch Gefässen an einem mit Wasserstoff gefüllten

### 9.) Bestimmung der Klopfintensität des Benzins.

Für die Bestimmung der Oktanzahlen nach der Motor-Methode wurde der I. G.-Prüfmotor<sup>25)</sup> verwendet.

### 10.) Untersuchung hochsiedender Ölfraktionen auf ihr Verhalten als Schmierstoffe.

In manchen Fällen enthielten die flüssigen Reaktionsprodukte auch kleine Mengen an viskosen Ölen. Sie wurden, nach Abtrennung der leichter siedenden Anteile durch Vacuumdestillation, im Vogel-Ossag-Viskosimeter bei 20 und 50° untersucht.

### II. S p e s i e l l e s.

An Hand eines in vergrößertem Laboratoriummaßstab durchgeführten Versuches werden die analytische Untersuchung des Reaktionsproduktes, insbesondere der flüssigen Erzeugnisse behandelt und die Ergebnisse mit jenen von unter anderen Bedingungen durchgeführten Versuchen verglichen und schließlich Fragen der Anarbeitung des Syntheseproduktes unter Berücksichtigung ihrer motorischen Eigenschaften besprochen.

#### 1.) Ein Versuchsversuch.

Als Beispiel wird ein Versuch gebracht, der mit einem  $\text{ThO}_2\text{-Al}_2\text{O}_3$ -Katalysator bei 300° und verschiedenen Temperaturen durchgeführt wurde. Der Katalysator enthielt 20% Aluminiumoxyd bez. auf Thoriumpyridat er wurde entsprechend dem in Tafel 15 des "Experimentellen Teiles" gebrachten Versuchen durch getrennte Fällung von Thorium und Aluminium hergestellt. Es wurden 684 g Kontakt in einem Reaktionsrohr mit 165 cm Schichtlänge verwendet und mit einer Ladungsmenge von 205 Litera je Stunde gearbeitet.

Tafel 25 und Abb. 7 bringen ein Bild des Versuchsverlaufes und zwar sind in der Tafel neben Temperaturen und Kontraktionswerten eine Reihe von Anfangs- und Endgasanalysen zusammengestellt, während die Abbildung den Versuchsverlauf mit der Zeit an Hand von Kontraktionswerten graphisch wieder gibt.

Es wurde zunächst bei einer Temperatur von 425° gearbeitet, die in dem das Reaktionsrohr umgebenden Aluminiumblock gemessen wurde. (Diese Temperatur entsprach bei den Kleinversuchen des "Experimentellen Teiles" wegen der unterschiedlichen Verhältnisse bezgl. der Abführung der Reaktionswärme einer Tem-

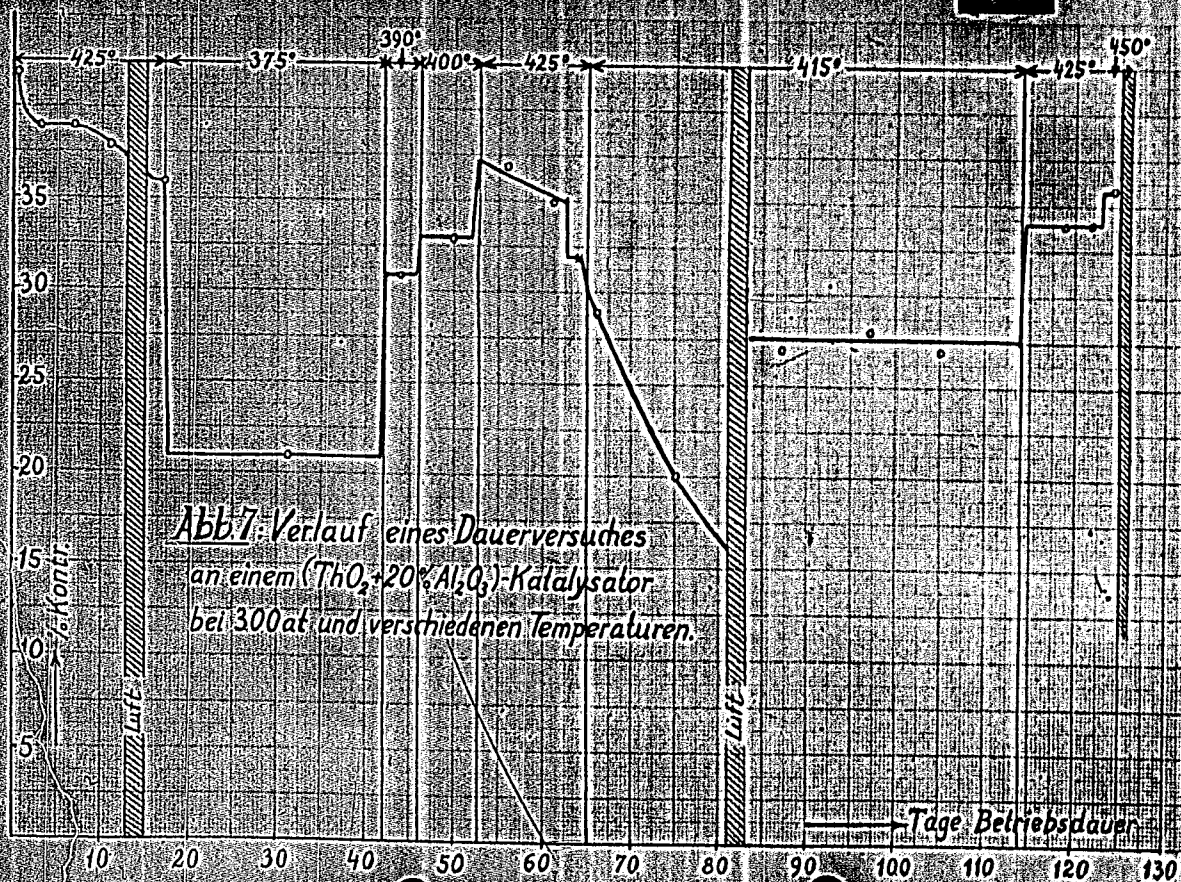


Abb. 7: Verlauf eines Dauerversuches an einem  $(\text{ThO}_2 + 20\% \text{Al}_2\text{O}_3)$ -Katalysator bei 300at und verschiedenen Temperaturen.

peratur von  $450 - 475^{\circ}$ ). Die erste Versuchsperiode dauerte 15 Tage. Sie ist gekennzeichnet durch eine hohe Aktivität des Katalysators. Die Kontraktionen lagen zwischen 42 und 38 %, die entsprechenden CO-Umsätze betragen 82 - 70 % und die  $H_2$ -Umsätze 74 bis 65 %. In dieser Periode wurden verhältnismäßig viel gasförmige Kohlenwasserstoffe gebildet. Die Analysen zeigten 5,0 bis 3,8 % s.K.V. und 7,2 bis 5,8 % gesättigte Kohlenwasserstoffe mit C-Zahlen, die zwischen 1,6 und 1,9 liegen. Die gesamten flüssigen Reaktionsprodukte wurden erfasst und zur näheren Untersuchung einer Feindestillation (siehe Abschnitt "Anarbeitung der flüssigen Reaktionsprodukte") unterworfen. Am 3. Betriebstag wurde eine quantitative Ausbeutebestimmung durchgeführt. Sie ergab 69 g iso-C<sub>7</sub>-K.V. (siehe Abschnitt "Anarbeitung des Gasols"), 20 g flüssige Kohlenwasserstoffe neben 17 g Restgasol und 2,5 g in Reaktionswasser gelöste Alkohole (kein Dimethyläther) je Norm angewandtes CO-H<sub>2</sub>-Gemisch.

Am 14. Betriebstag wurde, da ein Ansteigen des Widerstandes, den der Kontakt dem durchströmenden Gas bot, festgestellt wurde, eine Luftbehandlung eingeschaltet. Diese wurde durch 24 Stunden mit 100 Liter Luft je Stunde bei der Synthesetemperatur von  $425^{\circ}$  (bis zum Verschwinden von  $CO_2$  in der dem Reaktionsraum verlassenden Luft) durchgeführt. Nach der Behandlung war der beobachtete Widerstand beseitigt. Es wurde zunächst noch bei  $425^{\circ}$  gearbeitet. Der Kohlenoxydumsatz war ungerader der gleiche wie vor der Luftbehandlung (76 %) die Neigung zur Bildung niedrigmolekularer gasförmiger Kohlenwasserstoffe war aber beträchtlich zurückgegangen und entsprach nunmehr der U<sub>2</sub>-Lehrzahl von 65 bis 70 %.

Am Abend des 17. Tages wurde die Temperatur auf  $375^{\circ}$  gesenkt, um auch bei dieser Temperatur einen Kohlenoxydumsatz von 70 % zu erzielen. Die Kohlenoxydumsätze von 70 bis 65 % wurden bei dieser Temperatur erzielt. Die Kontraktionen lagen zwischen 42 und 38 %, die entsprechenden CO-Umsätze betragen 82 - 70 % und die  $H_2$ -Umsätze 74 bis 65 %.



114. Tag beibehalten, dann wurde sie auf  $425^{\circ}$  erhitzt. Am 122. Tag wurde wieder eine Anabertebestimmung durchgeführt. Sie ergab bei 51,41 g  $\text{CO}$ - und 48,41 g  $\text{H}_2$ -Umsatz je Mol an-gewandtes  $\text{CO-H}_2$ -Gemisch 20,3 g flüssige Kohlenwasserstoffe, 37,1 g  $\text{iso-C}_4$ -KW, 4,7 g  $\text{n-C}_4$ , 5,2 g  $\text{C}_5$ , 2,9 g  $\text{O}_2$ -KW, 19,5 g Methan, 5,6 g Dimethyläther, 8,6 g Alkohole in Reaktions-wasser und 0,2 g Alkohole in Öl.

Die in den folgenden Abschnitten durchgeführte Bespre-  
chung der Untersuchung des Gasols und der flüssigen Kohlen-  
wasserstoffe bezieht sich auf die bei  $425^{\circ}$  während der ersten  
15 Betriebstage erhaltenen Produkte (Vers. 250 a) und die vom  
16. bis 42. Tag bei  $375^{\circ}$  erhaltenen Produkte. Abbildung 8  
bringt für diese beiden Versuchsabschnitte Gesamtbilanzen  
(bes. auf angewandtes  $\text{CO-H}_2$ -Gemisch und einmalige Umsetzung  
des Synthesegases).

## 2.) Aufarbeitung des Gasols.

Als Beispiele für die Gasoluntersuchung werden im fol-  
genden zwei Tieftemperaturdestillationen gebracht, und zwar  
eine, die am 3. Betriebstag des im vorhergehenden Abschnitt  
besprochenen Dauerversuches (Synthesetemperatur  $425^{\circ}$ ) und eine  
die am 31. Betriebstag (Synthesetemperatur  $375^{\circ}$ ) durchgeführt  
wurde.

### Gasolbestimmung 1 (Tieftemperaturdest. Abb. 9)

Synthesedruck: 300 at  
Synthesetemp.:  $425^{\circ}$   
Betriebstage: 3

angewandte Synthesegasmenge: 633 Ltr.  
Gesamtanläge: 386 "

Endgas hinter A-Kohle  
+ Vorlauf d. Destillation enthalten: 14100 ccm  $\text{CH}_4$   
400 ccm  $\text{C}_2\text{H}_6$   
2380 ccm  $\text{C}_2\text{H}_4$

Ein-kondensiert wurden: 17610 ccm

hiervon:  $\text{C}_3$ -Fraktion 1790 ccm (19,8%  $\text{C}_3\text{H}_8$  + 80,2%  $\text{C}_3\text{H}_6$ )  
 $\text{iso C}_4$ -Fraktion 14120 ccm

{1-Buten (64%ige  $\text{H}_2\text{SO}_4$ )  
10,2 %  
n-Butane ( $\text{Hg}(\text{NO}_3)_2$ )  
3,2 %

Abb. 8 Zusammensetzung von Reaktionsprodukten des Versuchs 250 in gl.  $\text{CO} - \text{H}_2$  - Gemisch.

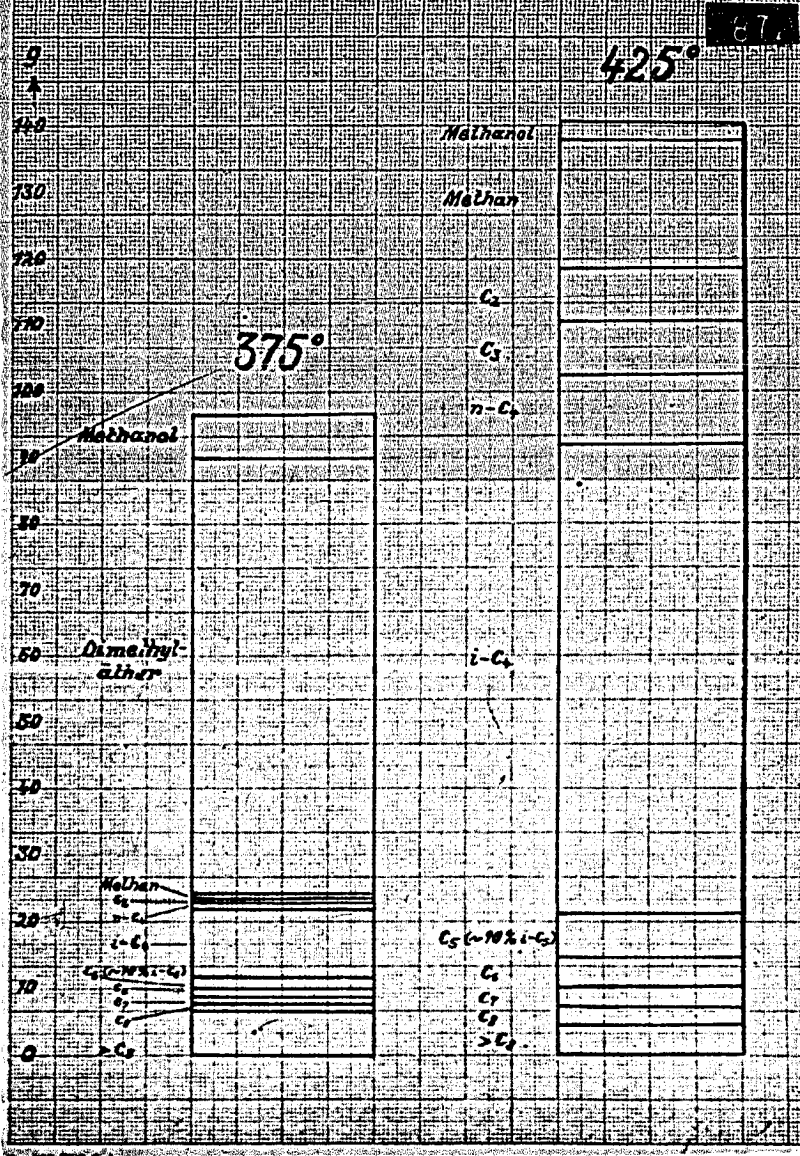
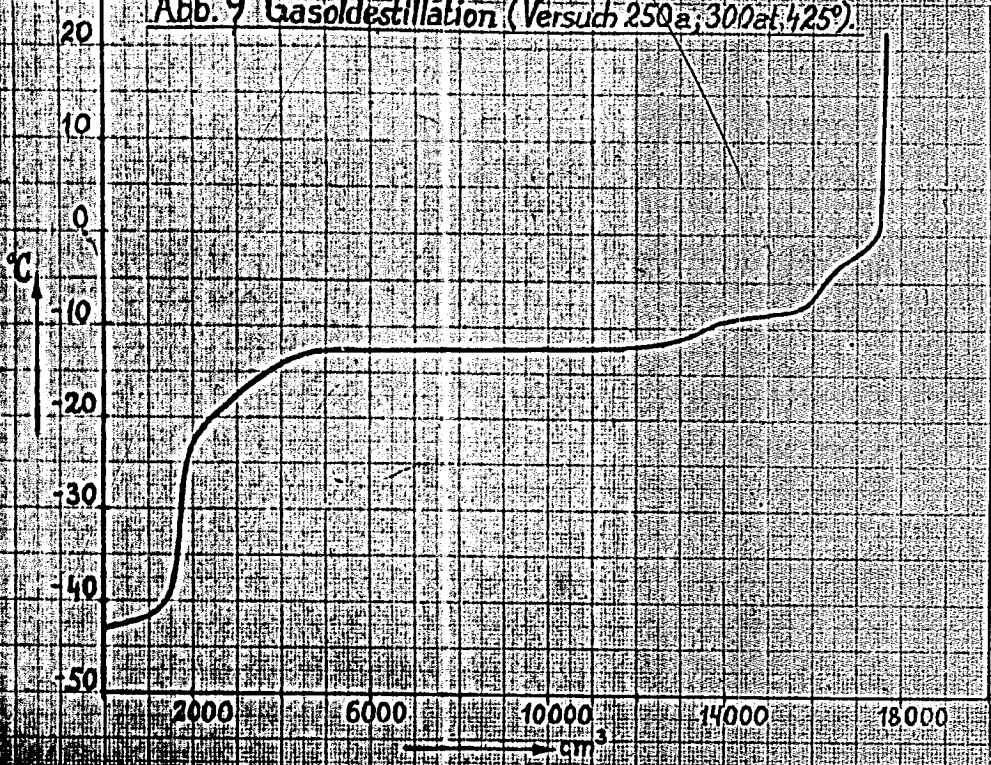


Abb. 9 Gasoldestillation (Versuch 250a, 300at, 425°)

87



1-Butan (Rest) 86,6%

Rest-C<sub>4</sub>-Fraktion 1700° com

{1-Butan (64%ige H<sub>2</sub>SO<sub>4</sub>) 10,2%

n-Butane (Hg(NO<sub>3</sub>)<sub>2</sub>) 15,6%

n-Butan (Rest) 74,2%

Es wurden somit bei der Destillation (Abb. 9) insgesamt erhalten: 0,36 Ltr. Propen, 1,5 Ltr. Propen, 1,60 Ltr. 1-Buten, 12,10 Ltr. 1-Butan, 0,71 Ltr. n-Butene und 1,41 Ltr. n-Butan.

Ungerechnet auf 1 Norm CO-H<sub>2</sub>-Gemisch wurden erhalten:

Dinethyläther	0,0 g
Methan	19,5 g
Ethylen	1,0 g
Äthan	6,2 g
Propen	1,5 g
Propen	5,5 g
1-Buten	7,8 g
1-Butan	60,7 g
n-Butene	3,5 g
n-Butan	6,7 g

Hobener wurden 20,0 g flüssige Kohlenwasserstoffe und 2,5 g Alkohole erhalten. (Die Zusammensetzung der flüssigen Kohlenwasserstoffe wird in nächstem Abschnitt behandelt).

Gesamtergebnis 2 (Tiefemperaturdest. Abb. 10)

Syntheserück: 300 g

Syntheserest: 375 g

Betriebszeit: 31

Angewandte Synthesegemenge: 517 Ltr.

Gesamtergebnis: 453 Ltr.

Das Produkt enthält 3,8 Vol.-% Dinethyläther, 2,1 Vol.-% Propen,

folgendes hinter 1 Kubikmeter Verlust der Destillation erhalten:

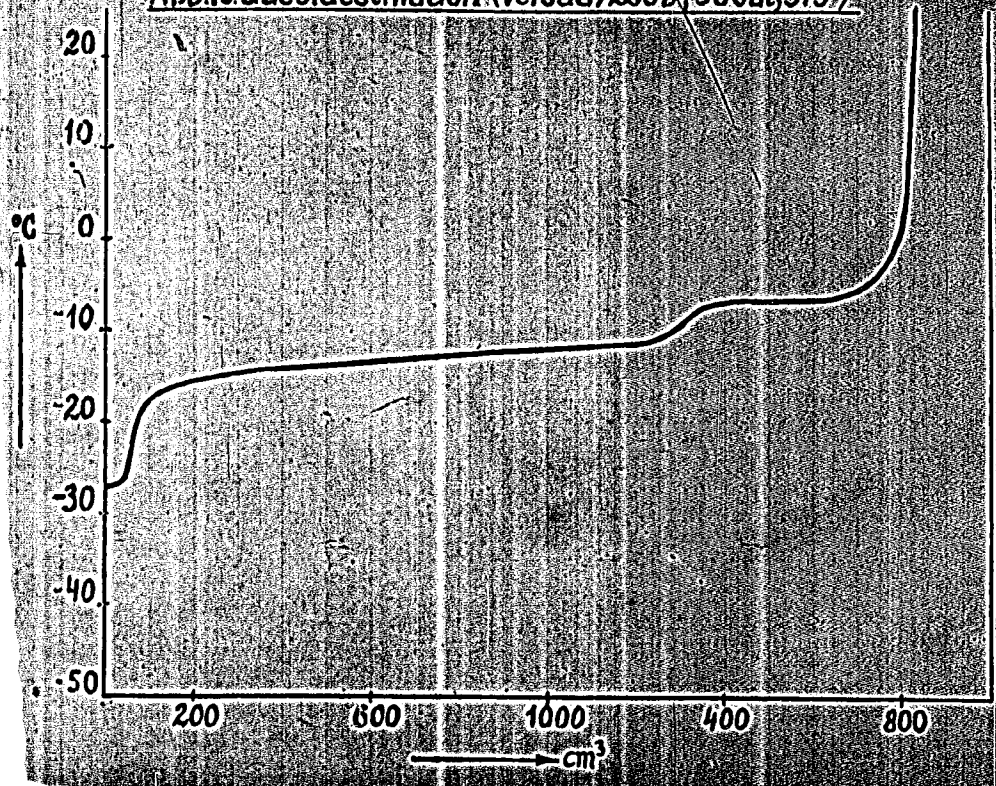
120 cm Äthan

170 cm Äthylen

70 cm Äthan

Abb. 10. Gasoldestillation (Versuch 250b, 300at, 375°)

87





Nickeldestilliert wurden (nach Auswaschen des Dimethyläthers mit konz. Kaliumalkoholnatrium-Lsg.) 1820 cem

hiervon:  $C_3$ -Fraktion 0 cem

$1-C_4$ -Fraktion 1470 cem	(1-Buten (64%ige $H_2SO_4$ ))	45,6 %
	n-Butene ( $Hg(NO_3)_2$ )	3,2 %
	1-Buten (Rest)	47,0 %

Rest- $C_4$ -Fraktion 350 cem	(1-Buten (64%ige $H_2SO_4$ ))	75,1 %
	n-Butene ( $Hg(NO_3)_2$ )	6,2 %
	n-Buten (Rest)	18,7 %

Es wurden somit bei der Destillation erhalten:

0,87 Ltr. 1-Buten, 0,75 Ltr. 1-Buten, 0,17 Ltr. n-Butene,  
0,06 Ltr. n-Buten.

Ungerechnet auf 1 Moln  $CO-H_2$ -Gemisch wurden erhalten:

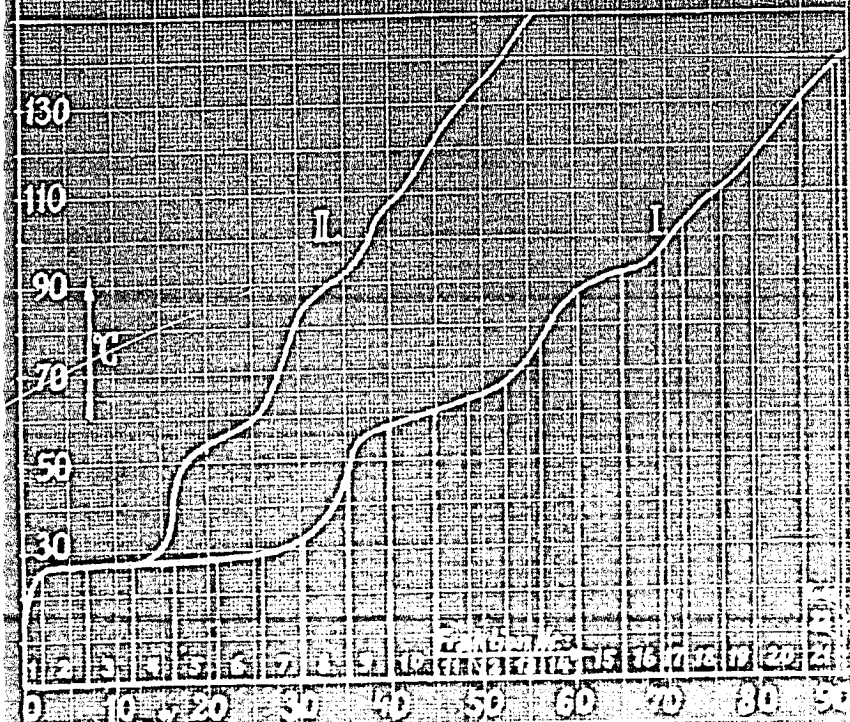
Dimethyläther	65,7 g
Ethan	0,7 g
Ethylen	0,5 g
Äthan	0,3 g
Propen	0,0 g
Propan	0,0 g
1-Buten	5,2 g
1-Buten	4,5 g
n-Butene	1,0 g
n-Buten	0,3 g

Nebenher sind auf Grund der Ausbeutebestimmung je Moln 11,6 g flüssige Kohlenwasserstoffe (deren Zusammensetzung im nächsten Abschnitt besprochen wird) und 6,7 g Alkohole entstanden.

1.) Untersuchung der flüssigen Kohlenwasserstoffe.

Die Siedekurve I der Abb. 11 bezieht sich auf das beim Versuch 23e, bei 300 ct und 425° (siehe Abb. 7) erhaltene flüssige Reaktionsprodukt. Es wurde vor der Destillation mit Wasser gewaschen, an einem Nickelkatalysator hydriert und mit Natrium getrocknet. Die Kohlenwasserstoffe wurden zunächst mit der in allgemeinen Teil beschriebenen Füllkörperkolonne in eine Reihe von Fraktionen zerlegt, deren physikalische Daten in Tafel 26 zusammengestellt sind.

Abb. 11



Kurve I Kohlenwasserstoffgehalt von 20 bis 90

Kurve II Kohlenwasserstoffgehalt von 20 bis 60

1940/1941

Die Fraktionen 1-3 (1,7176) der Siedkurve, die 3/4 der flüchtigen Kohlenwasserstoffe, bestehen aus überwiegend Teil aus 2-Methylbutan (Densität  $d_4^{20} = 0,6199$ )

Die große Star-Gas-Siedkurve liegt bei 40° in einem Bereich, der sich über die Siedkurve, deren Anwesenheit in Reaktionsreaktion nachweislich ist.

1-Methylbutan (Densität  $d_4^{20} = 0,6199$ )

2-Methylbutan (Densität  $d_4^{20} = 0,6199$ )

3-Methylbutan (Densität  $d_4^{20} = 0,6199$ )

Die große Star-Gas-Siedkurve ist bei 40° in einem Bereich, der sich über die Siedkurve, deren Anwesenheit in Reaktionsreaktion nachweislich ist.

TABLE II

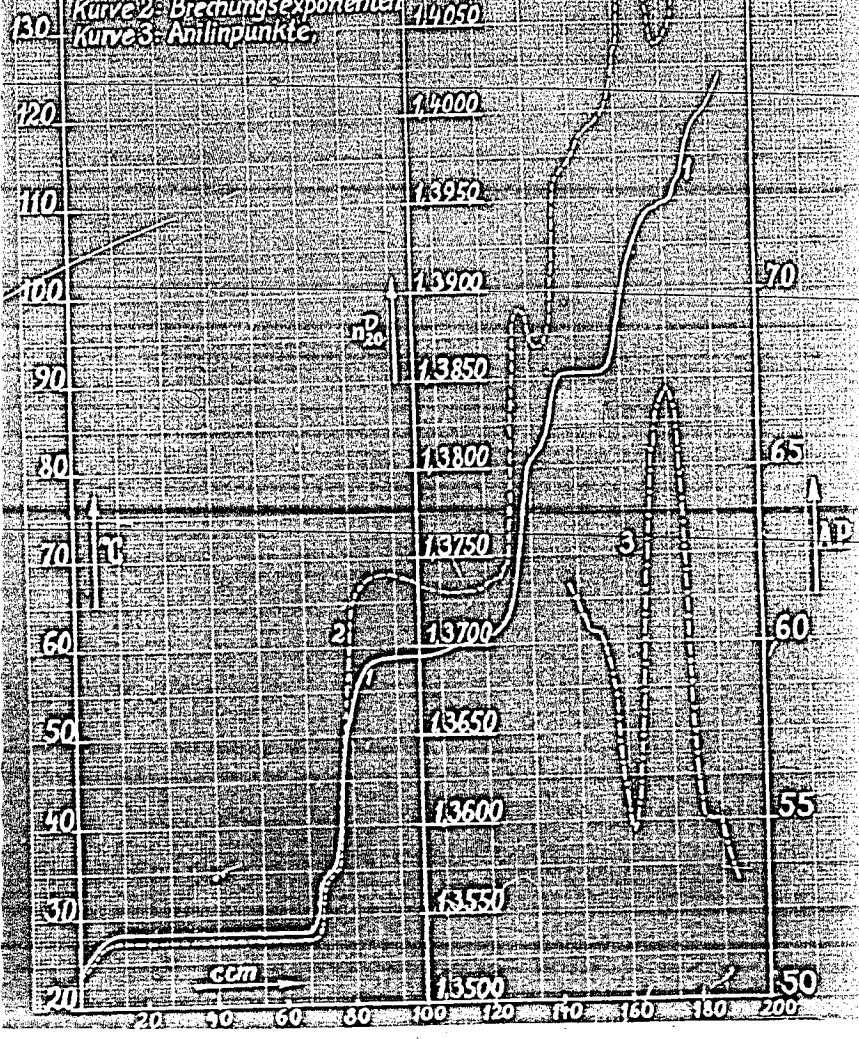
1. FRAKTIONEN

Table with multiple columns and rows, containing numerical data and chemical symbols, but the text is extremely dark and illegible.

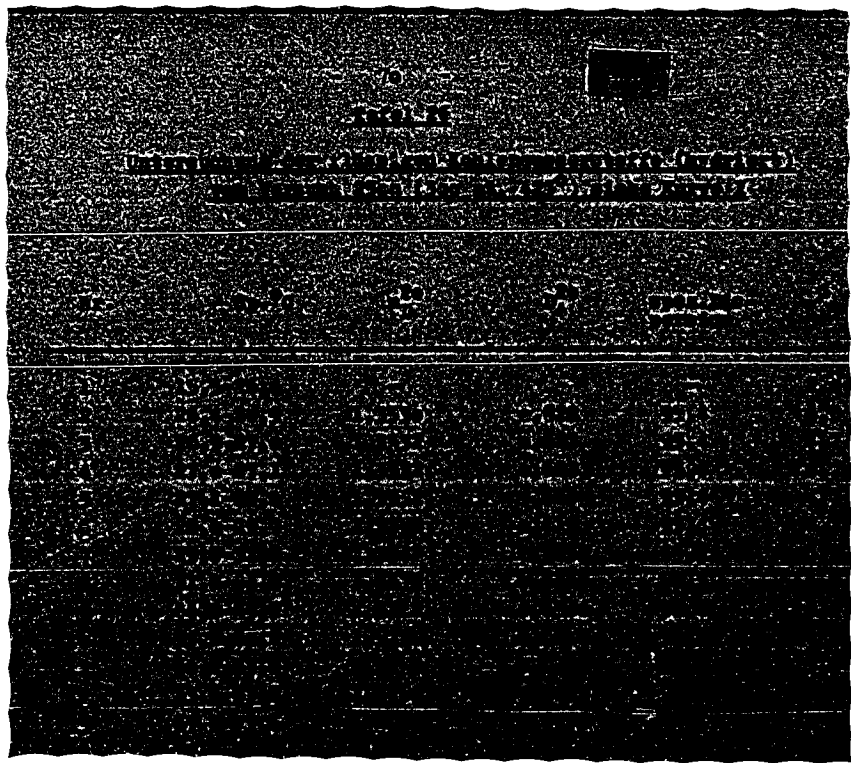
**Abb. 12. Destillation der  
flüssigen Kohlenwasser-  
stoffe von Versuch 250.**

( $C_{10}H_{20}$ , +20%  $Al_2O_3$ , 300 d + 125)

Kurve 1: Siedepunkte  
Kurve 2: Brechungsindizes  
Kurve 3: Anilinpunkte







wurde der Brechungsindex bestimmt (Anlage 2). Bei den höheren Fraktionen wurden ausserdem die Anfliegerpunkte festgestellt (Anlage 3).

Die Glycerinesterfraktion mit Abfallbestandteil 24,0 Vol-% (Fraktion 2) wurde in 2 Anteile:

0 = Glycerinesterfraktion, Ansehen für die Bildung von 2,2-Dimethylbutan (Gly = 0,7, 2,2 = 1,304, 2,2 = 0,496) sind nicht vorhanden. Die Esterfraktion als quartäres C-Alkan enthält die Fraktionen, die gebildet wird, und durch Reduktionbildung der Fraktion 2,2 mit Hilfe eines geeigneten Reduktionsmittels (z.B. Natrium) zu 2,2-Dimethylbutan (Gly = 0,7, 2,2 = 0,496) umgewandelt werden kann. (Gly = 0,7, 2,2 = 0,496) (Gly = 0,7, 2,2 = 0,496) (Gly = 0,7, 2,2 = 0,496)

Die Fraktion 2,2 (Gly = 0,7, 2,2 = 0,496) wird durch Reduktionbildung zu 2,2-Dimethylbutan (Gly = 0,7, 2,2 = 0,496) umgewandelt. Die Fraktion 2,2 (Gly = 0,7, 2,2 = 0,496) wird durch Reduktionbildung zu 2,2-Dimethylbutan (Gly = 0,7, 2,2 = 0,496) umgewandelt.

Die Fraktion 2,2 (Gly = 0,7, 2,2 = 0,496) wird durch Reduktionbildung zu 2,2-Dimethylbutan (Gly = 0,7, 2,2 = 0,496) umgewandelt.

Die Fraktion 2,2 (Gly = 0,7, 2,2 = 0,496) wird durch Reduktionbildung zu 2,2-Dimethylbutan (Gly = 0,7, 2,2 = 0,496) umgewandelt.

Die Fraktion 2,2 (Gly = 0,7, 2,2 = 0,496) wird durch Reduktionbildung zu 2,2-Dimethylbutan (Gly = 0,7, 2,2 = 0,496) umgewandelt.

Table 28

UNITED STATES DEPARTMENT OF COMMERCE - BUREAU OF MARITIME SERVICE

COAST GUARD VESSELS - 1952

(Continued from Table 27, page 77 of this report)

No.	SP. NO.	20	10	10	10	10	10
1	572-60,1	1,3724	0,6616	=	6,2	-	-
2	60,2-60,4	1,3721	0,6596	=	20,2	-	-
3	60,4-60,4	1,3750	0,6550	=	3,2	-	-
4	60,4-60,3	1,3720	0,6532	0	10,9	-	-
5	60,5-61,0	1,3720	0,6505	=	0,2	-	-
6	61,0-61,0	1,3743	0,6530	=	1,2	-	-
7	61,0-61,6	1,3762	0,6621	=	0,0	-	-
8	61,6-61,0	1,3800	0,6604	6,5	15,3	5	5
9	61,0-71,0	1,3993	0,7000	12,0	1,5	1	1
10	71,0-80,8	1,3900	0,6960	4,0	17,2	5	5
11	80,8-81,4	1,3900	0,6880	13,1	11,4	6	6
12	81,4-90,7	1,3891	0,6910	19,2	4,0	1	1
13	90,7-90,7	1,3920	-	13,2	4,0	5	5

**Zusammenfassung**

Die Kohlenwasserstoffe 73-100 sind bereits eine größere Zahl von Kohlenwasserstoffen, deren quantitative Trennung durch Destillationen Schwierigkeiten bereitet (siehe Tafel 27).

Die Kohlenwasserstoffe 73-100 sind bei 20-30 Grad Celsius flüssig und bei 10 Grad Celsius einer Halbpunkte. Diesen Halbpunkt entspricht eine Verflüchtung der Brechungsindexkurve. Die Siedepunkte liegen im Bereich von 90-100 Grad Celsius auf 35 mm.

Die Totalfraktionierung entsprechend Abb. 15 und die anderen die Fraktionen 15, 16 und 17 der Abb. 11, deren Ergebnisse die Abb. 16 und Tafel 28 bringen, geben ein zusammenfassendes Bild der Zusammensetzung der C<sub>7</sub>-Fraktion. Die C<sub>7</sub> besteht aus 73, 74, 75, 76, 77, 78, 79, 80, 81, 82, 83, 84, 85, 86, 87, 88, 89, 90, 91, 92, 93, 94, 95, 96, 97, 98, 99, 100. Die Kohlenwasserstoffe 73-100 sind im wesentlichen Kohlenwasserstoffe, die sich durch die Kohlenwasserstoffe 73-100 unterscheiden. Die Kohlenwasserstoffe 73-100 sind im wesentlichen Kohlenwasserstoffe, die sich durch die Kohlenwasserstoffe 73-100 unterscheiden.

Von den bei 20-30 Grad Celsius siedenden Kohlenwasserstoffen, 73-100, sind die Kohlenwasserstoffe 73, 74, 75, 76, 77, 78, 79, 80, 81, 82, 83, 84, 85, 86, 87, 88, 89, 90, 91, 92, 93, 94, 95, 96, 97, 98, 99, 100 die Kohlenwasserstoffe, die sich durch die Kohlenwasserstoffe 73-100 unterscheiden.

**Tafel 28**  
Zusammenfassung der Totalfraktionierung des Anteils von Kohlenwasserstoffen 73-100 (C<sub>7</sub>-Fraktion) in Fraktionen 15, 16, 17 siehe Haupttafel 27

Fraktion	73-74	75-76	77-78	79-80	81-82	83-84
1	11,7	19,3-20,9	11,901	0,777	0	11
2	11,7	20,9-22,5	11,902	0,694	0,707	0
3	11,7	22,5-24,1	11,903	0,607	0,619	0,5
4	11,7	24,1-25,7	11,904	0,520	0,532	0,5
5	11,7	25,7-27,3	11,905	0,433	0,445	0,5
6	11,7	27,3-28,9	11,906	0,346	0,358	0,5
7	11,7	28,9-30,5	11,907	0,259	0,271	0,5
8	11,7	30,5-32,1	11,908	0,172	0,184	0,5
9	11,7	32,1-33,7	11,909	0,085	0,097	0,5
10	11,7	33,7-35,3	11,910	0,000	0,000	0,5

90

0.7000

8940

FF

0.6500

80

8920

0.5

1.5

0.6500

8860

0.5000

8890

70

8740

0.2500

8760

60

8780

50

8700

40

8620

30

8540

20

8460

10

8380

8300

8220

8140

8060

7980

7900

7820

7740

7660

7580

7500

7420

7340

7260

7180

7100

7020

6940

6860

6780

6700

6620

6540

6460

6380

6300

6220

6140

6060

5980

5900

5820

5740

5660

5580

5500

5420

5340

5260

5180

5100

5020

4940

4860

4780

4700

4620

4540

4460

4380

4300

4220

4140

4060

3980

3900

3820

3740

3660

3580

3500

3420

3340

3260

3180

3100

3020

2940

2860

2780

2700

2620

2540

2460

2380

2300

2220

2140

2060

1980

1900

1820

1740

1660

1580

1500

1420

1340

1260

1180

1100

1020

940

860

780

700

620

540

460

380

300

220

140

60

0

0

0

0

0

0

0

0

0

0

0

0

0

0

0

0

0

0

0

0

0

0

0

0

0

0

0

0

0

0

0

0

0

0

0

0

0

0

0

0

0

0

0

0

0

0

0

0

0

0

0

0

0

0

0

0

0

0

0

0

0

0

0

0

0

0

0

0

0

0

0

0

0

0

0

0

0

0

0

0

0

0

0

0

0

0

0

0

0

0

0

0

0

0

0

0

0

0

0

0

0

0

0

0

0

0

0

0

0

0

0

0

0

0

0

0

0

0

0

0

0

0

0

0

0

0

0

0

0

0

0

0

0

0

0

0

0

0

0

0

0

0

0

0

0

0

0

0

0

0

0

0

0

0

0

0

0

0

0

0

0

0

0

0

0

0

0

0

0

0

0

0

0

0

0

0

0

0

0

0

0

0

0

0

0

0

0

0

0

0

0

0

0

&lt;



Anzeichen für das Vorhandensein des bei  $86,0^{\circ}$  siedenden 3,3-Dimethylpentans sind nicht vorhanden. Auf 2,3-Dimethylpentan ( $89,7^{\circ}$ ), 2-Methylhexan ( $89,7^{\circ}$ ), 3-Methylhexan ( $91,8^{\circ}$ ) und die Dimethylcyclopentane ( $87,5$ ;  $91,5$  und  $91,8^{\circ}$ ) entfallen zusammen auf Grund der Destillation der Produkte (Abb. 12) 8% und auf Grund derjenigen von Abb. 14 10%. Der Anteil der Dimethylcyclopentane machte darin, berechnet aus den Anilinpunkten, 2,5% bzw. 3,9% der gesamten flüssigen Kohlenwasserstoffe aus n-Heptan ( $S_p = 98,4^{\circ}$ ) wurde nicht nachgewiesen. Wenn es vorhanden ist, dann nur in sehr geringen Mengen, dagegen dürfte das Gesamtprodukt etwa 2 Vol.-% an Methylcyclohexan ( $S_p = 100,8^{\circ}$ ) enthalten. Auf Grund der Anilinpunkte enthält die Fraktion 9 der Abb. 14 (100-106 $^{\circ}$ ) 61% Naphthene. Der hohe Naphthengehalt dieser Fraktion macht sich in der Rechnungsexponentkurve der Abb. 14 durch ein ausgeprägtes Maximum bemerkbar. In Abb. 14 tritt ein derartiges Minimum nicht in Erscheinung, daher die Rechnungsexponenten größerer Fraktionen wiederum bestimmt werden sind, während bei der Destillation entsprechend Abb. 12 diese für einen abgemessenen Kubikzentimeter getrennt geschieden.

Der Naphthengehalt nimmt im allgemeinen mit steigender Siedetemperatur der Reaktionsprodukte der Isosynthese zu ähnlich von 0% bei den unteren Fraktionen der Abb. 13 bis zur 61% bei Fraktion 9 der Abb. 14. Insgesamt fallen von 14% an charakterisierter Kohlenwasserstoffe der Abb. 13 bis 61% von 14% bei der Abb. 14 67% noch auf Naphthene.

Die bei  $100 - 106^{\circ}$  liegende Kurve der Rechnungsexponenten zeigt ein Minimum, und diejenige der Anilinpunkte ein Maximum. Die gesamte charakterisierte C<sub>7</sub>-Kohlenwasserstoffe sind in der Abb. 14 enthalten. Die Fraktion 9 der Abb. 14 enthält 61% Naphthene, die Fraktion 10 10% Naphthene, die Fraktion 11 10% Naphthene, die Fraktion 12 10% Naphthene, die Fraktion 13 10% Naphthene, die Fraktion 14 10% Naphthene, die Fraktion 15 10% Naphthene, die Fraktion 16 10% Naphthene, die Fraktion 17 10% Naphthene, die Fraktion 18 10% Naphthene, die Fraktion 19 10% Naphthene, die Fraktion 20 10% Naphthene, die Fraktion 21 10% Naphthene, die Fraktion 22 10% Naphthene, die Fraktion 23 10% Naphthene, die Fraktion 24 10% Naphthene, die Fraktion 25 10% Naphthene, die Fraktion 26 10% Naphthene, die Fraktion 27 10% Naphthene, die Fraktion 28 10% Naphthene, die Fraktion 29 10% Naphthene, die Fraktion 30 10% Naphthene, die Fraktion 31 10% Naphthene, die Fraktion 32 10% Naphthene, die Fraktion 33 10% Naphthene, die Fraktion 34 10% Naphthene, die Fraktion 35 10% Naphthene, die Fraktion 36 10% Naphthene, die Fraktion 37 10% Naphthene, die Fraktion 38 10% Naphthene, die Fraktion 39 10% Naphthene, die Fraktion 40 10% Naphthene, die Fraktion 41 10% Naphthene, die Fraktion 42 10% Naphthene, die Fraktion 43 10% Naphthene, die Fraktion 44 10% Naphthene, die Fraktion 45 10% Naphthene, die Fraktion 46 10% Naphthene, die Fraktion 47 10% Naphthene, die Fraktion 48 10% Naphthene, die Fraktion 49 10% Naphthene, die Fraktion 50 10% Naphthene, die Fraktion 51 10% Naphthene, die Fraktion 52 10% Naphthene, die Fraktion 53 10% Naphthene, die Fraktion 54 10% Naphthene, die Fraktion 55 10% Naphthene, die Fraktion 56 10% Naphthene, die Fraktion 57 10% Naphthene, die Fraktion 58 10% Naphthene, die Fraktion 59 10% Naphthene, die Fraktion 60 10% Naphthene, die Fraktion 61 10% Naphthene, die Fraktion 62 10% Naphthene, die Fraktion 63 10% Naphthene, die Fraktion 64 10% Naphthene, die Fraktion 65 10% Naphthene, die Fraktion 66 10% Naphthene, die Fraktion 67 10% Naphthene, die Fraktion 68 10% Naphthene, die Fraktion 69 10% Naphthene, die Fraktion 70 10% Naphthene, die Fraktion 71 10% Naphthene, die Fraktion 72 10% Naphthene, die Fraktion 73 10% Naphthene, die Fraktion 74 10% Naphthene, die Fraktion 75 10% Naphthene, die Fraktion 76 10% Naphthene, die Fraktion 77 10% Naphthene, die Fraktion 78 10% Naphthene, die Fraktion 79 10% Naphthene, die Fraktion 80 10% Naphthene, die Fraktion 81 10% Naphthene, die Fraktion 82 10% Naphthene, die Fraktion 83 10% Naphthene, die Fraktion 84 10% Naphthene, die Fraktion 85 10% Naphthene, die Fraktion 86 10% Naphthene, die Fraktion 87 10% Naphthene, die Fraktion 88 10% Naphthene, die Fraktion 89 10% Naphthene, die Fraktion 90 10% Naphthene, die Fraktion 91 10% Naphthene, die Fraktion 92 10% Naphthene, die Fraktion 93 10% Naphthene, die Fraktion 94 10% Naphthene, die Fraktion 95 10% Naphthene, die Fraktion 96 10% Naphthene, die Fraktion 97 10% Naphthene, die Fraktion 98 10% Naphthene, die Fraktion 99 10% Naphthene, die Fraktion 100 10% Naphthene.

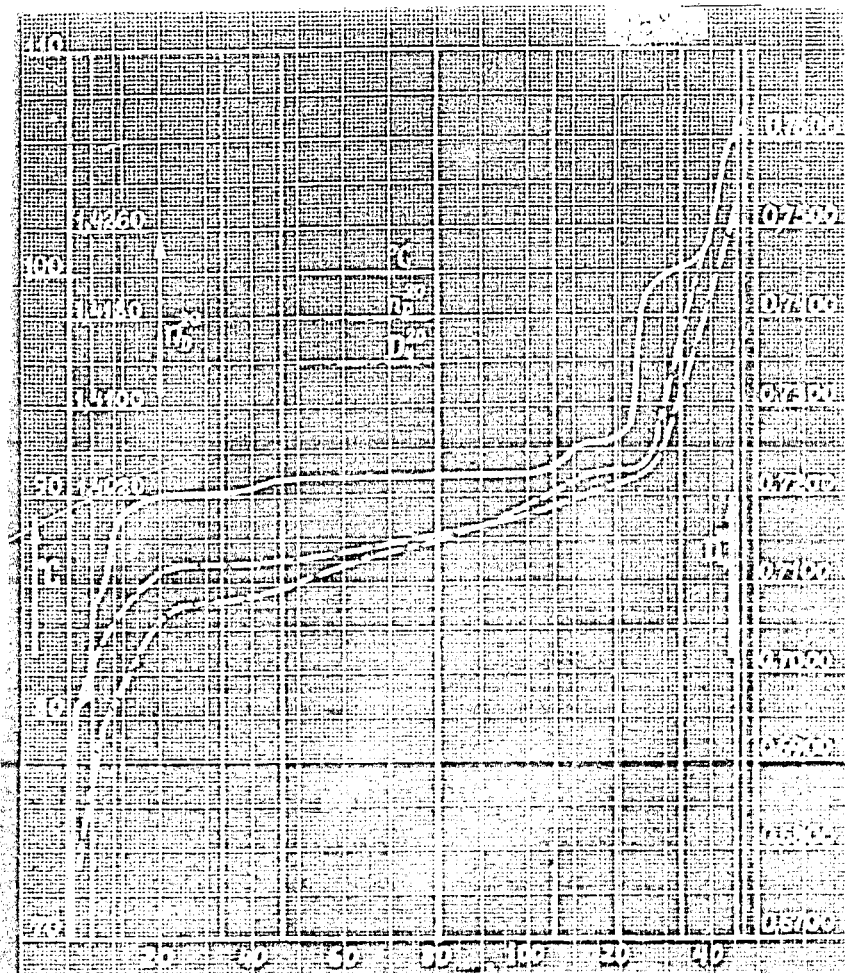


Abbildung 4: Konzentrationsverlauf der fraktionierten  
 N<sub>2</sub>O<sub>6</sub> des Versuches 250a.

Nach unten in der in Abb. 11 wiedergegebenen Hauptdestillation (Vorr. 250 g, 300 at, 425°) sind bei den Fraktionen 18 und höher keine Siedepunkte mehr zu bemerken. Die Fraktionen 18-22 (27,5% des flüchtigen Kohlenwasserstoffe) wurden auch einer gemeinsamen 2. Destillation in der Sandkolonne unterworfen und in 12 Unterfraktionen zerlegt, deren physikalische Daten bestimmt worden sind. Tafel 30 bringt die Ergebnisse dieser Destillation. Bemerkenswert sind in diesem Siedebereich wieder die hohen Anfrühthauschläge: Sie erreichen bei 102-104° den Wert 100%, fallen bei 108 bis 114° entsprechend den oben Gesagten noch einmal auf den Wert 50-55% ab und steigen dann über 50° bei 117 bis 127° bei 134° wieder auf den Wert 100% an. In diesem Temperaturbereich, in welchem bis zu 70% Paraffinkohlenwasserstoffe gefunden wurden, liegen die Fraktionen der Oktane. Nach Siedepunkten geordnet, haben sie die in Tafel 31 zusammengestellten physikalischen Werte. Die einzigen Kohlenwasserstoffe, deren Anwesenheit sich durch die in niedrigeren Fraktionen enthaltenen Mengen eine besondere Nachweisbarkeit erweist, sind mit einer Kreuz verzeichnet.

Tafel 31

2. Destillation der Fraktionen 18-22 (27,5% des flüchtigen Kohlenwasserstoffe)

Verhalten beim Kochen bei 20 mm

Nr.	Fraktion 0 von 10	Fraktion 1	Fraktion 2	Fraktion 3	Fraktion 4	Fraktion 5	Fraktion 6	Fraktion 7	Fraktion 8	Fraktion 9	Fraktion 10	Fraktion 11	Fraktion 12
1	88,8	98,2	65	1,401	0,701	2,9	9	24					
2	98,2	104,6	110	1,413	0,701	10,7	12	16					
3	104,6	108,0	64	1,420	0,704	3,0	24	24					
4	108,0	108,0	50	1,426	0,706	3,2	9	24					
5	108,0	108,0	110	1,428	0,706	3,4	6	10					
6	108,0	110,2	110	1,429	0,707	3,6	6	10					
7	110,2	115,8	110	1,429	0,707	3,7	13	16					
8	115,8	117,6	64	1,437	0,708	3,8	17	20					
9	117,6	127,4	30,7	1,432	0,702	3,9	16	19,5					
10	127,4	134,1	37,8	1,437	0,703	4,0	17	21,0					
11	134,1	136,9	21,0	1,442	0,706	3,9	18	21,0					
12	136,9	141,0	13,9	1,441	0,703	3,5	18	21,0					



Cycloheptan	117,5
+1,3-Dimethylcyclohexan	120,0
+1,4-Dimethylcyclohexan	125
1-Methyl-2-Ethylcyclopentan	124,0
1,2-Dimethylcyclohexan	126-129
Propylcyclopentan	151,5
Ethylcyclohexan	151,8
+1,3,5-Trimethylcyclohexan	157-159
+1,2,4-Trimethylcyclohexan	146-145

Die rechnerische Auswertung der Destillation ergab das von 203,9 ocm der hydrierten flüssigen Kohlenwasserstoffe der Fraktionen 18-22 150,5 ocm aus Naphthenen bestehend.

Die gesamten hydrierten flüssigen Kohlenwasserstoffe des Versuches 250 a (Abb. 11 Kurve 1) umfassen:

- 34,7 C<sub>9</sub> - Paraffinkohlenwasserstoffe
- 21,4 C<sub>9</sub> - "
- 10,7 C<sub>9</sub> - "
- 5,7 C<sub>9</sub> - "
- 19,4 Naphthen
- 11,4 höhere Kohlenwasserstoffe (C<sub>10</sub> bis C<sub>12</sub>)

Da die unter 100° siedenden Kohlenwasserstoffe...

- 1,2-Dimethylcyclohexan (Isopentan)
- 1,3-Dimethylcyclohexan
- 1,4-Dimethylcyclohexan
- 1,2-Dimethylcyclohexan

Die Kohlenwasserstoffe...

Die Kohlenwasserstoffe...

1. The first part of the report deals with the general situation of the country and the progress of the work during the year.

2. The second part of the report deals with the results of the work done during the year and the progress of the various projects.

3. The third part of the report deals with the financial position of the organization and the results of the various projects.

4. The fourth part of the report deals with the general situation of the country and the progress of the work during the year.

5. The fifth part of the report deals with the results of the work done during the year and the progress of the various projects.

Year	1950	1951	1952	1953	1954
1950	100	100	100	100	100
1951	100	100	100	100	100
1952	100	100	100	100	100
1953	100	100	100	100	100
1954	100	100	100	100	100

6. The sixth part of the report deals with the general situation of the country and the progress of the work during the year.

7. The seventh part of the report deals with the results of the work done during the year and the progress of the various projects.

1000

massige Anzeigen des Oleringehaltes mit steigender Molekülgröße der Kohlenwasserstofffraktionen, wobei die Fraktion 21-5 am der Reihe folgt und einen höheren Oleringehalt aufweist als dies der aufgestellten Regel entspricht. Der aus Tabel 53 sich errechnende durchschnittliche Oleringehalt betrug 29,5 % der im Gesamtprodukt unter Zugrundelegen einer durchschnittlichen C-Zahl bestimmte Oleringehalt 31 %.

In den ersten drei Fraktionen der Tabel 53 wurden keine Aromaten gefunden. Von der vierten Fraktion ab waren Aromaten nachgewiesen und zwar unter den höchst siedenden Anteilen wesentlich mehr, als in den mittleren Fraktionen.

Abbildung 11: Oleringehalt der Kohlenwasserstofffraktionen

21-5, 6-10, 11-15, 16-20, 21-25, 26-30, 31-35, 36-40, 41-45, 46-50, 51-55, 56-60, 61-65, 66-70, 71-75, 76-80, 81-85, 86-90, 91-95, 96-100

Kurve II der Abb. 11 entspricht einem Produkt, das bei Versuch 150 bei 575° erhalten wurde. Das Produkt wurde ebenso wie das der Kurve I verhandelt, d.h. es wurde hydriert, mit Wasser gewaschen und mit Stickstoff getrocknet. Da es aber einen besonders hohen Gehalt an ungesättigten Kohlenwasserstoffen aufwies, so daß der 1. Hydrierung die H<sub>2</sub>-Absättigung noch keine Vollständigkeit erreichte, wurde es auch in der Siedekurve und den physikalischen Konstanten der einzelnen Fraktionen mit der Kurve I verglichen, um zu zeigen, daß bei niedrigeren Reaktions Temperaturen der Anteil der schwer siedenden Kohlenwasserstoffe ansteigt, während bei 575° bei II, der einzigen Kohlenwasserstoffe einen Siedepunkt von mehr als 240° erweisen, siedeten vor dem bei 575° erhaltenen Restprodukt (4,5% Oleringehalt 240°, sogl. Anilinsubstanz) die bei Versuchsung der Kurve I eingehend behandelt wurden, zeigen die beiden Kurven I und II Ähnlichkeit, der Oleringehalt liegt aber als bei dem bei 425° Erzeugten Produkt:

Tabel 54

Oleringehalt der Kohlenwasserstofffraktionen und des Gesamtproduktes

Fraktion	Gew.-% C <sub>10</sub> -C <sub>15</sub>	Gew.-% Aromaten
21-5	0	0
6-10	0	0
11-15	0	0
<b>Gesamtprodukt</b>	<b>29,5</b>	<b>31</b>

Gesamtprodukt 29,5 % Oleringehalt

Er beträgt bei Fraktion 65 - 95° 51,5 % (gegen 24,9 %)  
bei Fraktion 95 - 125° 89,9 % (gegen 21,2 %), bei Fraktion 125 -  
150° 91,2 % (gegen 20,5 %). Das Gesamtprodukt enthält 6 %  
Chlorine (gegenüber 21-29 % bei Ver. 250 G, Tafel 35).

Die Tatsache, daß bei der Acetylierung der Chloringent  
der Reaktionsvermögen mit steigender Synthesetemperatur und  
steigendem Siedepunkt des Produkts zunimmt, steht im Gegensatz  
zur Normal- und zur Nitrochlorobenzol-Synthese.

Ähnlich wie unter dem bei 65 bis 150° siedenden Pro-  
dukt ist vorhanden. Von dem bei 575° erhaltenen und hy-  
drieren Produkt wurde auch eine Vakuumdestillation der höher  
siedenden Anteile durchgeführt. Umgerechnet auf Normaldruck  
beträgt die Zusammensetzung des zusammengesetzten Ergebnisses:

Ergebnisse der Vakuumdestillation

Fraktion	Temperatur	Prozent
65 - 95°	51,5 %	24,9 %
95 - 125°	89,9 %	21,2 %
125 - 150°	91,2 %	20,5 %

11111

-26°

b) ThO<sub>2</sub>-Katalysator (ohne Al<sub>2</sub>O<sub>3</sub>) bei 575° und 150 at

Die Siedekurve 1 der Abb. 15 bezieht sich auf das flüssige Reaktionsprodukt eines Versuches, der unter Verwendung eines ThO<sub>2</sub>-Katalysators (ohne Zusätze) bei 575° und 150 at durchgeführt wurde. Die Destillation des mit Wasser gewaschenen, hydrierten und mit Natrium getrockneten Katalysatorsatzes wurde mit der 1,2-Bendiklone durchgeführt. Das Produkt wurde in 27 Fraktionen zerlegt, deren wichtigste Daten in Tafel 36 zusammengestellt sind.

Von Vergleich mit der Kurve 2 der Abb. 11, die ebenfalls einem bei 575° entstandenen Produkt entspricht, und bei welcher 15% des flüssigen Produktes oberhalb 240° flüchtig sind, das bei 100° das Siedepunkt der 2-Methylbutan-2-ol-1,2-Diäther hat, wobei die Temperatur und Druck nach der Abb. 11 der Katalysator entsprechend sind.

Das flüchtige Produkt ist wieder das 2-Methylbutan-2-ol, das bei 100° siedet und die Siedekurve 11 zeigt.

Das flüchtige Produkt ist wieder das 2-Methylbutan-2-ol, das bei 100° siedet und die Siedekurve 11 zeigt.

Das flüchtige Produkt ist wieder das 2-Methylbutan-2-ol, das bei 100° siedet und die Siedekurve 11 zeigt.

Das flüchtige Produkt ist wieder das 2-Methylbutan-2-ol, das bei 100° siedet und die Siedekurve 11 zeigt.

Das flüchtige Produkt ist wieder das 2-Methylbutan-2-ol, das bei 100° siedet und die Siedekurve 11 zeigt.

Das flüchtige Produkt ist wieder das 2-Methylbutan-2-ol, das bei 100° siedet und die Siedekurve 11 zeigt.

Das flüchtige Produkt ist wieder das 2-Methylbutan-2-ol, das bei 100° siedet und die Siedekurve 11 zeigt.

Das flüchtige Produkt ist wieder das 2-Methylbutan-2-ol, das bei 100° siedet und die Siedekurve 11 zeigt.

Das flüchtige Produkt ist wieder das 2-Methylbutan-2-ol, das bei 100° siedet und die Siedekurve 11 zeigt.

Das flüchtige Produkt ist wieder das 2-Methylbutan-2-ol, das bei 100° siedet und die Siedekurve 11 zeigt.



THE SECRETARY OF THE ARMY  
 WASHINGTON, D. C.  
 1945

TABLE

NO.	NAME	GRADE	DATE
1	...	...	...
2	...	...	...
3	...	...	...
4	...	...	...
5	...	...	...
6	...	...	...
7	...	...	...
8	...	...	...
9	...	...	...
10	...	...	...
11	...	...	...
12	...	...	...
13	...	...	...
14	...	...	...
15	...	...	...
16	...	...	...
17	...	...	...
18	...	...	...
19	...	...	...
20	...	...	...
21	...	...	...
22	...	...	...
23	...	...	...
24	...	...	...
25	...	...	...
26	...	...	...
27	...	...	...
28	...	...	...
29	...	...	...
30	...	...	...
31	...	...	...
32	...	...	...
33	...	...	...
34	...	...	...
35	...	...	...
36	...	...	...
37	...	...	...
38	...	...	...
39	...	...	...
40	...	...	...
41	...	...	...
42	...	...	...
43	...	...	...
44	...	...	...
45	...	...	...
46	...	...	...
47	...	...	...
48	...	...	...
49	...	...	...
50	...	...	...

APPROVED: \_\_\_\_\_  
 SPECIAL AGENT IN CHARGE

140  
120  
100  
80  
60  
40  
20

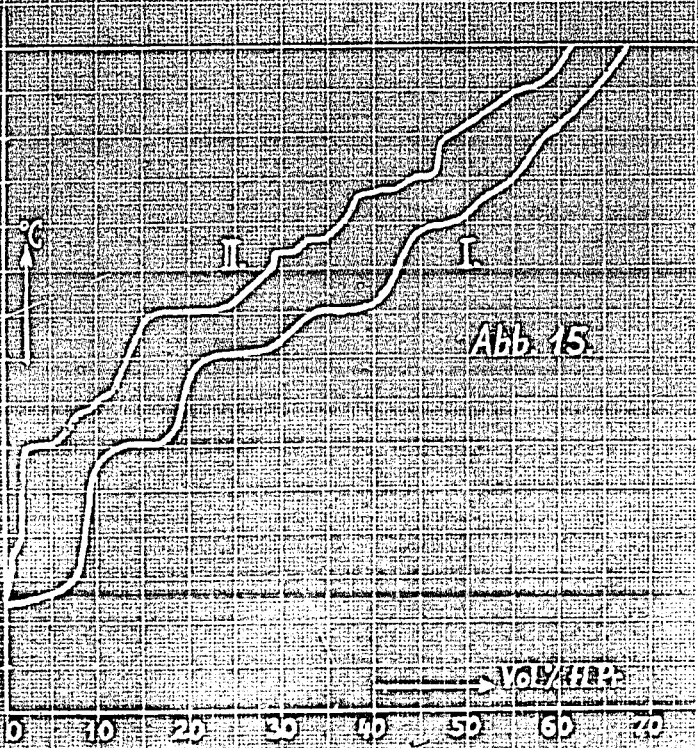


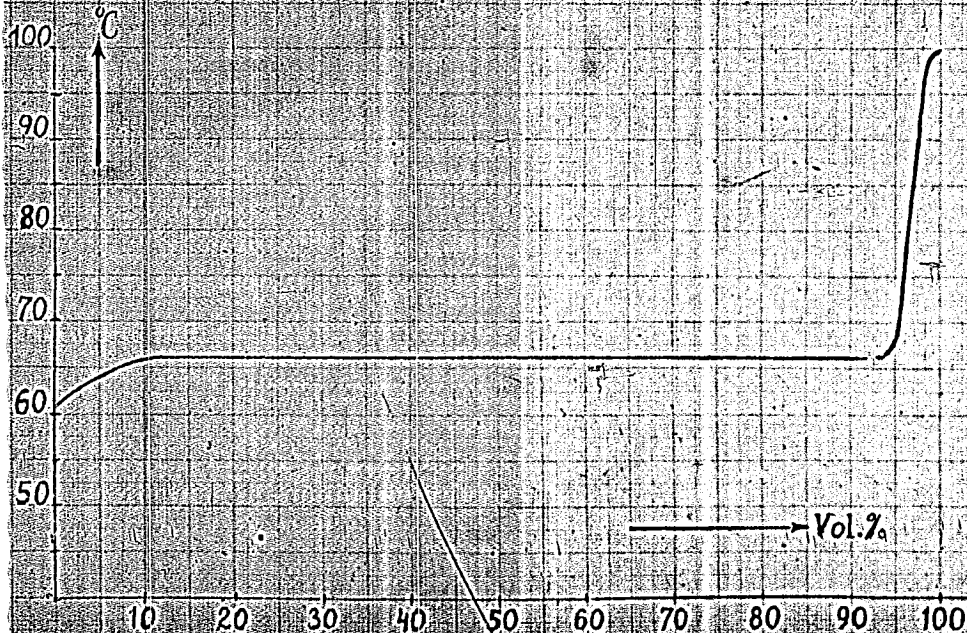
Abb. 15.

Kurve I Kohlenwasserstoff (Hydrier) vom Versuch 10  
(150-1375)  
Kurve II " " " " Versuch 6  
(30-1475)





Abb. 16. Destillation wasserlös. unterhalb 100°siedender  
Produkte vom Versuch 250a.  
(300at, 425°)





159

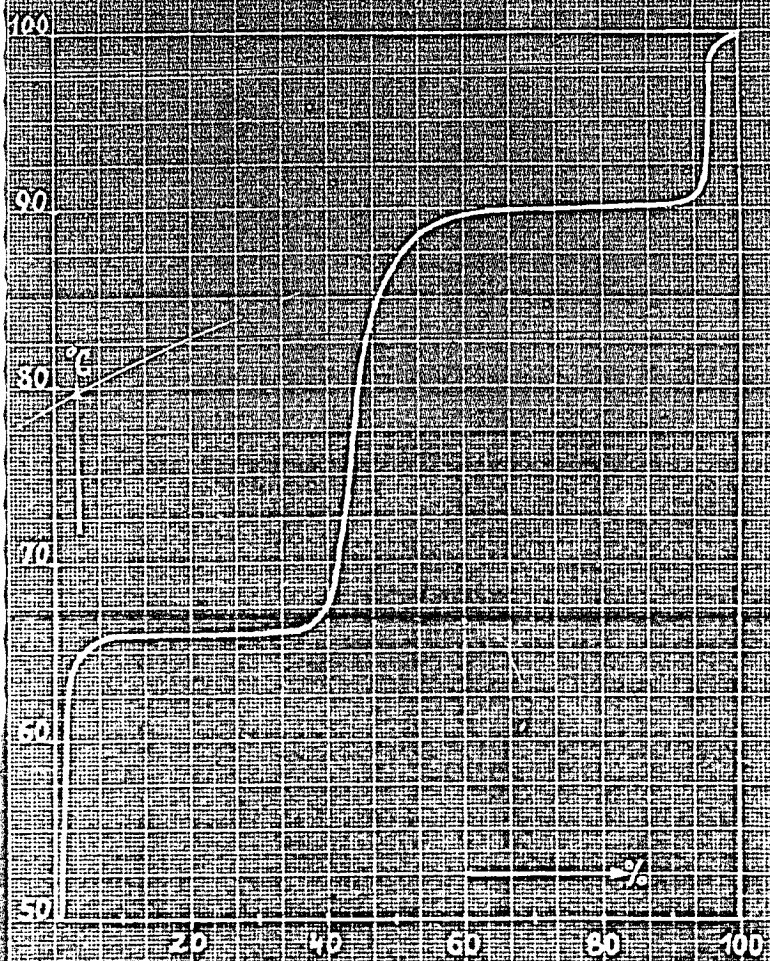


Abb. 10) Destillation wasserlös. unterhalb 100° siedender Produkte vom Versuch 159 (50a, 370°)

THE UNIVERSITY OF CHICAGO LIBRARY

BOOKS

ACQUISITIONS OF BOOKS IN THE LIBRARY

DATE	DESCRIPTION	BY	NO.	PRICE
1900	...	...	...	...
1901	...	...	...	...
1902	...	...	...	...
1903	...	...	...	...
1904	...	...	...	...
1905	...	...	...	...
1906	...	...	...	...
1907	...	...	...	...
1908	...	...	...	...
1909	...	...	...	...
1910	...	...	...	...
1911	...	...	...	...
1912	...	...	...	...
1913	...	...	...	...
1914	...	...	...	...
1915	...	...	...	...
1916	...	...	...	...
1917	...	...	...	...
1918	...	...	...	...
1919	...	...	...	...
1920	...	...	...	...
1921	...	...	...	...
1922	...	...	...	...
1923	...	...	...	...
1924	...	...	...	...
1925	...	...	...	...
1926	...	...	...	...
1927	...	...	...	...
1928	...	...	...	...
1929	...	...	...	...
1930	...	...	...	...
1931	...	...	...	...
1932	...	...	...	...
1933	...	...	...	...
1934	...	...	...	...
1935	...	...	...	...
1936	...	...	...	...
1937	...	...	...	...
1938	...	...	...	...
1939	...	...	...	...
1940	...	...	...	...
1941	...	...	...	...
1942	...	...	...	...
1943	...	...	...	...
1944	...	...	...	...
1945	...	...	...	...
1946	...	...	...	...
1947	...	...	...	...
1948	...	...	...	...
1949	...	...	...	...
1950	...	...	...	...
1951	...	...	...	...
1952	...	...	...	...
1953	...	...	...	...
1954	...	...	...	...
1955	...	...	...	...
1956	...	...	...	...
1957	...	...	...	...
1958	...	...	...	...
1959	...	...	...	...
1960	...	...	...	...
1961	...	...	...	...
1962	...	...	...	...
1963	...	...	...	...
1964	...	...	...	...
1965	...	...	...	...
1966	...	...	...	...
1967	...	...	...	...
1968	...	...	...	...
1969	...	...	...	...
1970	...	...	...	...
1971	...	...	...	...
1972	...	...	...	...
1973	...	...	...	...
1974	...	...	...	...
1975	...	...	...	...
1976	...	...	...	...
1977	...	...	...	...
1978	...	...	...	...
1979	...	...	...	...
1980	...	...	...	...
1981	...	...	...	...
1982	...	...	...	...
1983	...	...	...	...
1984	...	...	...	...
1985	...	...	...	...
1986	...	...	...	...
1987	...	...	...	...
1988	...	...	...	...
1989	...	...	...	...
1990	...	...	...	...
1991	...	...	...	...
1992	...	...	...	...
1993	...	...	...	...
1994	...	...	...	...
1995	...	...	...	...
1996	...	...	...	...
1997	...	...	...	...
1998	...	...	...	...
1999	...	...	...	...
2000	...	...	...	...

...

für die bis  $80^{\circ}$  siedenden Krzennisse (56,4%) eine mittlere Oktanzahl 86.

Eine Oktanzahlbestimmung der bis  $150^{\circ}$  siedenden nicht hydrierten Produkte des Versuches 250 a in 150 ml. Präkator ergab die in Tafel 25 angegebene Oktanzahl 77,4. Wurde das zu untersuchende Benzin erst bei  $180^{\circ}$  abgeschnitten, dann wurde ebenfalls die Oktanzahl 77,4 erhalten. Dasselbe Produkt unter Zusatz von 0,08% Methyltetraäthyl hatte die Oktanzahl 89,9.

Die Oktanzahl des hydrierten bis  $180^{\circ}$  siedenden Produktes von Versuch 250 b ( $\text{C}_{10}\text{H}_{22}\text{Al}_2\text{O}_5$ , 300 at,  $57^{\circ}$ ) betrug ebenfalls 77,5.

Die Produkte Nr. 5-8 der Tafel 26 stammen von Versuchen, die bei 20 und 150 at gewonnen wurden sind. Anohier liegen die Oktanzahlen der nicht hydrierten bis  $150^{\circ}$  siedenden Kohlenwasserstoffe bei 78-80,5.

Da die  $\text{iso-C}_4$ -Kohlenwasserstoffe im allgemeinen das Hauptprodukt der Synthese darstellen, würde man bei einer Verwendung der Reaktionserzennisse als Hochleistungstreibstoff daran denken, das  $\text{iso-Butan}$  und  $\text{iso-Buten}$  in Gemeinschaft mit  $n$ -Kohlenwasserstoffen einem Alkylierungsprozess zu unterwerfen und das entstehende Alkylierungsbenzin, das bei Zugabe von Methyltetraäthyl Oktanzahlen von 100 und darüber erreicht mit dem Primärbenzin der Isosynthese zu mischen. Unter Zugrundelegung des Versuches 250 a, bei dem je 20 g flüssiger Kohlenwasserstoffe rd. 60 g  $\text{iso-C}_4$ -Kohlenwasserstoffe entstanden sind, würde das Gemisch aus 6 Teilen Alkylierungsbenzin und 1 Teil bis  $180^{\circ}$  siedendes  $\text{iso-Benzin}$  bestehen. Ein derartiges Gemisch hat bei Zusatz von 0,08 Vol.-% Methyltetraäthyl die Motoroktanzahl 99,2 ergeben.

ACCOUNT

DATE	DESCRIPTION	DEBIT	CREDIT
1	BALANCE	100.00	
2	SALES	50.00	150.00
3	PURCHASES	20.00	30.00
4	EXPENSES	10.00	20.00
5	REVENUE	30.00	100.00
6	TOTAL	110.00	300.00

87

100

[The body of the document contains several paragraphs of text that are extremely faint and illegible due to heavy noise and low contrast. The text appears to be organized into sections separated by horizontal lines.]

Ansicht wurde bestätigt, als man in den letzten Jahren fand, dass bei der Mitteldrucksynthese an Eisenkatalysatoren unter bestimmten Bedingungen die Reaktion so geleitet werden kann, dass in einem beträchtlichen Prozentsatz an Stelle von Kohlenwasserstoffen Alkohole gebildet werden (niedrige Temperaturen, kurze Syntheseseiten) und ferner durch die Ergebnisse der Isosynthese bei der an oxydischen Katalysatoren in erster Linie verzweigte aliphatische Kohlenwasserstoffe, bei niedrigen Temperaturen und höheren Drücken aber wasserstoffhaltige Verbindungen entstehen.

Die Frage der Art der Reaktionsablaufes bei der Synthese von Kohlenwasserstoffen aus Kohlenoxyd und Wasserstoff wurde in einem besonderen Bericht (Die Synthese von Kohlenwasserstoffen aus Kohlenoxyd und Wasserstoff, H. Fidler, Pittsburgh 1947) eingehend behandelt. Zu einer Schlussbemerkung wird dort festgestellt:

"Ganz allgemein kann gesagt werden, dass in einer Primärvergasung der Synthese Kohlenoxyd und Wasserstoff an der Katalysatoroberfläche chemisorbiert werden können. Die Chemisorption des Wasserstoffs, die zur Bildung von Methan führt, wird durch diejenige des Kohlenoxyds behindert. Das Kohlenoxyd kann an der Katalysatoroberfläche je nach der Art des Katalysators und der Synthesebedingungen sehr verschiedenartige Bindungen, von der Bildung loser Oberflächenverbindungen bis zur Bildung wohl definierter Carbonyle eingehen.

Ein zweiter Schritt im Verlauf der Synthese besteht in einer Lockerung der Kohlenstoff-Sauerstoffbindung die unter Umständen unter Abspaltung des Sauerstoffes (als Wasser) bis zur Bildung von Carbid oder auch von freiem Kohlenstoff führen kann. Als dritter Vorgang tritt die Einwirkung des Wasserstoffs hinzu. Je nach den änderbaren Synthesebedingungen, welche fast die Geschwindigkeit des ersten, zweiten und dritten Vorganges massgebend sind, tritt die Einwirkung des Wasserstoffes zu verschiedenen Zeitpunkten in Erscheinung, und es kommt

91

~~Umsatzung~~

Umsatzung

nebeneinander, wenn auch mit verschiedenen Geschwindigkeiten, zu einer ~~Umsatzung~~ <sup>Umsatzung</sup> der losen Metall-Kohlenoxydverbindungen, des Carboxyd, der zerfallenden Kohlenstoff-aerstoffverbindungen und des Carbides."

Speziell im Rahmen der Isocynthet sei auf folgendes hingewiesen:

(Note: page 92 is not missing; has been combined in pages 90 and

91



die gleichzeitige Anwesenheit von Metallen der Eisengruppe vermieden werden muß, da diese unter den Bedingungen der Isosynthese zur Bildung von Methan und Kohlenstoff Anlaß geben. Zum Unterschied zum ~~dem~~ <sup>Isosynthese</sup> Syntheseprozess an Katalysatoren der Eisengruppe brachte bei der Isosynthese an Thoriumkatalysatoren eine Verwendung von Trägersubstanzen bzw. auflockernd wirkenden Stoffen wie Kieselgur keine Verbesserung der Wirkungsweise des Katalysators.

2.) Als Synthesedrucke kommen solche von etwa 100 - 1000 at in Frage, wobei sich Drücke im Bereiche von 300 - 600 at als besonders günstig erwiesen haben. Bei niedrigeren Drücken ist der Kohlenoxyd-Wasserstoffumsatz unvollständig, bei Atmosphärendruck wurde überhaupt kein Umsatz beobachtet. Bei Drücken über 600 at ist die Bildung von größeren Dimethyläthermengen nur schwer zu vermeiden. Als Reaktionstemperaturen sind solche von 400 - 450° am geeignetsten. Bei niedrigeren Temperaturen entstehen wieder wachsende Mengen an Dimethyläther und u.U. an Alkoholen, bei höheren Methan und dessen niedrige Homologe und, vor allem bei Temperaturen über 500°, Kohlenstoff.

3.) Hauptergebnisse der Synthese sind in allgemeinen gesättigte, verzweigte aliphatische Kohlenwasserstoffe mit vier bis etwa acht Kohlenstoffatomen im Molekül. Mit sinkender Reaktionstemperatur wächst die Menge an höher molekularen und an ungesättigten aliphatischen Kohlenwasserstoffen (bei 375° wurden schmierartige Produkte als Nebenprodukt erhalten), während mit steigender Temperatur zunimmt der Sättigungsgrad der aliphatischen Kohlenwasserstoffe und dann aber auch der Gehalt der flüssigen Reaktionsprodukte an Naphthenen und schließlich an Aromaten ansteigt. Unter den optimalen Bedingungen der Synthese sind 90% und mehr der aliphatischen Kohlenwasserstoffe gesättigter Natur. (Da die restlichen Olefine die Identifizierung der Kohlenwasserstoffe durch Destillation wesentlich erschweren, wurden sie in allgemeinen vor den Destillationen unter schonenden Bedingungen hydriert. Die folgenden Betrachtungen sind in allgemeinen auf gesättigte Kohlenwasserstoffe beschränkt.)

In Rahmen der Überlegungen, welcher Reaktionsablauf zur Bildung der verzweigten aliphatischen Kohlenwasserstoffe führt, stehen vor allen folgende Fragen:

I.) Können die verzweigten Kohlenwasserstoffe aus primär gebildeten Normalparaffinen durch Isomerisierung entstanden sein?

II.) Ist im Rahmen der Isosynthese eine primäre Bildung von Alkoholen anzunehmen?

III.) Kommt bei der Bildung der höheren Kohlenwasserstoffe Polymerisations-, Alkylierungs- und Zyklisierungsreaktionen Bedeutung zu?

I.) Können die verzweigten Kohlenwasserstoffe aus primär gebildeten Paraffinen durch Isomerisierung entstanden sein?

Der Katalysator ist ein unter den Bedingungen der Synthese nicht reduzierbares Oxyd. ~~Bevor man eine des Normal- und der Mitter-~~  
~~durchsynthese analoge Bildung von Carbiden oder Carbonylen als~~  
~~Zwischenglied der Entstehung von CH<sub>2</sub>-Ketten nicht angenommen werden.~~  
Von dem in erster Linie als Katalysator infrage kommenden Thorium ist ein Carbid wohl bekannt (ThC<sub>2</sub>), dieses bildet sich aber nicht unter den Bedingungen der Synthese, sondern nur bei wesentlich höheren Temperaturen (s.B. in elektrischen Lichtbogen) <sup>13) 4)</sup>

Gegen eine Bildung von normalen CH<sub>2</sub>-Ketten, die erst sekundär unter den Bedingungen der Isosynthese durch Isomerisierung umgelagert werden, sprechen auch die zwischen den einzelnen Isomeren bestehenden Gleichgewichtsverhältnisse. Diese wurden in den letzten Jahren von einer Reihe von Forschern eingehend untersucht.

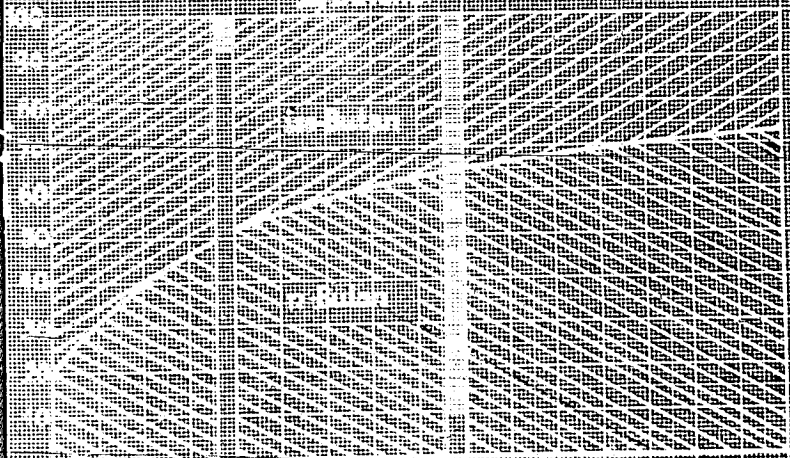
Die Einstellung eines reinen Isomerisierungsgleichgewichtes zwischen n-Butan und iso-Butan wurde zuerst von Montgomery, Mc Afee und Frank <sup>25)</sup> in Gegenwart von Aluminiumbromid als Katalysator verwirklicht. Bei den höheren aliphatischen Kohlenwasserstoffen stieß die Einstellung reiner Isomerisierungsgleichgewichte wegen des Auftretens von Nebenreaktionen auf Schwierigkeiten <sup>26)</sup>. Koch und Richter <sup>27)</sup> konnten aber bei Einhaltung bestimmter Versuchsbedingungen auch noch bei den Hexanen bei 17 - 25° C die Einstellung eines reinen, den Berechnungen von Ruggini und Mitarbeitern <sup>28)</sup> entsprechenden Isomerisierungsgleichgewichtes erreichen.

194

Die Abbildungen 20 ~~etwas~~ bringen die bei verschiedenen Tempera-

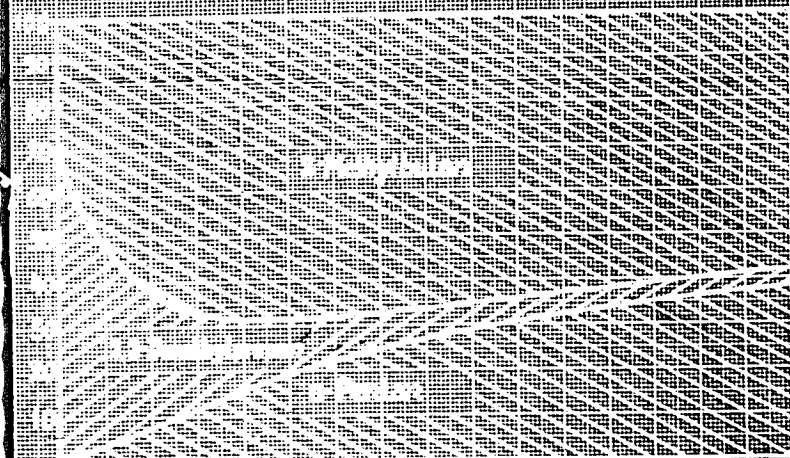
18  
 All the *Thomomys* and *Glacialis* 1917

*Thomomys*

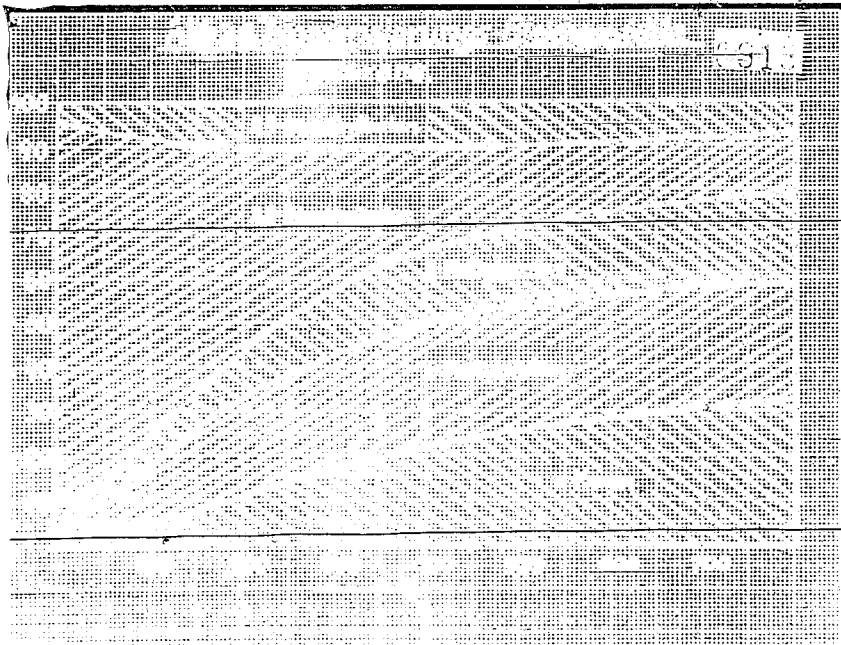


0 100 200 300 400 500 600 700

*Glacialis*



0 100 200 300 400 500 600 700



turen nebeneinander in Gleichgewicht beständigen Konzentrationen der beiden Butane, der drei Pentane, der fünf Hexane und der neun Heptane. Sie entsprechen den von Rossini, Rosen und Pitzer<sup>558)</sup> aus den freien Energien der Isomerisierungsreaktionen ermittelten Werten.

In das Schaubild der Butane wurden einerseits die bei der Normaldrucksynthese bei einer Temperatur von  $190^{\circ}$  und andererseits die bei der Isosynthese bei  $450^{\circ}$  wirklich anfallenden Anteile der  $C_4$ -Fraktionen an n- und iso-Butan durch entsprechende Kästen eingetragen (iso-Butan schraffiert). Ein Vergleich der bei den Synthesen erhaltenen Werte mit der Gleichgewichtskurve ergibt, daß bei der Normaldrucksynthese (für die Mitteldrucksynthese gilt dasselbe) die geraden  $CH_2$ -Ketten primär gebildet werden. Gleichgewichtseinstellung erfolgt nicht. Es sind neben rund 92,5 % n-Butan nur 7,5 % iso-Butan vorhanden. Umgekehrt liegen die Verhältnisse bei der Isosynthese. Hier sollten dem Gleichgewicht entsprechend etwa 65 % n-Butan, 35 % iso-Butan gegenüber stehen. Tatsächlich enthält aber die  $C_4$ -Fraktion nur 10 % n-Butan neben 90 % iso-Butan. Gleichgewichtseinstellung tritt somit auch hier nicht ein. Von den beiden Butanen wird daher bei der Isosynthese das Isobutan primär gebildet.

Tafel 43 bringt für die  $C_4$ -,  $C_5$ - und  $C_6$ -Fraktion a) die bei  $425^{\circ}$  neben n-Paraffinen in Gleichgewicht vorhandene Menge an iso-Paraffinen (in %) und b) die bei der gleichen Temperatur bei der Isosynthese erhaltenen iso-KW-Werte. Einer Gleichgewichtsmenge von 35, 72 und 77 % stehen tatsächlich erhaltene Mengen von 10-90 und 20-80 % gegenüber.

92-97

## Tafel 44

Gehalt der  $C_4$ -,  $C_5$ -Paraffinfraktionen an verzweigten Kohlenwasserstoffen a) in Gleichgewicht und b) unter den Reaktionsprodukten der Isosynthese (in % der einzelnen Fraktionen,  $425^{\circ}$ ).

	$C_4$	$C_5$	$C_6$
Gleichgewicht	35	72	77
Isosynthese	10-90	20-80	92-97

Eine Bildung der verzweigten Paraffinkohlenwasserstoffe durch Isomerisierung primär gebildeter normaler Ketten kann so- mit nicht angenommen werden.

II.) Ist im Rahmen der Isosynthese eine primäre Bildung von Alkoholen anzunehmen?

Zur Frage einer intermediären Bildung von Alkoholen liegt folgendes Versuchsmaterial vor:

a) bei der Synthese anfallende sauerstoffhaltige Verbindungen.

Bei der Synthese entstanden als Nebenprodukte Dimethyläther und Methanol und unter Umständen Isobutylalkohol und in kleinen Mengen Isopropylalkohol (an alkalisierten Katalysatoren konnten bei hohen Temperaturen auch Phenole erhalten werden). Die Ausbeuten an sauerstoffhaltigen Verbindungen hängen von der Arbeitsweise abhängig. Sie konnten bei Verwendung aktiver Katalysatoren und entsprechender Drucke und Temperaturen auf wenige Gramm je Norm Synthesegas herabgedrückt werden, sie konnten aber bei Verwendung weniger hydrieraktiver Kontakte, bei hoher Drucke und bei niedrigeren Temperaturen u.U. in den Vordergrund der Umsetzungen treten (in erster Linie die Bildung von Dimethyläther).

b. Katalysatorfragen.

Als Katalysatoren erwiesen sich Oxyde geeignet, deren Fähigkeit aus Alkoholen Wasser abzuspalten bekannt ist. Tafel 4 ist einer Arbeit von Sabatier und Mailhe<sup>19)</sup> entnommen, bei der die verschiedensten Oxyde als Katalysatoren der Umsetzung



geprüft worden sind. Äthylalkoholdämpfe wurden bei dieser Arbeit bei 340-350° über die zu vergleichenden Oxyde geleitet und die entwickelten Gasengen, wie ihr Gehalt an Äthylen und Wasserstoff bestimmt. Obwohl den damaligen Untersuchungen in mancher Beziehung nach den heutigen Erkenntnissen sicher nur qualitativer Charakter beigegeben werden darf, da für die einzelnen Oxyde noch nicht die optimalen Herstellungsbedingungen bekannt waren, so erscheint ein Vergleich dieser Tafel mit Tafel 2 der vorliegenden Arbeit, in der das Verhalten der verschiedenen Oxyde im Rahmen der Isosynthese verglichen wurde, doch bemerkenswert.

Tafel 42

Zersetzung von Äthylalkoholdämpfen an verschiedenen Katalysatoren  
bei 340-350°C.

Formel	ccm/Min.	% C <sub>2</sub> H <sub>4</sub>	% H <sub>2</sub>
ThO <sub>2</sub>	31	100	Spuren
Al <sub>2</sub> O <sub>3</sub>	21	98,5	1,5
W <sub>2</sub> O <sub>5</sub>	57	98,5	1,5
Cr <sub>2</sub> O <sub>3</sub>	4,2	91	9
SiO <sub>2</sub>	0,9	84	16
TiO <sub>2</sub>	7,0	63	37
BeO	1,0	45	55
ZrO <sub>2</sub>	1,0	45	55
VO <sub>2</sub>	14	24	76
V <sub>2</sub> O <sub>3</sub>	14	9	91
ZnO	6	5	95
MnO	3,5	0	100
MgO	Spuren	0	100
Cu	110	0	100

Thoriumoxyd, Aluminiumoxyd und Wolframoxyd stehen als wasserabspaltend wirkende oxydische Katalysatoren an der Spitze. Dieselben Stoffe zeigten auch im Rahmen der Isosynthese die höchste Aktivität, wenn auch Aluminiumoxyd und Wolframoxyd für sich als Katalysatoren der Synthese, u. a. wegen ihrer Neigung zur Bildung von Methan und Kohlenstoff, nicht verwendet werden können. Die Oxyde Chromoxyd bis Vanadinoxyd eignen sich weniger zur Wasserabspaltung und erwiesen auch im Rahmen der Isosynthese geringe Aktivität. Diese Katalysatoren wirken im zunehmenden Maße als Dehydrierungskatalysatoren [Vergleiche Kap. V. 8 (S. 46)]. Die Oxyde Zinkoxyd bis Magnesiumoxyd, die nach Tafel 44 für die Wasserabspaltung aus Äthanol ungeeignet sind, sind dies als Einstoffkatalysatoren auch für die Durchführung der Isosynthese. Am Ende der Tafel steht (bei niedrigen Temperaturen hergestelltes) Kupfer, das nicht mehr dehydratisierend, sondern ausschließlich dehydrierend wirkt.

Bei dem für die Synthese der verzweigten Kohlenwasserstoffe aus Kohlenoxyd und Wasserstoff besten Katalysator ( $\text{ThO}_2 + 20\% \text{Al}_2\text{O}_3$ ) wird die wasserabspaltende Wirkung des Thoriums durch Aluminiumoxyd gesteigert.

Das Thoriumoxyd scheint im Rahmen der Isosynthese in weit höherem Maße als alle anderen Oxyde in der Lage zu sein, sowohl die Hydrierung des Kohlenoxyds zu Alkohol wie auch die Dehydratisierung des letzteren zu katalysieren.

Dieses aus der Isosynthese sich ergebende besondere Verhalten des Thoriumoxyds steht in gewisser Beziehung in Einklang mit Versuchen von Hooyer und Miska<sup>50)</sup> über die Zersetzung von Äthylalkohol an Thoriumoxyd. Diese Untersuchungen zeigen, daß das Thoriumoxyd in der Lage ist, nicht nur die Dehydratisierung des Alkohols zu Äthylen und Wasser, sondern auch seine Dehydrierung zu Acetaldehyd und Wasserstoff zu ermöglichen. Die Geschwindigkeiten der beiden Reaktionen waren unter bestimmten Bedingungen etwa gleich, ihre Temperaturkoeffizienten verschieden. Da es gelang, das Thoriumoxyd bezüglich seiner Dehydratisierungsfähigkeit zu vergiften (s. S. mit Chloroform), ohne die Dehydrierreaktion zu beeinträchtigen, und andererseits durch Änderung der Herstellungsweise (Zersetzen von Thoriumnitrat zur Fäule anstelle eines durch Fällung hergestellten Kontaktes) das Thoriumoxyd im wesentlichen durch Fällung hergestelltes, praktisch nur dehydratisierend und nicht dehydrierend zu wirken, wurde geschlossen, daß die

beiden Umsetzungen an verschiedenen aktiven Stellen der Katalysatoroberfläche verlaufen. Durch die Blockierung bestimmter adsorbierender Zentren wurde eine selektive Adsorption<sup>51)</sup> verbunden mit einer selektiven Katalyse der Dehydratierungsreaktion erreicht, und andererseits durch eine ungenügende Ausbildung der für die Dehydratierungsmaßgebenden Zentren eine Lenkung in Richtung der Wasserabspaltung.

Nehm und Vicq<sup>52)</sup> haben sich mit dem Mechanismus der Abspaltung von Wasser aus Alkoholen an oxydischen Katalysatoren und zwar an Bauxit befaßt. Verschiedene Versuche, insbesondere die Beobachtung, daß gewisse Mengen des von den Katalysatoren bei zu hohen Temperaturen festgehaltenen Wassers für die Reaktion notwendig sind, ließen es wahrscheinlich erscheinen, daß oberflächliche OH-Gruppen als katalytisch-aktive Zentren auftreten. Die Adsorption des Alkohols erfolgt durch Anlagerung der Hydroxylgruppe in OH-Brückenbindung (leichte chemische Adsorption) und gleichzeitige Wechselwirkung zwischen einem H-Atom einer benachbarten OH-Gruppe des Alkohols und einem OH der Katalysatoroberfläche. Nach der Abtrennung von Olefin und Wasser ist eine Wanderung eines H-Atoms von einem O-Atom der Katalysatoroberfläche zu einem benachbarten O-Atom eingetreten.

Die Tatsache, daß es bei der Isosynthese in gewissen Grenzen gelang, den Thoriumoxydkatalysator durch den Zweisstoffkatalysator  $ZnO-Al_2O_3$  zu ersetzen, bei dem die eine Komponente als hydrierend und die andere als dehydratisierend wirkend bekannt ist, verdeutlicht insbesondere in hohem Maße die zweifache Wirkungsweise des Thoriumoxyds.

Daß nach älteren Angaben Thoriumoxyd für die Dehydratisierung von Methanol nicht geeignet ist<sup>53)</sup>, dürfte damit zusammenhängen, daß bei diesen Arbeiten Katalysatoren Verwendung fanden, bei denen die für die Wasserabspaltung aus Methanol infrage kommenden Adsorptionsstellen nicht genügende Aktivität besaßen.

Mit der Abspaltung von Wasser aus höheren Alkoholen befaßten sich zahlreiche Untersuchungen, u.a. wurde auch in neuerer Zeit das unterschiedliche Verhalten von Aluminiumoxyd, Thoriumoxyd und Chromoxyd als Katalysatoren dieser Umsetzungen untersucht. Hierbei zeigte sich, daß vorwiegend beim Thoriumoxyd der Dehydratisierung des Alkohols eine Isomerisierung der entstehenden Olefine folgte. Bei mit Olefinen angestellten vergleichenden Isomerisierungsversuchen mit Aluminiumoxyd und Thoriumoxyd (400°) konnte in einigen Fällen festgestellt werden, daß Thoriumoxyd im Gegensatz zu Aluminiumoxyd eine Isomerisierung des Olefins bewirkt. Diese Beobachtung ist von Interesse, da sie zeigt, daß die Katalysatoren bei der Dehydratisierung von Alkoholen nicht nur die Wasserabspaltung bewirken, sondern auch die Isomerisierung des Olefins bewirken können.

2) Das Auftreten von Dimethylether als Zwischenprodukt der Synthese

In experimentellen Teil der vorliegenden Arbeit sind Versuche angeführt, bei welchen Gemische von Dimethylether und Wasserstoff (1 : 4 bis 1 : 5) unter Bedingungen der Isosynthese an Übergangskatalysatoren zur Umsetzung gebracht wurden. Als Reaktionsprodukte wurden neben Kohlenoxyd, Kohlensäure und Methan in geringeren Mengen Äthylen, Äthan, Propylen und Propan in der Hauptsache iso-Butan, iso-Pentan und flüssige Kohlenwasserstoffe, also Produkte, die auch bei der Isosynthese aus Kohlenoxyd und Wasserstoff gebildet werden, erhalten.

Dimethylether entsteht aus Methylalkohol nach:



Bei der Isosynthese wurde Dimethylether fast immer als Nebenprodukt erhalten, bei Verwendung von Katalysatoren mit höchster wasserabspaltender Wirkung in sehr kleinen Mengen, in anderen Fällen in grösseren Mengen.

Die Bildung der Kohlenwasserstoffe aus Dimethylether könnte so erklärt werden, dass primär ein Zerfall eintritt nach:



und dass sekundär Kohlenoxyd und Wasserstoff sich entsprechend der Isosynthese zu verschiedenen Kohlenwasserstoffen umsetzen.

Gegen diese Annahme sprechen a. a. Versuche, bei welchen Äthylether-Wasserstoffgemische (1 : 4) analogen Umsetzungen unterworfen wurden. Der Äthylether wird in der Hauptsache entsprechend der Gleichung



umgesetzt. Kohlenoxyd, Methan, Äthylen, Äthan sowie auch Propylen und Propan wurden erhalten, aber kein iso-Butan, (das bei den Dimethyletherversuchen, wie bei der Isosynthese, Hauptreaktionsprodukt war) und kein iso-Pentan, wie bei den Dimethyletherversuchen das iso-Butan war, indirekt über das Kohlenoxyd entstanden, denn hätte es auch bei den Äthylether-Wasserstoffversuchen entstehen müssen, dann aus dem entstandenen Kohlenoxyd und dem vorhandenen Wasserstoff die iso-Kohlenwasserstoffe hier nicht entstanden sind, kann damit erklärt werden, dass der Partialdruck des Kohlenoxyds

zu niedrig war für einen Ablauf der Isosynthese. Dies dürfte aber in entsprechender Weise auch für die Dimethylätherversuche gelten.

Es wurde daher versucht, ein Reaktionsschema aufzustellen für die Bildung von iso-Butan bzw. iso-Buten aus Dimethyläther unter Vermeidung des Weges über eine intermediäre Bildung von Kohlenoxyd und Wasserstoff.

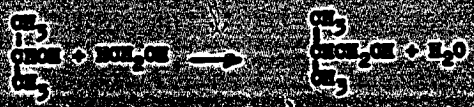
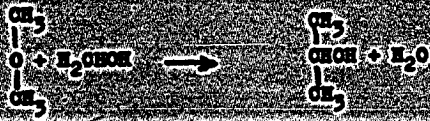
Ein Molekül Dimethyläther liefert unter Wasserabspaltung Äthyl-  
len, das mit einem zweiten Dimethyläthermolekül unter Abspaltung  
eines zweiten Wassermoleküls iso-Buten bildet, das seinerseits  
mit dem vorhandenen Wasserstoff zu iso-Butan hydriert wird oder  
Polymerisations- und ähnliche Reaktionen eingeht. Der besonders  
energisch dehydratisierend wirkende Katalysator und die verhältnis-  
mäßig hohen Reaktionstemperaturen dürften die Annahme eines der-  
artigen Reaktionsverlaufes rechtfertigen.



Neben den oben angeführten Gründen erhielt die Hypothese eines derartigen Verlaufes der Umsetzungen nachträglich eine Stütze durch Untersuchungen, bei welchen im Milbeimer Kohlenforschungsinstitut auf Grund der oben dargelegten Theorie geprüft wurde, welche Reaktionsprodukte bei der Einwirkung von Phosphorperoxyd auf Methanol entstehen. Es waren neben Dimethyläther, Methan und anderen, auch flüssigen Kohlenwasserstoffen wieder iso-C<sub>4</sub>-Kohlenwasserstoffe entstanden<sup>85)</sup>. Auch hier führte die analoge Umsetzung mit Äthylalkohol nicht zu iso-Buten oder iso-Buten.

An dieser Stelle sei auch auf zwei alte, später wenig beachtete Arbeiten hingewiesen, die eine von Sergajew<sup>86)</sup>, der bei der Einwirkung von Phosphorperoxyd auf Methanol unter stürmischer Reaktion ebenfalls gasförmige, flüssige und feste Kohlenwasserstoffe erhielt und eine andere von Ostrowski und Kielbasinski<sup>87)</sup>, nach welcher beim Überleiten von Äthyläther oder auch Monochloräthyläther über erhitztes Aluminiumoxyd unter den Reaktionsprodukten Butadien gefunden wurde.

Neben den angeführten Bildungsweg über Dimethyläther kommt für die Entstehung von iso-Buten auch eine Bildung über den iso-Butylalkohol, ~~(den man sich zunächst unter den Reaktionsprodukten nachgelassen findet) über die in folgenden Reaktionen dargestellt ist, von denen die Beobachtungen nur die ersten in Frage. Aber auch bei einem derartigen Reaktionsverlauf kann das Dimethyläther als Zwischenprodukt entstehen, das gleiche gilt für die Bildung von iso-Propylalkohol:~~



Die Wasserabspaltungsreaktionen sind druckabhängig oder sollten durch ein Arbeiten bei niedrigen Drucken erleichtert werden. Nach Leffler<sup>(9)</sup> verdrängt erhöhter Druck die Dehydratisierung von Alkoholen. Er erhöht die Temperatur, bei welcher diese einsetzen kann, begünstigt die Überbildung und hält die Bildung von Kohlenwasserstoffen hinten, dass trotzdem die Dehydratation bei hohen Drucken durchgeführt werden muss, dafür durch die Primärreaktion, die Alkoholidung, und die Kohlenwasserstoffreaktionen vorzuziehen sind. Dass aber auch die mit Dimethyläther am Theorietal verfahren durchgeführten Versuche nur bei hohen Drucken zu günstigen Resultaten führten, könnte, als Folge von Absorptionserscheinungen, durch den Umstand zu erklären sein, dass bei niedrigen Drucken durch Wasser andere Reaktionen in den Vordergrund treten.

1) ~~Die Wasserabspaltungsreaktionen sind druckabhängig oder sollten durch ein Arbeiten bei niedrigen Drucken erleichtert werden.~~

2) ~~Nach Leffler<sup>(9)</sup> verdrängt erhöhter Druck die Dehydratisierung von Alkoholen. Er erhöht die Temperatur, bei welcher diese einsetzen kann, begünstigt die Überbildung und hält die Bildung von Kohlenwasserstoffen hinten, dass trotzdem die Dehydratation bei hohen Drucken durchgeführt werden muss, dafür durch die Primärreaktion, die Alkoholidung, und die Kohlenwasserstoffreaktionen vorzuziehen sind.~~

det werden. Da Thoriumoxyd bei der Temperatur der Isosynthese die Einstellung der Isomerisierungsgleichgewichte von Olefinen begünstigt, es andererseits aber kein guter Hydrierungskatalysator ist, könnte angenommen werden, dass in manchen Fällen die Isomerisierung der gebildeten Olefine schneller verläuft als ihre Hydrierung zu Paraffinen. Würde man ferner entsprechend dem unten angegebenen annehmen, dass es an Thoriumoxyd nach Ab-sättigung der Olefine mit Wasserstoff zu keiner Isomerisierung der Paraffine kommt, dann müsste sich die Zusammensetzung der Paraffine aus der Gleichgewichtszusammensetzung der entsprechenden Olefine herleiten. Um dies zu prüfen, wurden in Tafel 4 für den Fall des Hexane einander gegenübergestellt: 1.) die Zusammen-setzung der Hexane entsprechend der Annahme, dass sich das Iso-merisierungsgleichgewicht der Hexene bei 420° eingestellt (inter-polliert aus Werten, die bei 398 und 440° erhalten wurden) und sich dieselben mit Wasserstoff abgesättigt haben, ohne dass es zu einer nachträglichen Isomerisierung der Hexane gekommen wäre. 2.) Eine durchschnittliche Zusammensetzung der Hexanfraktion der Isosynthe-se. 3.) das Isomerisierungsgleichgewicht der Hexane entsprechend (Abb. 20 d).

Tafel 4

Gleichgewichtszusammensetzung der Olefine bei Isosynthese (20°) unter Berücksichtigung der Isomerisierungsgleichgewichte der Olefine bei 420° (1925/420°).

Isomer	1	2	3
1-Hexan	10-15	10-15	10-15
2-Hexan	20-25	20-25	20-25
3-Hexan	30-35	30-35	30-35
4-Hexan	40-45	40-45	40-45
5-Hexan	50-55	50-55	50-55
6-Hexan	60-65	60-65	60-65

Quelle: ...

Dass es zu keiner Gleichgewichtseinstellung der Olefine gekommen ist, beweist vor allem auch das Methylpentan. Das entsprechend in 3-Stellung methylierte Olefin ist im Gleichgewicht der Olefine bei 420° zu 80 - 90 % (bei etwas niedrigeren Temperaturen zu über 90 %) enthalten, während unter den Reaktionsprodukten der Isosynthese das Gemisch der hydrierten C<sub>6</sub>-Kohlenwasserstoffe nur 26 % 3-Methylpentan enthält. (16-20)

Entsprechendes gilt für die anderen Kohlenwasserstofffraktionen. Im Gleichgewicht n-Buten - iso-Buten sind beispielsweise bei 420° neben 54% n-Buten nur 46% iso-Buten vorhanden<sup>(1)</sup>, während bei der Isosynthese (vgl. Tafel 4) rd. 90 % der C<sub>4</sub>-Fraktion verzweigter Natur sind.

Der Einstellung von Isomerisierungsgleichgewichten primär gebildeter Olefine scheint somit keine Bedeutung zuzukommen.

Die Tatsache, dass bei der Dehydratisierung höherer Alkohole an Thoriumoxyd Olefine entstehen, deren Zusammensetzung den Isomerisierungsgleichgewichten entsprechen, während dies bei der Isosynthese nicht der Fall ist, deutet sogar daraufhin, dass die Kohlenwasserstoffe der Isosynthese nicht aus den entsprechenden Alkoholen über eine Dehydratisierung entstanden sind.

S. Goldwasser und H.S. Taylor<sup>(24)</sup> haben beispielsweise Hexanol-1 an Thoriumoxyd bei 395° dehydratisiert, in einem Fall (a) mit einem Hexanoldurchsatz von 22,5 ccn/Std und 10 g Katalysator und im anderen Fall (b) mit einem Durchsatz von 3,1 ccn/Std und 10 g Katalysator. Die bei den beiden Versuchen erhaltenen Reaktionsprodukte bringt Tafel 4.

Tafel 4

Dehydratisierung von Hexanol an Thoriumoxyd bei 395°

	a	b
ccn/Std./ 10 g Katalysator	22,5	3,1
Hexen-1	30	0
2-Methylpenten-2	15	0
3-Methylpenten-2t	35	90
4-Methylpenten-2t	5	0
Polymere	15	10



Da es auf Grund der bisherigen Darlegungen nicht wahrscheinlich ist, dass die höheren Kohlenwasserstoffe der Isosynthese durch Isomerisierung primär gebildeter geradkettiger Kohlenwasserstoffe entstanden sind, noch dass sie jeweils über die entsprechenden Alkohole durch Wasserabspaltung gebildet wurden, ist anzunehmen, dass derartigen Kohlenwasserstoffaufbaureaktionen, die direkt zu den erhaltenen verzweigten Produkten führen können, wesentliche Bedeutung zukommt.

Der Mechanismus der Bildung der verzweigten Kohlenwasserstoffe durch Alkylierung, beispielsweise der verzweigten Hexane durch Äthylierung von Iso-Buten wurden verschiedentlich diskutiert. Während Anilini<sup>(2)</sup> es für wahrscheinlich hält, dass das Äthylen sich an das tertiäre Kohlenstoffatom anlagert unter primärer Bildung von 2,2-Dimethylhexan, vertreten Sasser und Francis<sup>(4)</sup> sowie Koch und Richter<sup>(5)</sup> die Ansicht, dass vor dem beiden doppelt methylierten Butanen das 2,3-Dimethylbuten sekundär gebildet wird.

Dies ist auch im Rahmen der Isosynthese wahrscheinlich, da von den beiden Butanen das in 2,3-Stellung methylierte in weit überwiegendem Maße wirksam ist, obwohl das 2,2-Dimethylbuten gleichgewichtig wenig in größerem Maße vorhanden sein dürfte. Es muss somit anzunehmen, dass primär der Unterschied zwischen zwei Kohlenstoffatomen der tertiären Kohlenstoffatome und dem primären Kohlenstoffatom im tertiären Kohlenstoffatom die Ursache für die Bildung von 2,3-Dimethylbuten ist. Die Ergebnisse der Äthylierung (S. 37) bestätigen, dass das primäre Kohlenstoffatom primär gebildet werden kann und dass die Kohlenwasserstoffe mit dem 2,2-Dimethylbuten (Hexanen) die primäre Kohlenwasserstoffe sind. Die primäre Kohlenwasserstoffe mit dem 2,3-Dimethylbuten (Hexanen) sind die sekundären Kohlenwasserstoffe. Die primäre Kohlenwasserstoffe sind die Kohlenwasserstoffe, die durch die primäre Kohlenwasserstoffe gebildet werden.

Die primäre Kohlenwasserstoffe sind die Kohlenwasserstoffe, die durch die primäre Kohlenwasserstoffe gebildet werden.

Die primäre Kohlenwasserstoffe sind die Kohlenwasserstoffe, die durch die primäre Kohlenwasserstoffe gebildet werden.

der Mitte.

Aus n-Hexan entsteht Benzol, beispielsweise aus Di-isopentyl-  
 p-Xylol und aus Di-isooxyl *a-Methyl-isopropylbenzol*. *Es wurde*  
 bei der Isosynthese *aus n-Hexan* nicht anfallt, wurde auch *in*  
 allgemeinen Benzol/nicht gefunden, wohl aber Toluol, Xylole,  
 Hexamethylbenzol und andere zyklische Kohlenwasserstoffe, ins-  
 besondere auch die entsprechenden Naphthene. Ähnliche Um-  
 setzungen wie die des Di-isooxyls führen zu Kohlenwasser-  
 stoffen der Terpenreihe. Da eine grosse Anzahl der so gebil-  
 deten Kohlenwasserstoffe unter den Bedingungen der Isosynthese  
 zu Isomerisierungsreaktionen befähigt ist, es sei hier nur  
 auf das in den letzten Jahren näher untersuchte Gleichgewicht  
 zwischen n-Hexan und 2-Methylcyclopentan hingewiesen, das bei  
 den Temperaturen der Isosynthese fast völlig auf Seite des  
 unter den Reaktionsprodukten der Synthese in grösseren Mengen  
 beobachteten 2-Methylcyclopentans liegt.

Das Verhältnis von Naphthenen zu Aromaten entspricht  
 Gleichgewichtsverhältnissen. Bei 450° liegen diese (unter den  
 Bedingungen der Synthese) auf Seite der Naphthene, bei 500°  
 auf der der Aromaten. Dass das Verhältnis Paraffine zu Olefine-  
 sich mit sinkender Temperatur zu Gunsten der Olefine ver-  
 schiebt, kann mit der mit sinkender Temperatur geringer werd-  
 enden Hydrieraktivität des Thorinokatalysators erklärt werden.

Am Schluss seien noch einmal die bei niedrigem Tempe-  
 raturen, d.h. unterhalb 400° als Nebenprodukt der Synthese  
 anfallenden schmierförmlichen Kohlenwasserstoffe erwähnt.  
 Ihr Auftreten ist das Ergebnis von bei niedrigen Temperaturen  
 begünstigten Polymerisationsreaktionen.

25

6327

[The body of the document contains several paragraphs of text that are extremely faint and illegible due to heavy noise and low contrast. The text appears to be organized into sections, possibly separated by horizontal lines or bullet points, but the specific content cannot be discerned.]

10. Montassou v. Bragan, Ber. dtsch. chem. Ges. 66, B, 1892 (1933).--Brignardum Stratford, C.R. Acad. Sci. Paris 178 2149 (1924).--Andrieff v. Gross, Ind. Engng. Chem. 28, 462 (1936).--Olasebreck, Phillips v. Lovell, J. Amer. chem. Soc. 52, 1944 (1930).--Calinsgert v. Reatty, J. Amer. chem. Soc. 57, 956 (1935).--Calinsgert v. Reatty, J. Amer. chem. Soc. 58, 51 (1936).--Moldawsky, Kobitskaja v. Lavochkin, J. Gen. Chem. (USSR) 2, 1791 (1935).--Montgomery, McArthur v. Frank, J. Amer. chem. Soc. 59, 1768 (1937).--Tatler, Koshcheriakov v. Andrejev, Ber. dtsch. chem. Ges. 62, 1 (1929).

11. Kato v. Kimura, J. Chem. Ind. appl. 14, 217 (1932).--Yama, Tanaka v. Hinan, J. Soc. chem. Ind. Japan 42, 82 B (1930).

12. Leah v. Hillarath, Brennstoff-Chem. 21, 197 (1940).--Frank Fischer v. Weintraub, Brennstoff-Chem. 21, 215 (1940).

13. Robinson v. Kiefer, Chem. Abstr. 1926:1, 220.--Universal Oil Products Laboratory Test Methods for Petroleum and its Products, p. 157 (1937).

14. Wenzel v. Zoller, Helv. chim. Acta 2, 661 (1919).--Wenzel v. Zoller, Oil u. Kohle/Erdoel u. Teer 14, 998 (1938).--Kurt v. Zoller, J. Amer. chem. Soc. 55, 4902 (1933).--Kurt v. Zoller, J. Amer. chem. Soc. 56, 1812 (1934).--Wenzel v. Zoller, Ind. Engng. Chem. analyt. Edit. 12, 251 (1940).

15. Wenzel v. Zoller, Alchemische Verlagsgesellschaft m. b. H. Leipzig, H. 24, Nr. 707 u. 708 (1927).--O. Kohn v. Zoller, J. phys. Chem. 4, 72, 809 (1930).

16. Wenzel v. Zoller, Ber. dtsch. chem. Ges. 7, 699 (1874).

17. Wenzel v. Zoller, Brennstoff-Chem. 21, 197 (1940).

18. Wenzel v. Zoller, 19.

19. Wenzel v. Zoller, Ber. dtsch. chem. Ges. 7, 697 (1874).

111

392

1. The first part of the document is a list of names and addresses. The names are written in a cursive hand and are somewhat difficult to read. The addresses are also written in cursive and are scattered across the page. Some of the names appear to be "John Smith", "Mary Jones", and "Robert Brown".

2. The second part of the document is a list of dates and times. The dates are written in a cursive hand and are somewhat difficult to read. The times are also written in cursive and are scattered across the page. Some of the dates appear to be "1890", "1891", and "1892".

3. The third part of the document is a list of numbers and figures. The numbers are written in a cursive hand and are somewhat difficult to read. The figures are also written in cursive and are scattered across the page. Some of the numbers appear to be "1", "2", and "3".

4. The fourth part of the document is a list of words and phrases. The words are written in a cursive hand and are somewhat difficult to read. The phrases are also written in cursive and are scattered across the page. Some of the words appear to be "and", "the", and "of".

Referat, *Chim. et Ind.* 11, 179 (1925)  
 Frellich u. Lewis, *Ind. Engng. Chem.* 20, 285 (1928)  
 Brown u. Galloway, *Ind. Engng. Chem.* 20, 560 (1928)  
 Frellich, Fenske, Taylor u. Southwick, *Ind. Engng. Chem.* 20, 1327 (1928)

46.) Frellich, Fenske u. Quisen, *Ind. Engng. Chem.* 20, 694 (1928)  
 47.) Sabatier, *Die Katalyse in der org. Chemie*, Leipzig 1927, S. 198  
 Dohse, *Z. physikal. Chem.* B 8, 159 (1930)  
 48.) Brown u. Galloway, *Ind. Engng. Chem.* 21, 310 (1929)  
 Gign, *J. chem. Soc. (London)* 1942, 585  
 49.) H. Fiehler, *Brennstoff-Chem.* 24, 27 (1943)  
 H. Fiehler, *Brennstoff-Chem.* 24, 39 (1943)  
 50.) Franz Fischer, *Umwandlung der Kohle in Öle*. Verlag Bornträger, Berlin, S. 338 (1924)  
 51.) Mittasch, *Ber. Dtsch. chem. Ges.* 59 I, 13 (1926)  
 52.) K. Frellich u. D.S. Cryder, *Ind. Engng. Chem.* 22, 1051 (1930)  
 53.) Park u. Huffman, *The Free Energies of Some Organic Compounds* 1932, S. 224

2484.) Guelin-Krahl, *Handb. d. anorg. Ch.* II Abt. 1, S. 157 (1928)  
 2555.) Montanari, de Attilis u. Franks, *J. Americ. chem. Soc.* 61 1717 (1939)  
 2656.) Schmitz, Hoos u. Verhagen, *Revueil Trav. chim. Pays-Bas* 22, 793 (1940)  
 2757.) H. Koch u. H. Richter, *Ber. Dtsch. chem. Ges.* II, 127 (1944)  
 2858.) Rossini u. Freen, *J. Americ. chem. Soc.* 62, 2250 (1940)  
 Rossini, Brown u. Pitts, *Chem. Reviews* 27, 39 (1940)  
 Rossini, Brown u. Pitts, *J. Res. Nat. Bur. Standards*, Vol 27, December 1942

2995.) Sabatier u. Mailhe, *Ann. Chim. (8)* 22, 341 (1910)  
 3060.) Hoover u. Rideal, *J. Americ. chem. Soc.* 49, 116 (1927)  
 3182.) Taylor, *J. physio. Chem.* 12, 145 (1926)  
 Schweb, *Katalyse*, Berlin, S. 184 (1931)  
 3260.) Fiecher u. Fiecher, *Naturw.* 32, 161 (1944)  
 3365.) Sabatier, *Die Katalyse*, S. 217 (1927)  
 3464.) Goldwasser u. Taylor, *J. Americ. chem. Soc.* 61, 1751 (1939)  
 Anissimov, *Chem. Zentr.* 1940, I, 2955  
 3569.) Goldwasser u. Taylor, *J. Americ. chem. Soc.* 61, 1762 (1939)  
 3606.) Komarevsky, Hiss u. Taylor, *J. Americ. chem. Soc.* 61, 2525 (1939)  
 3767.) H. Koch u. Mitarb., *Unveröffentl. Arbeit aus dem IWI für Kohlenforschung in Wilhelm-Ruhr*  
 3866.) Bernaciotto, *Chim. chim. Ital.* 44, I, 587.  
 Referat: *Chem. Zentr.* 1914, II, 1054  
 3905.) Ostrowski u. Kucharski, *Chem. Zentr.* 1914, I, 2155  
 4000.) Lotzow, *J. Soc. Phys. Chim. Russe* 34, 706, 819 (1904), 32, 63, 92 (1906)

Sabatier, Die Katalyse, S. 215, Nr. 711 (1927)

- 41.) Serobrinskaya u. Grest, Chem. J. Ser. A. J. allg. Chem.  
(russ. Khimicheskii Zhurnal Ser. A. Zhurnal obshchego Khimii)  
7, 122 (1936)
- H. Koch u. H. Richter, Öl u. Kohle 40, 231 (1944)
- 42.) Frey u. Happ, Ind. Engng. Chem. 28, 1439 (1936)
- Overzell u. Frey, Refiner-natur-Gasoline-Manufacturers 16, 486  
(1939) u. Nat. Petrol. News 31, R 502 (1939)
- 43.) Ipatieff, Chin. et Ind. 42, 215 (1939)
- V. Scheer, Feuerungstechn. 29, 275 (1941)
- 44.) Quarr u. Francis, Ind. Engng. Chem. 33, 1426 (1941)
- 45.) Masanby u. Platz, Ber. dtsch. chem. Ges. 69, 1862 (1936)
- Moldawski u. Baugicher, C.R. Acad. Sci., U.R.S.S. 1926, I, 355  
Referat: Chem. Zentr. 1926, II, 2339 u. 1927, II, 1546  
Univ. Prod. Co. USA, Ital. P. 351079, 352747 (1937)
- Moldawski u. Mitarbeiter, Chem. Zentr. 1928, II, 2025
- Karshov u. Mitarbeiter, Chem. Zentr. 1928, II, 2055
- H. Koch, Brennstoff-Chem. 20, 1 (1939)
- Kolmaner u. Taylor, J. Americ. Chem. Soc. 61, 1766 (1939)
- Kowarschik u. Rigg, J. Americ. Chem. Soc. 61, 1724 (1939)
- Kellinck, Masanby, Kibermann, Jossik, Platz u. Schneider,  
Chem. Zentr. 1940, II, 3459
- 46.) Zanitsaan u. Gantunari, Ber. dtsch. chem. Ges. 66, 2037 (1933)
- Glassbrook u. Jovall, J. Americ. Chem. Soc. 61, 1717 (1939)
- Shingo Ando, J. Soc. chem. Ind. Japan (Suppl.)  
Bind. 42, 322 B-24 B. (Sept. 1939)